



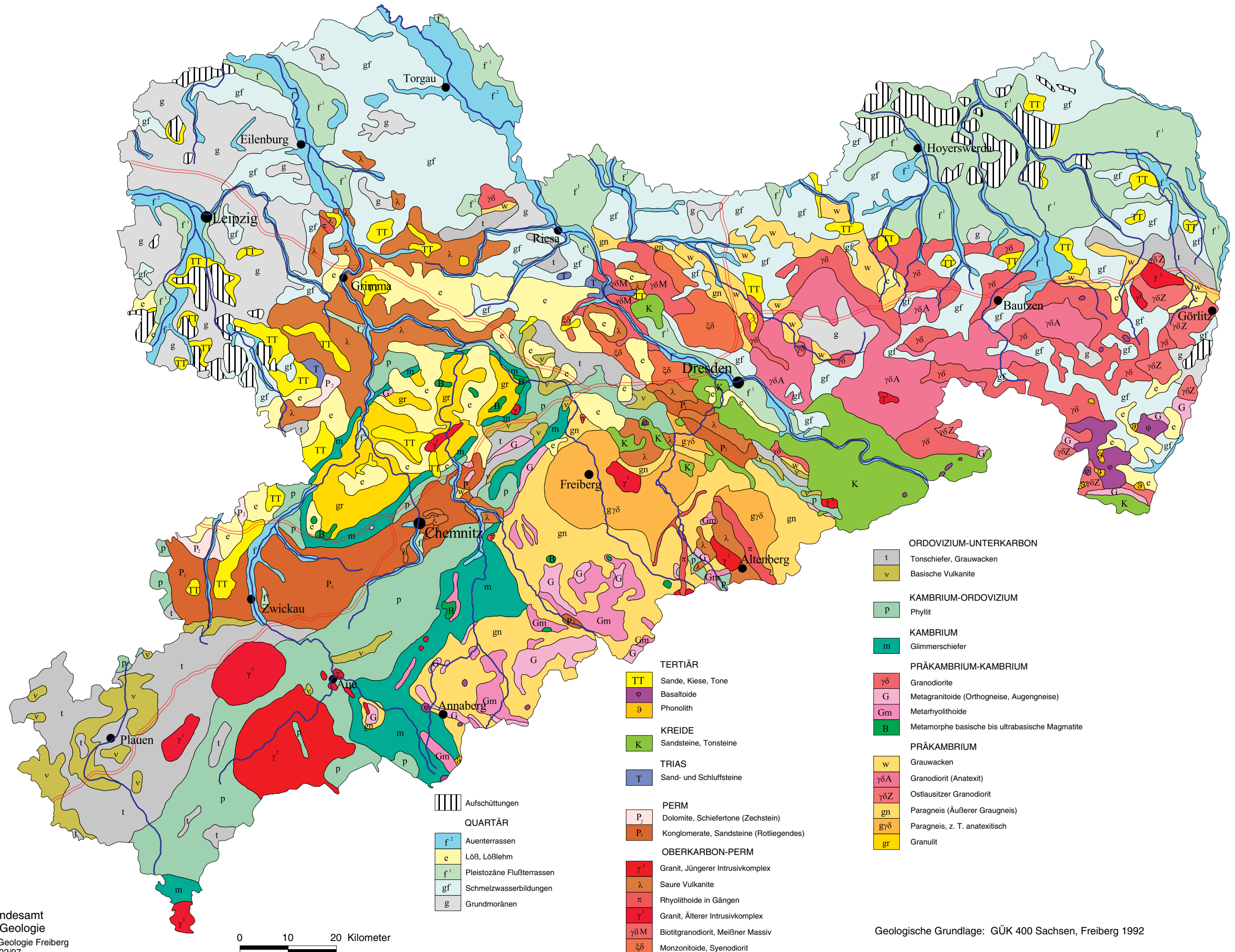


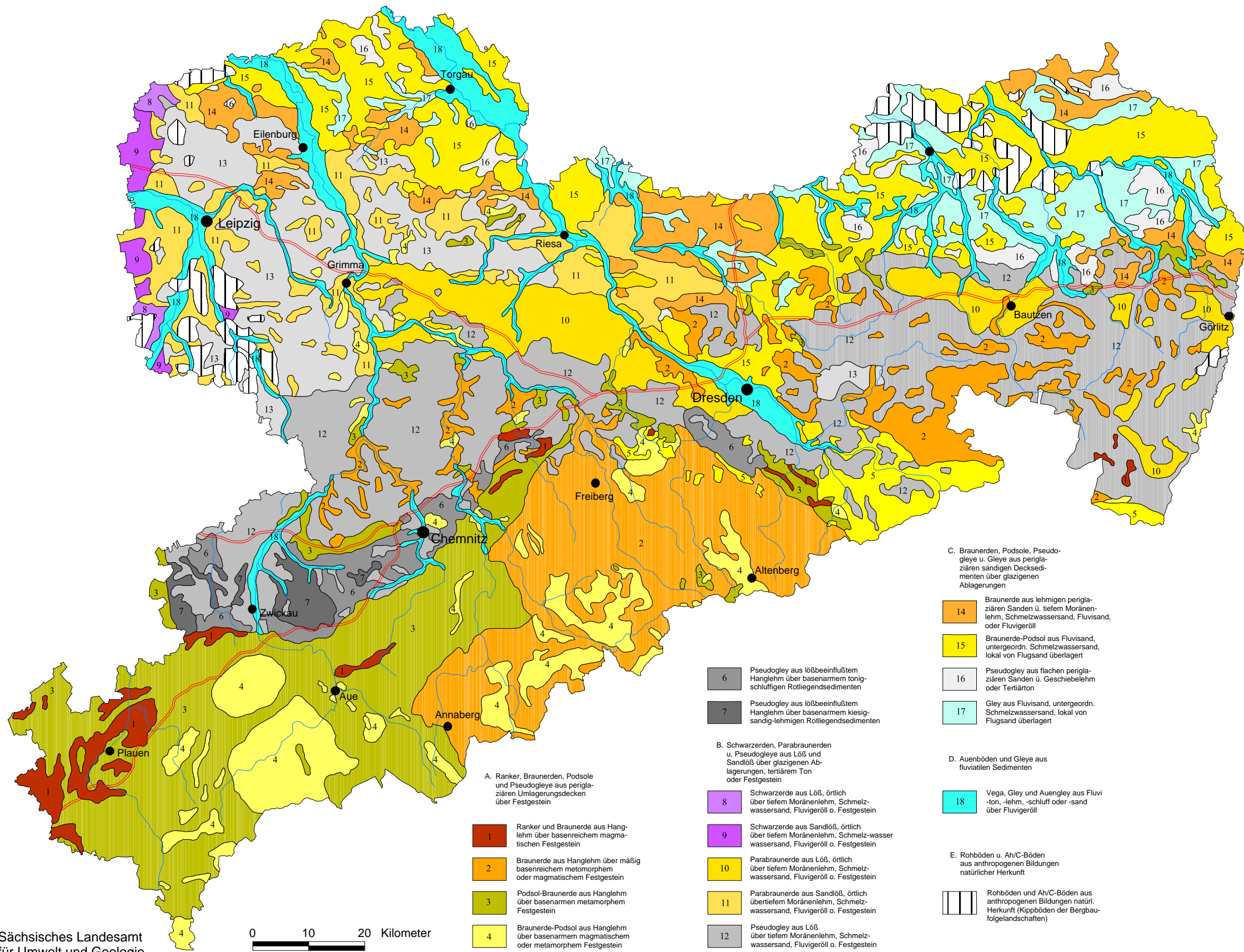
Beispiel für Wald

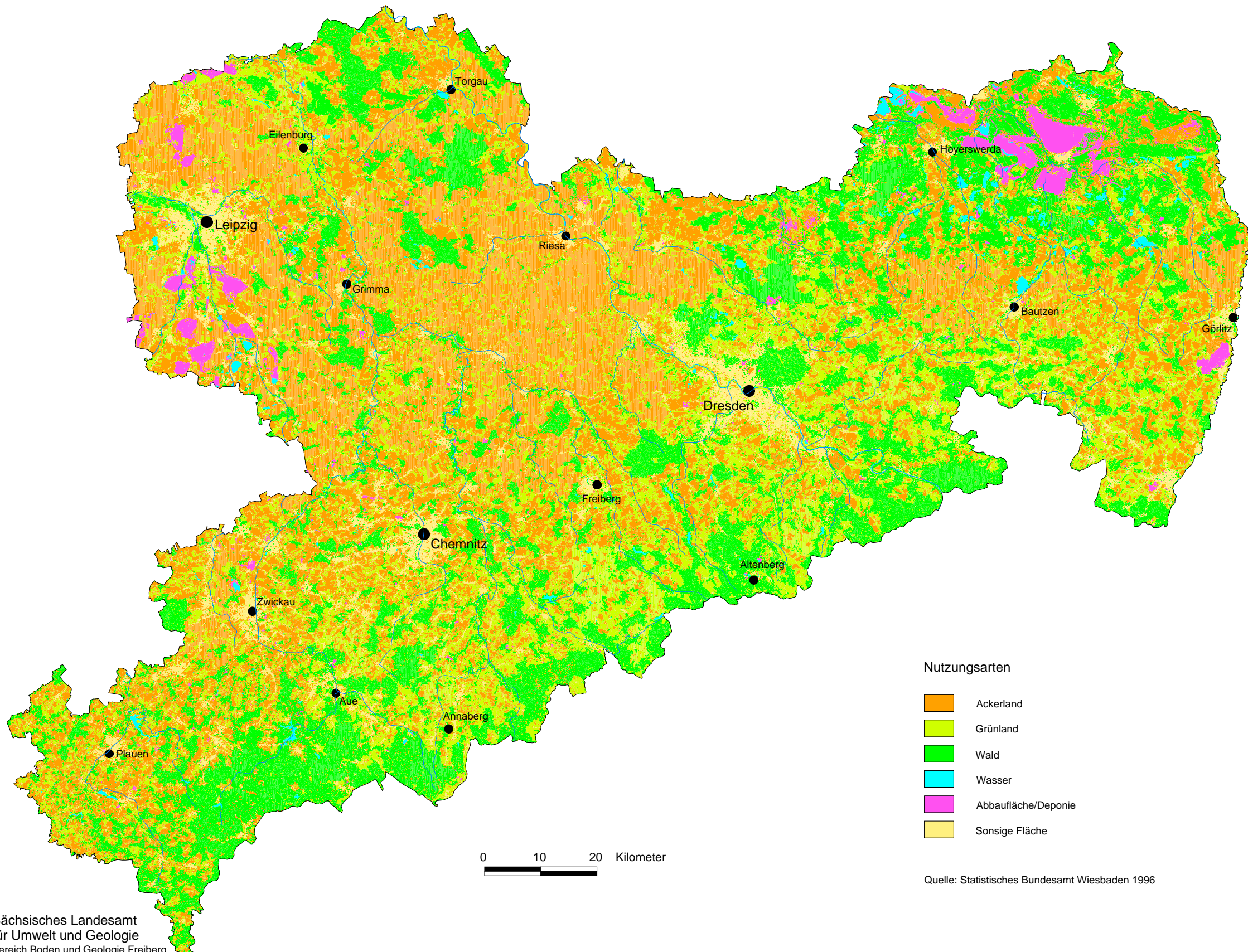
Beispiel für Acker

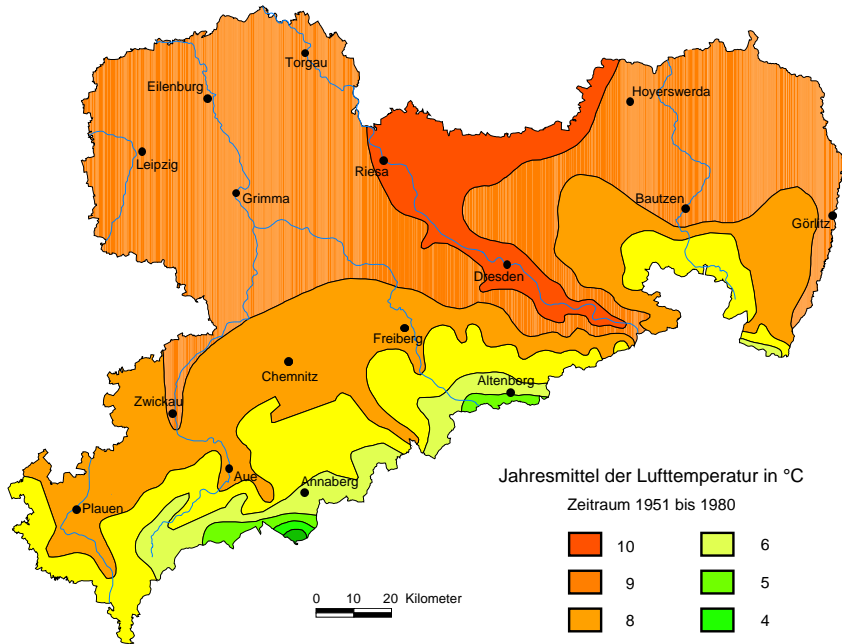
		Mächtigkeit in cm	Horizontbezeichnung	Horizontnummer		Mächtigkeit in cm	Horizontbezeichnung	Horizontnummer
● Humusauflage		12-0	Ol, f, h	1				
● Oberboden		0-10	Ah	2	●	0-25	Ap	1
		10-29	Ae					
● Unterboden		29-59	Bv	3	●	25-55	Bv	2
Untergrund			C	4			C	3

● beprobte Bodenhorizonte

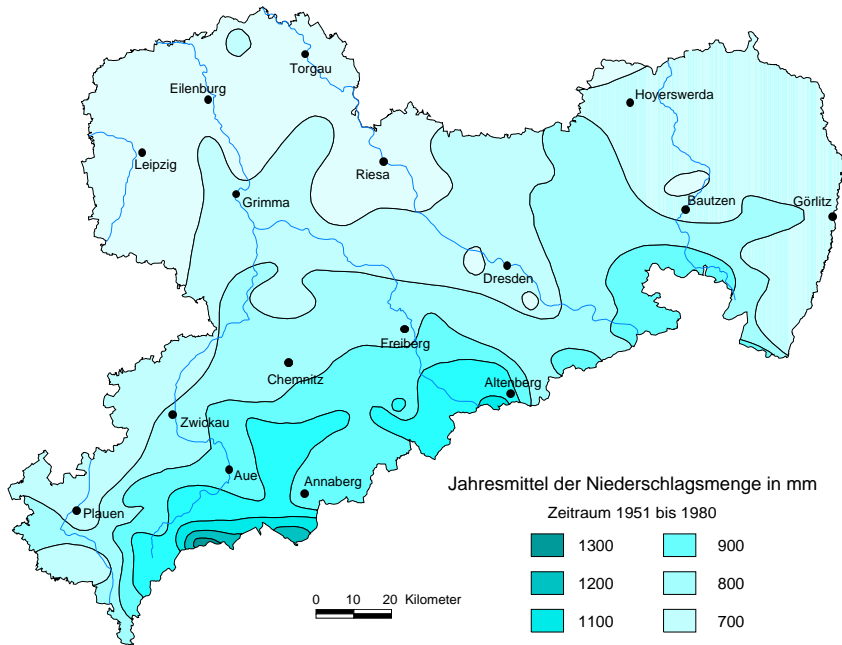




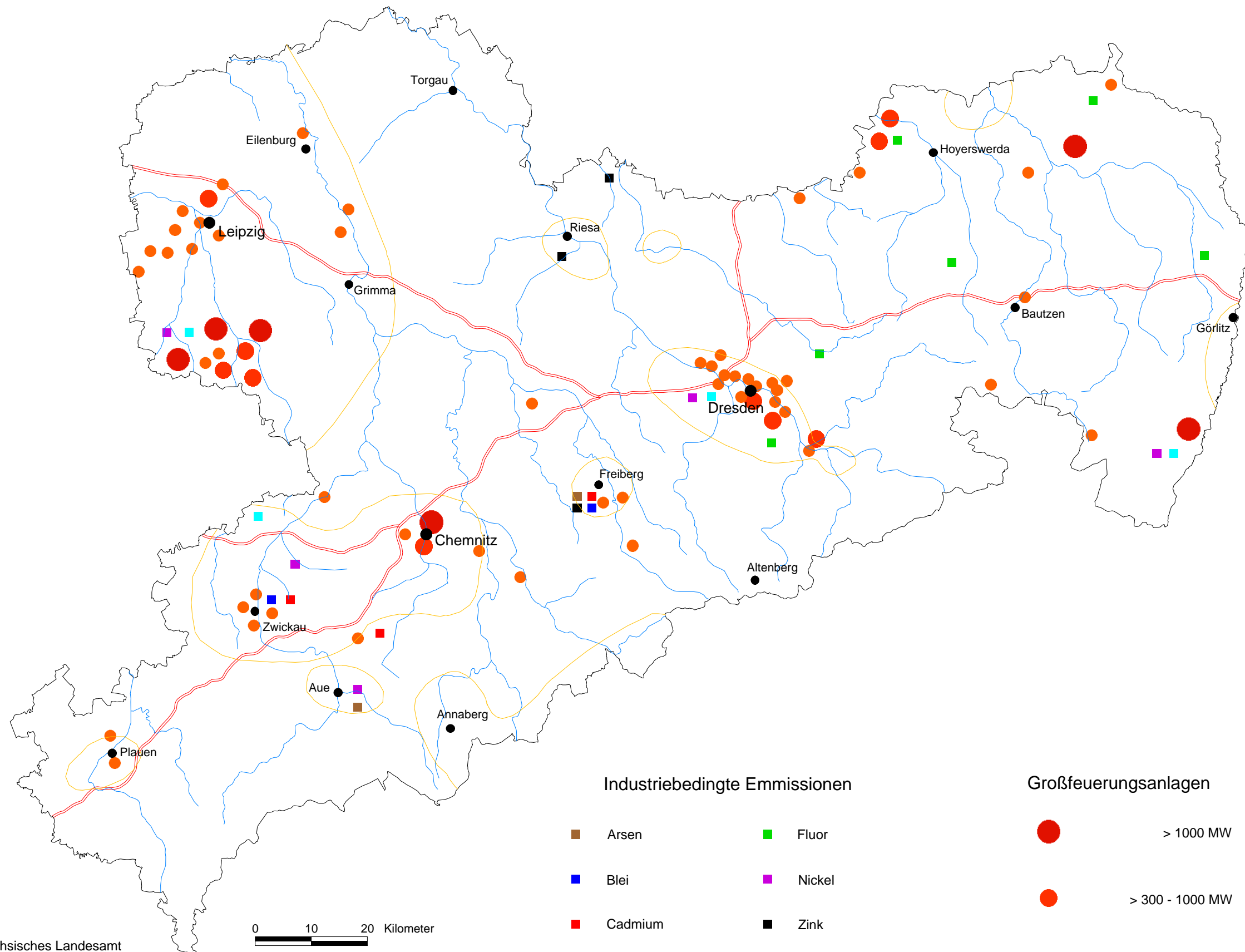




Quelle: Amt für Meteorologie



Quelle: Amt für Meteorologie

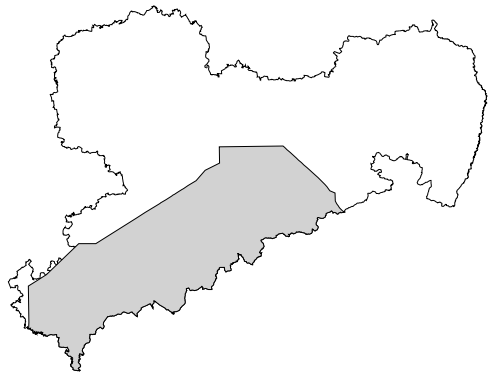


Industriebedingte Emissionen

- | | |
|--|--|
| ■ Arsen | ■ Fluor |
| ■ Blei | ■ Nickel |
| ■ Cadmium | ■ Zink |
| ■ Chrom | ○ Schwefeldioxid |

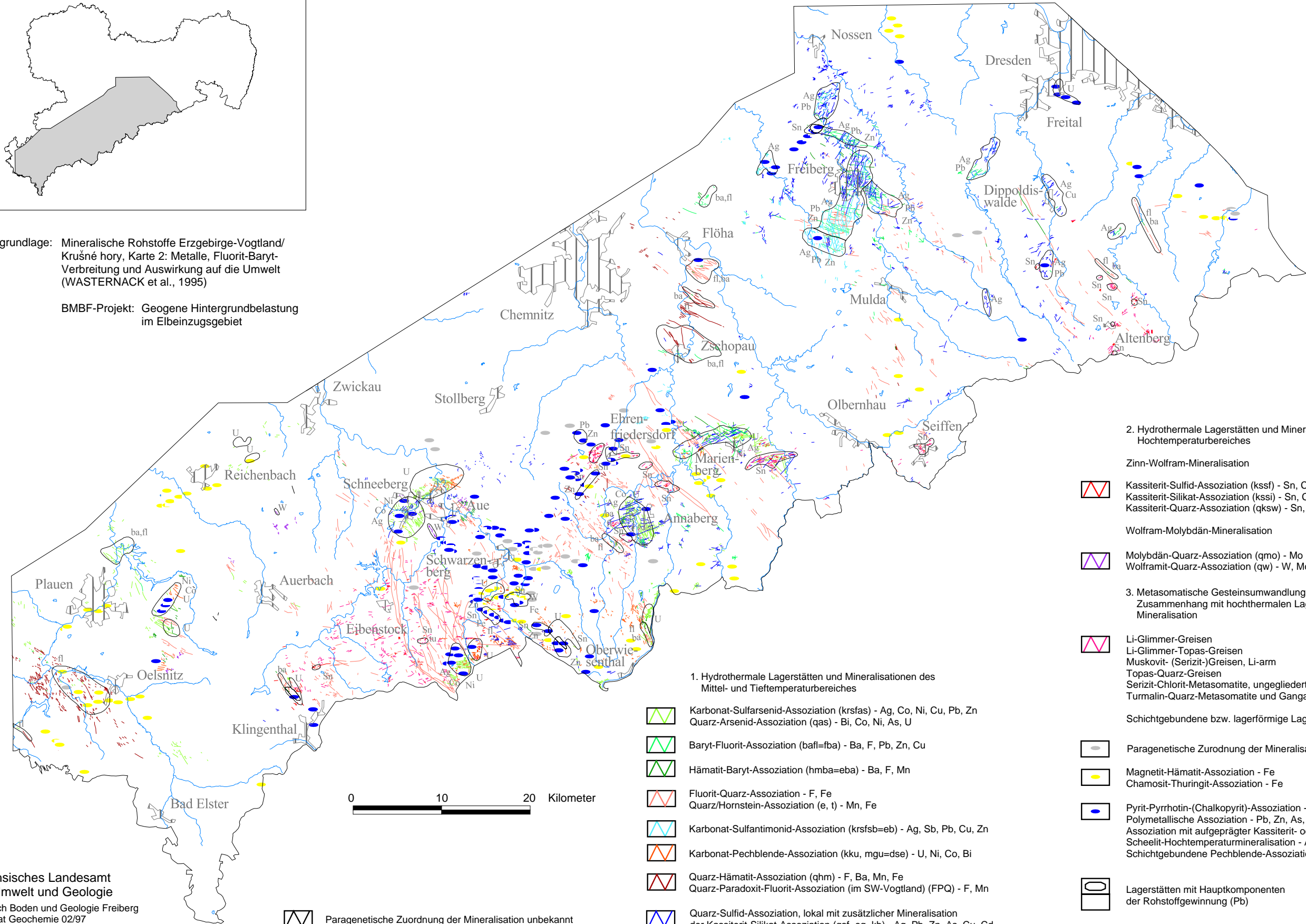
Großfeuerungsanlagen


- | | |
|---|-----------------|
| ● | > 1000 MW |
| ● | > 300 - 1000 MW |
| ● | 50 - 300 MW |




Datengrundlage: Mineralische Rohstoffe Erzgebirge-Vogtland/
Krušné hory, Karte 2: Metalle, Fluorit-Baryt-
Verbreitung und Auswirkung auf die Umwelt
(WASTERNACK et al., 1995)


BMBF-Projekt: Geogene Hintergrundbelastung
im Elbeinzugsgebiet





 Paragenetische Zuordnung der Mineralisation unbekannt

 Karbonat-Sulfarsenid-Assoziation (krsfas) - Ag, Co, Ni, Cu, Pb, Zn
Quarz-Arsenid-Assoziation (qas) - Bi, Co, Ni, As, U


 Baryt-Fluorit-Assoziation (bafl=fba) - Ba, F, Pb, Zn, Cu


 Hämatit-Baryt-Assoziation (hmba=eba) - Ba, F, Mn

 Fluorit-Quarz-Assoziation - F, Fe
Quarz/Hornstein-Assoziation (e, t) - Mn, Fe

 Karbonat-Sulfantimonid-Assoziation (krsfsb=eb) - Ag, Sb, Pb, Cu, Zn


 Karbonat-Pechblende-Assoziation (kku, mgu=dse) - U, Ni, Co, Bi

 Quarz-Hämatit-Assoziation (qhm) - F, Ba, Mn, Fe
Quarz-Paradoxit-Fluorit-Assoziation (im SW-Vogtland) (FPQ) - F, Mn


 Quarz-Sulfid-Assoziation, lokal mit zusätzlicher Mineralisation
der Kassiterit-Silikat-Assoziation (qsf=eq, kb) - Ag, Pb, Zn, As, Cu, Cd

2. Hydrothermale Lagerstätten und Mineralisation des
Hochtemperaturbereiches


Zinn-Wolfram-Mineralisation

 Kassiterit-Sulfid-Assoziation (kssf) - Sn, Cu, Pb, Zn
Kassiterit-Silikat-Assoziation (kssi) - Sn, Cu
Kassiterit-Quarz-Assoziation (qksw) - Sn, W, As, Mo

Wolfram-Molybdän-Mineralisation


 Molybdän-Quarz-Assoziation (qmo) - Mo
Wolframit-Quarz-Assoziation (qw) - W, Mo

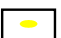
3. Metasomatische Gesteinsumwandlung, überwiegend in
Zusammenhang mit hochthermalen Lagerstätten und
Mineralisation


 Li-Glimmer-Greisen
Li-Glimmer-Topas-Greisen
Muskovit- (Serizit-)Greisen, Li-arm
Topas-Quarz-Greisen
Serizit-Chlorit-Metasomatite, ungegliedert
Turmalin-Quarz-Metasomatite und Gangausfüllungen


Sn, W, As, Li
Be, Cu, Pb, F

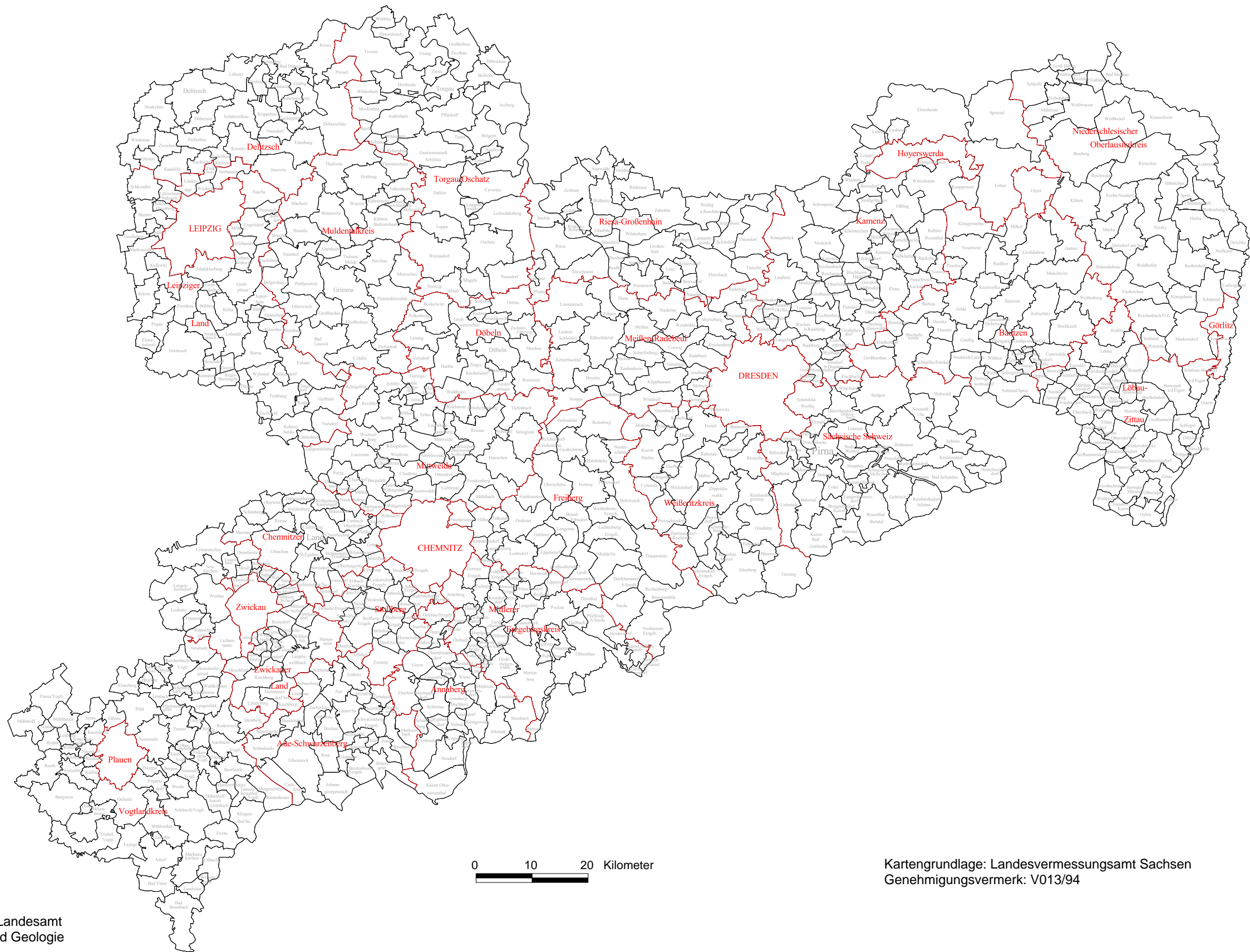
Schichtgebundene bzw. lagerförmige Lagerstätten und Mineralisationen

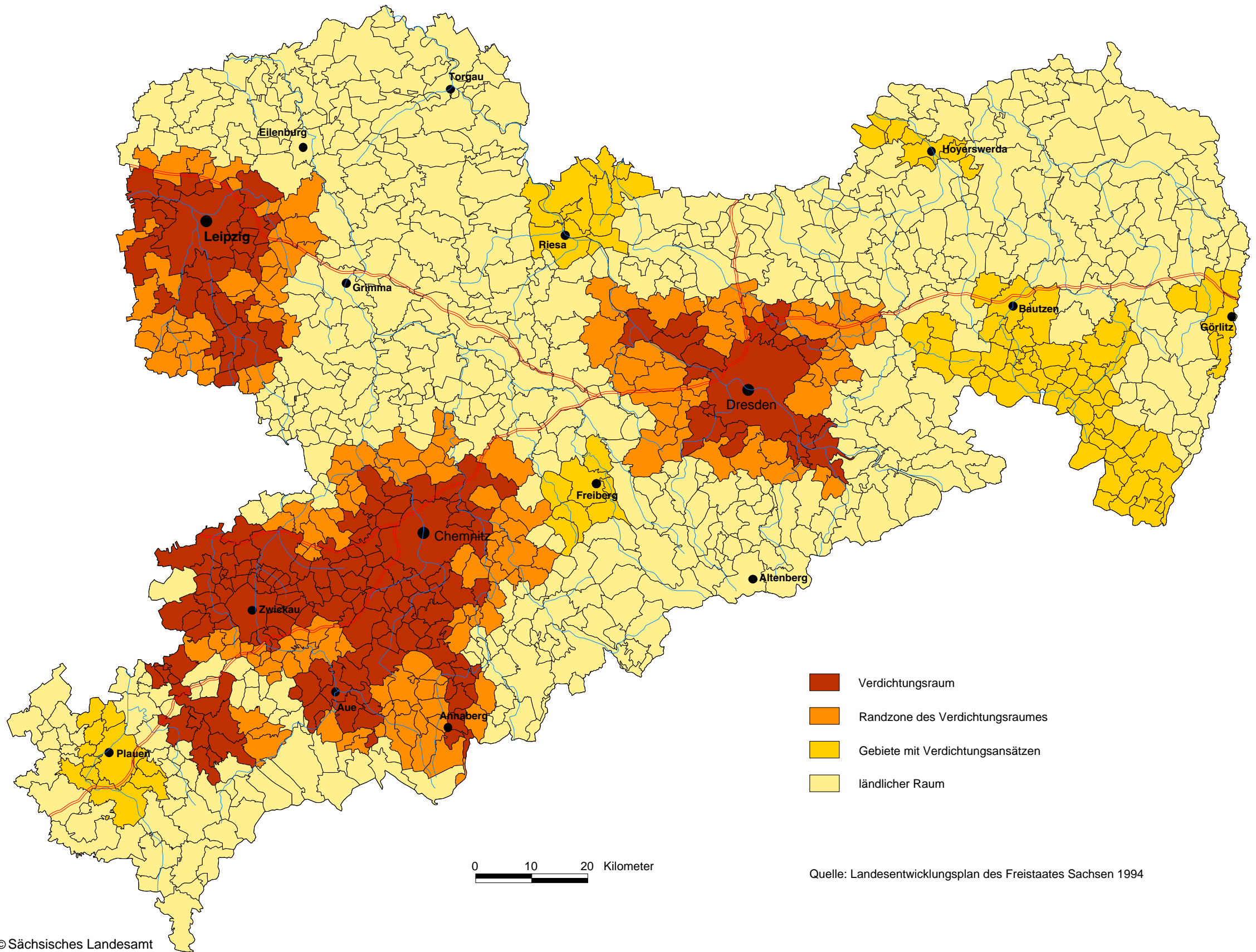
 Paragenetische Zurodnung der Mineralisation unbekannt

 Magnetit-Hämatit-Assoziation - Fe
Chamosit-Thuringit-Assoziation - Fe

 Pyrit-Pyrrhotin-(Chalkopyrit)-Assoziation - Fe, Cu
Polymetallische Assoziation - Pb, Zn, As, Cu, Sb
Assoziation mit aufgeprägter Kassiterit- oder
Scheelit-Hochtemperaturmineralisation - As, W, Sn
Schichtgebundene Pechblende-Assoziation - U

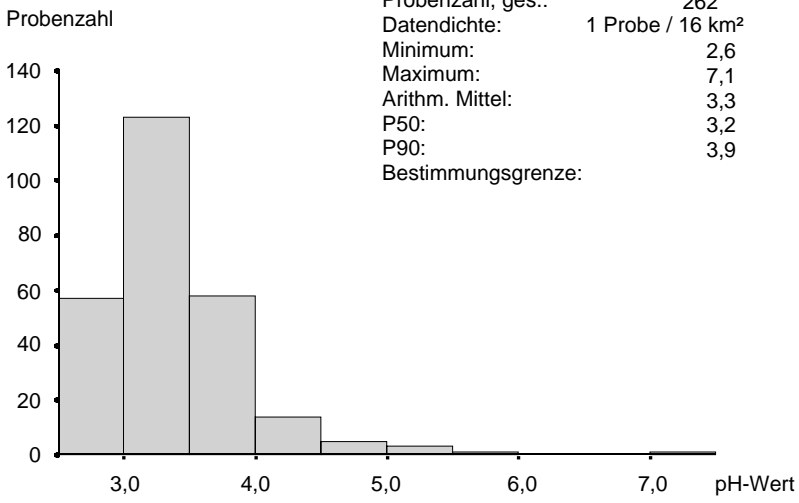
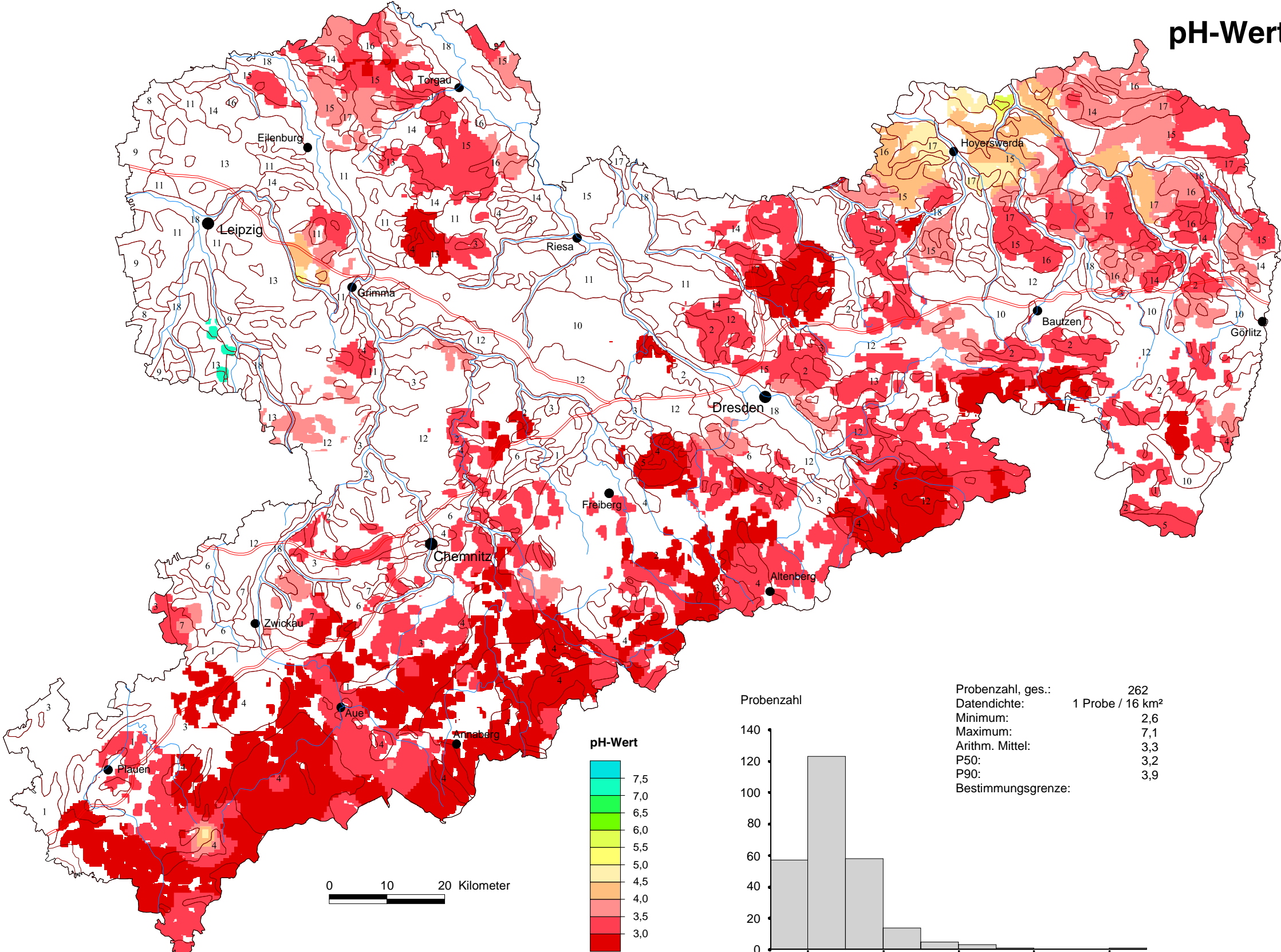
 Lagerstätten mit Hauptkomponenten
der Rohstoffgewinnung (Pb)



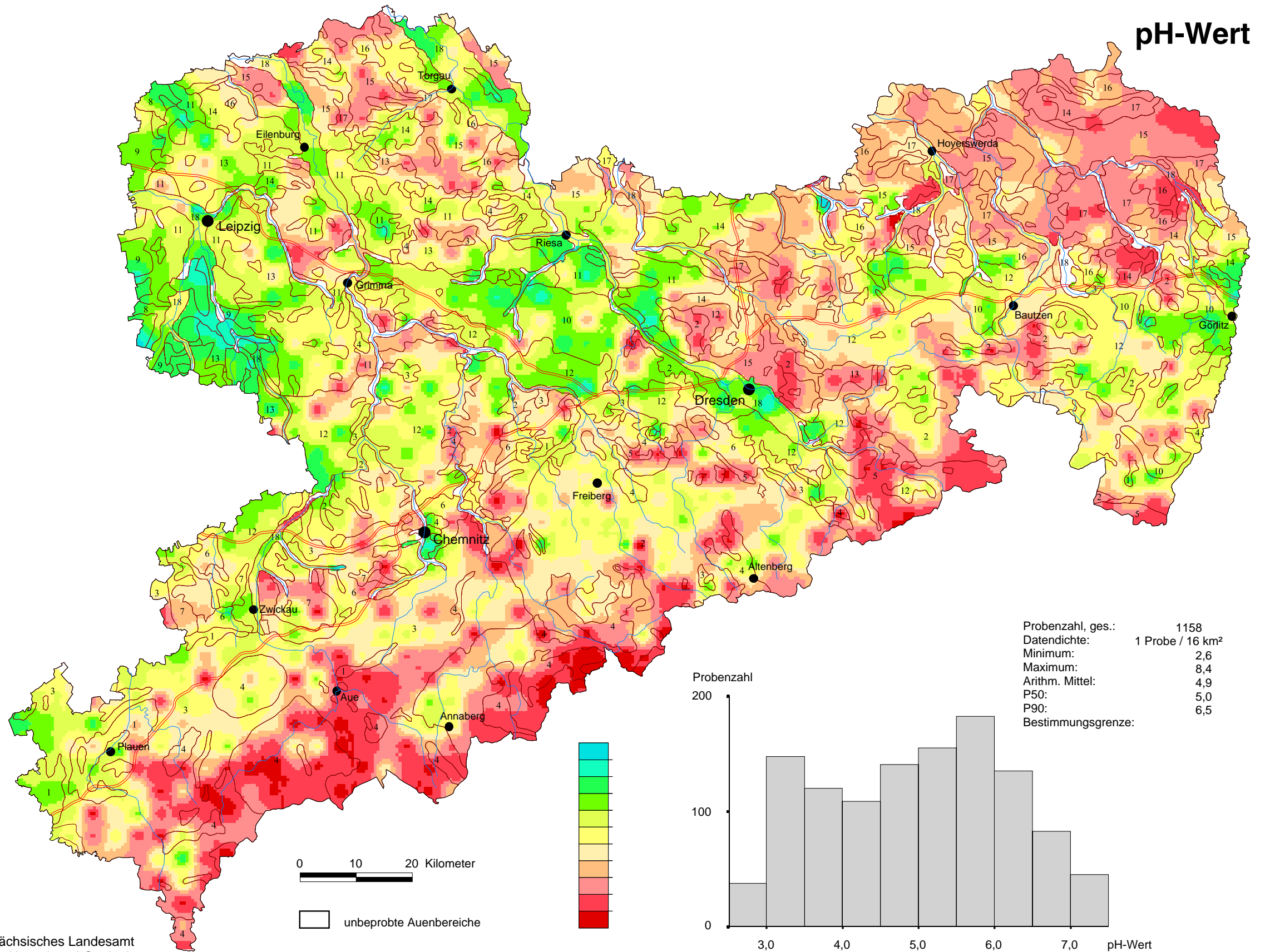


Quelle: Landesentwicklungsplan des Freistaates Sachsen 1994

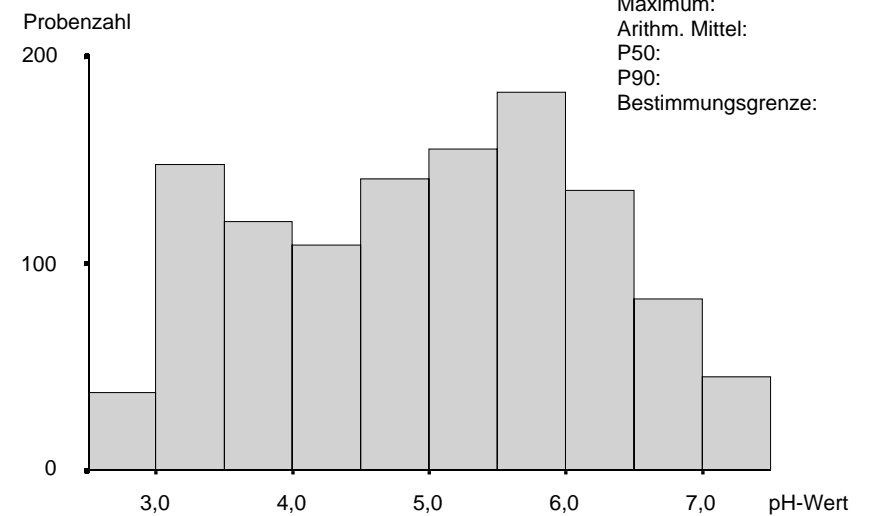
pH-Wert



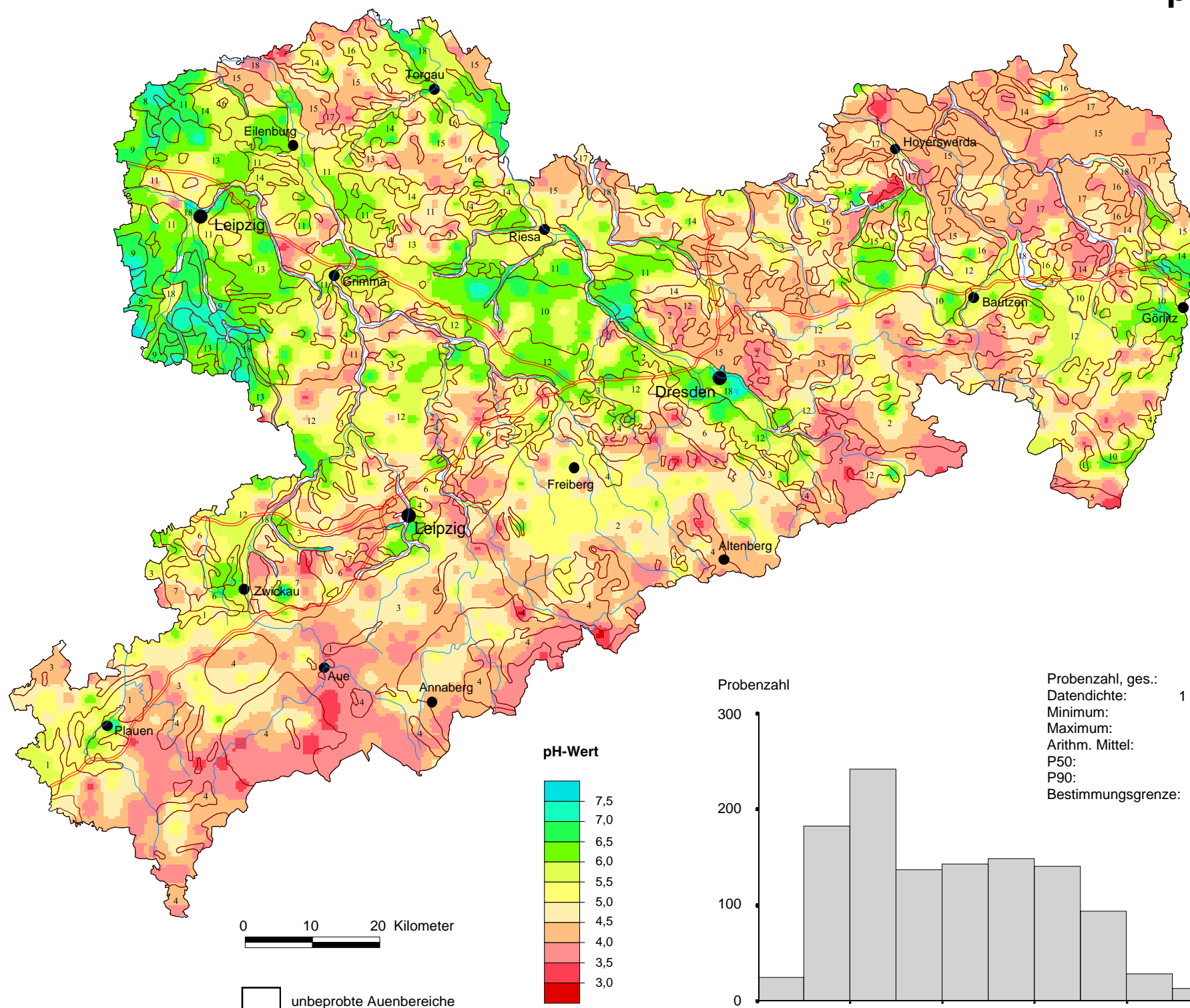
pH-Wert



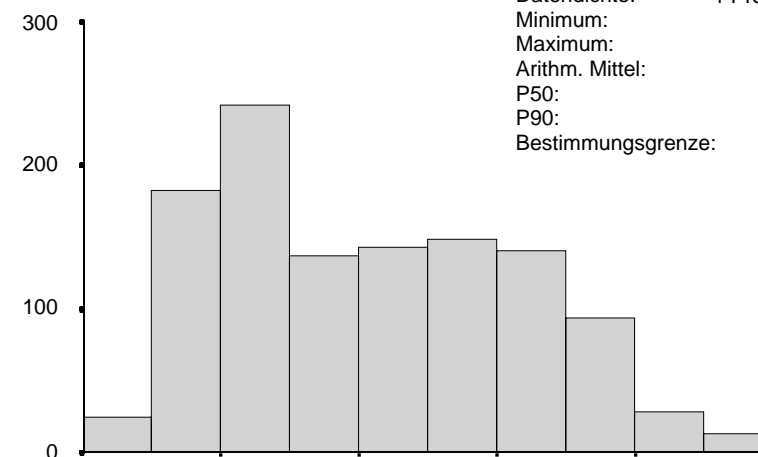
Probenzahl, ges.:	1158
Datendichte:	1 Probe / 16 km²
Minimum:	2,6
Maximum:	8,4
Arithm. Mittel:	4,9
P50:	5,0
P90:	6,5
Bestimmungsgrenze:	



pH-Wert

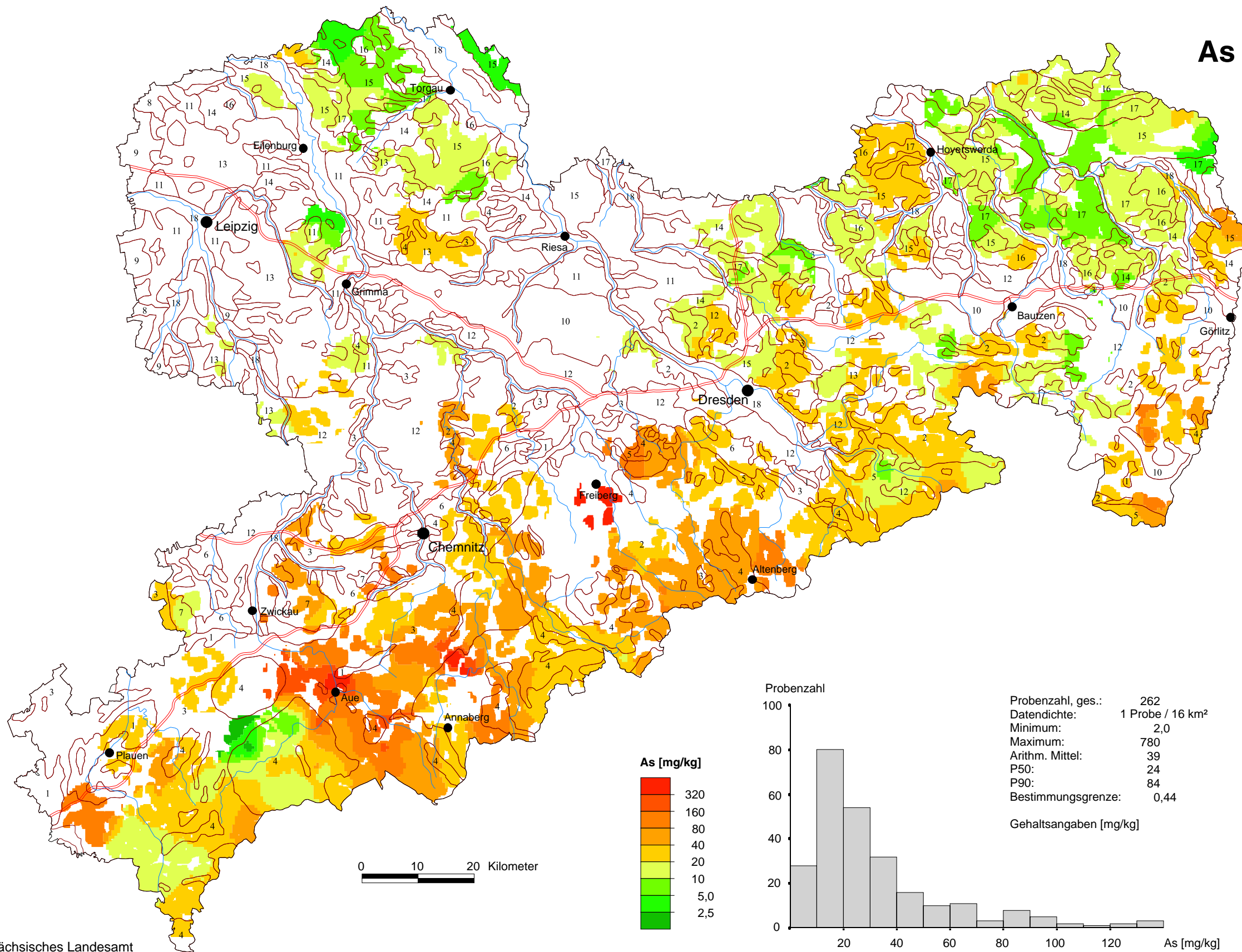


Probenzahl

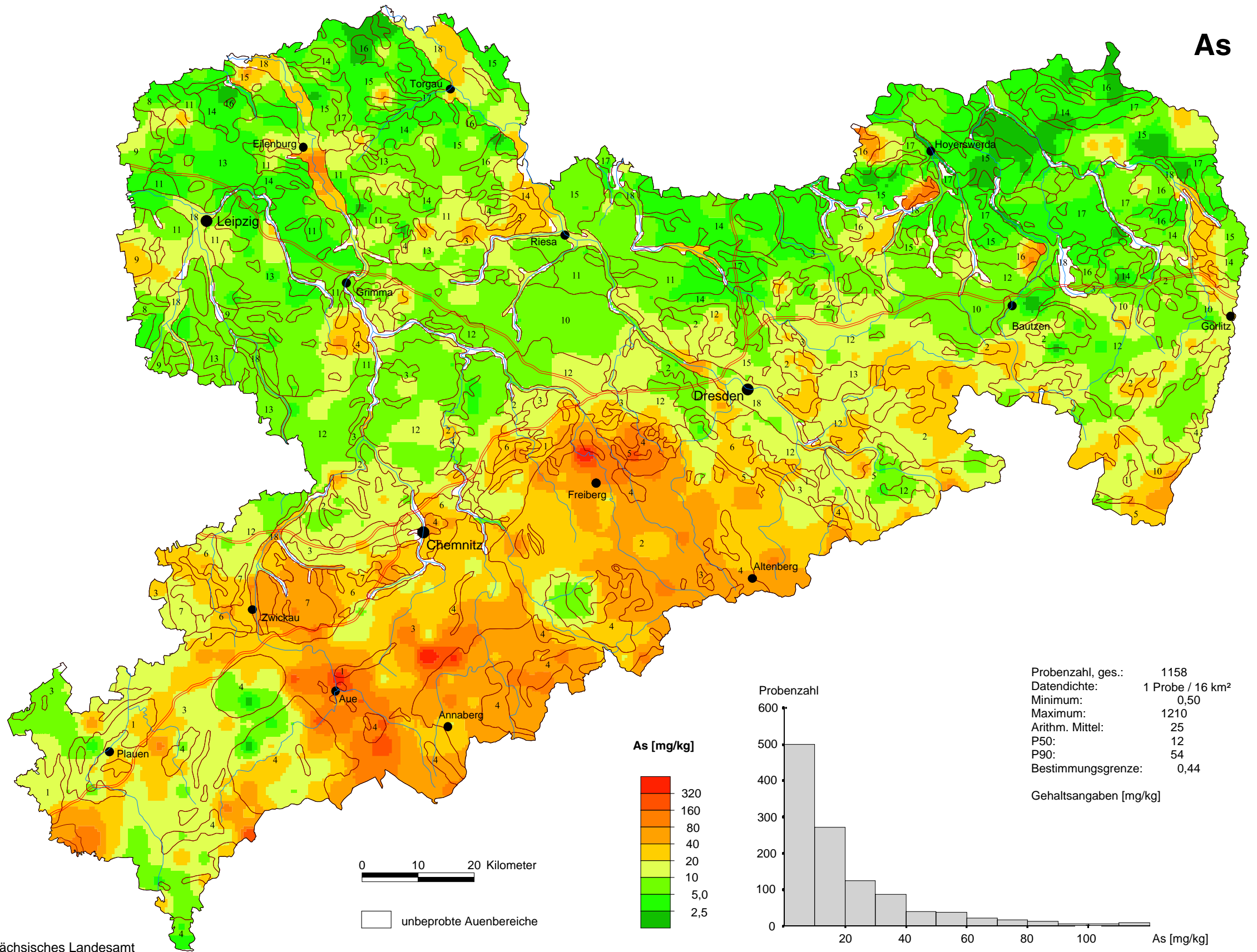


Probenzahl, ges.: 1154
 Datendichte: 1 Probe / 16 km²
 Minimum: 2,9
 Maximum: 7,8
 Arithm. Mittel: 5,0
 P50: 4,9
 P90: 6,5
 Bestimmungsgrenze:

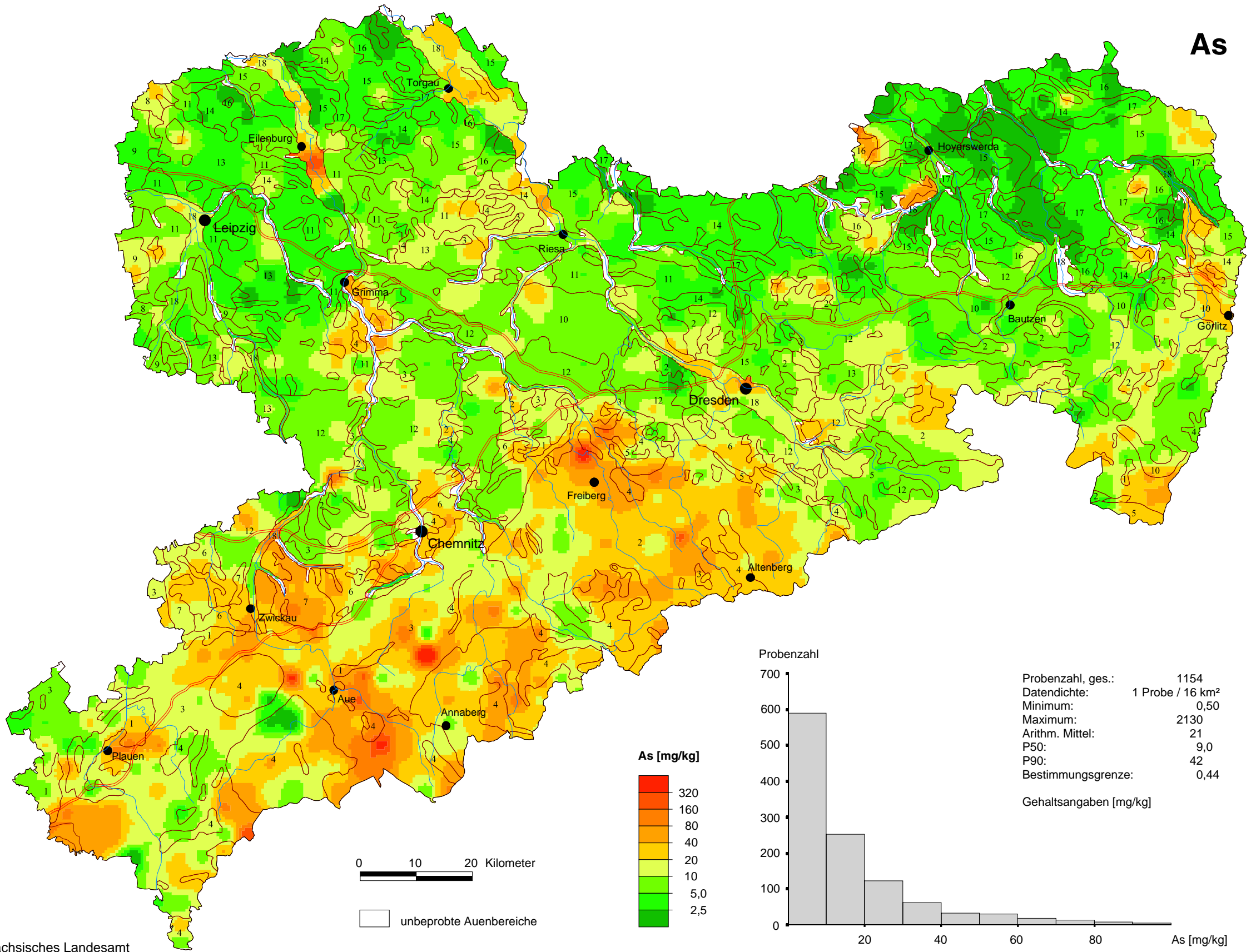
As



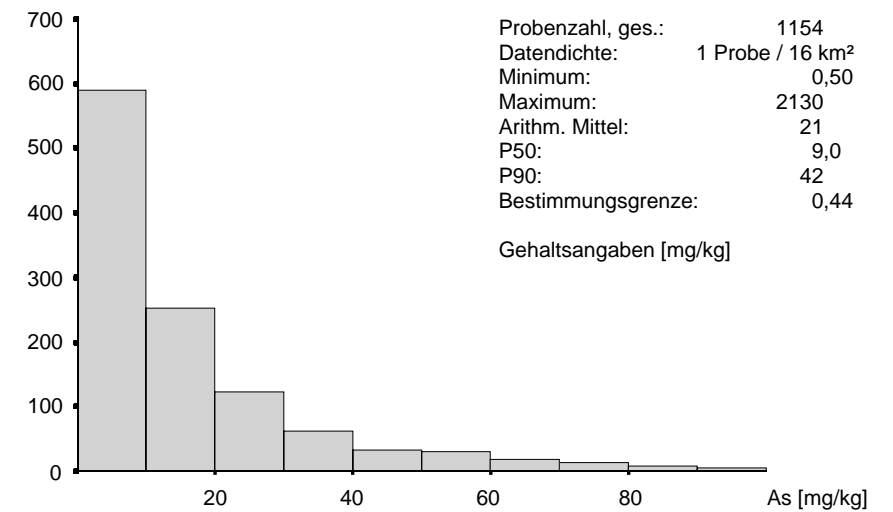
As



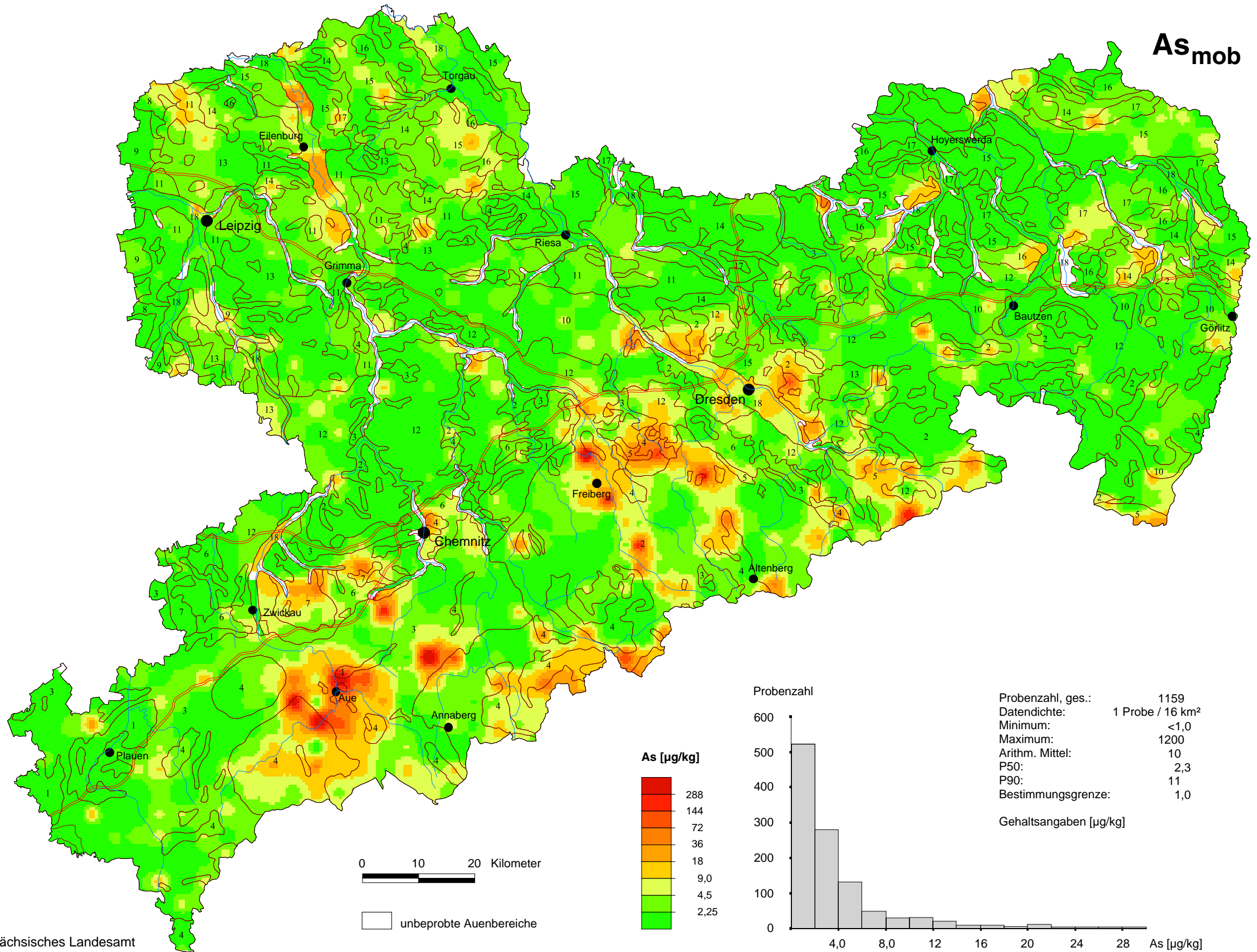
As



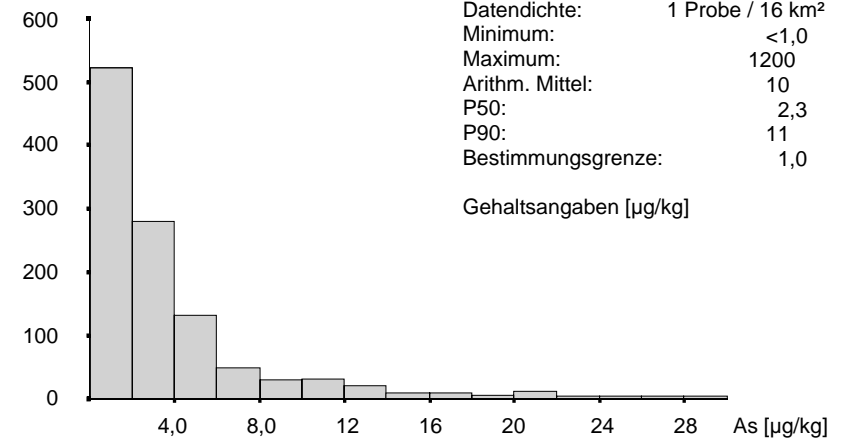
Probenzahl



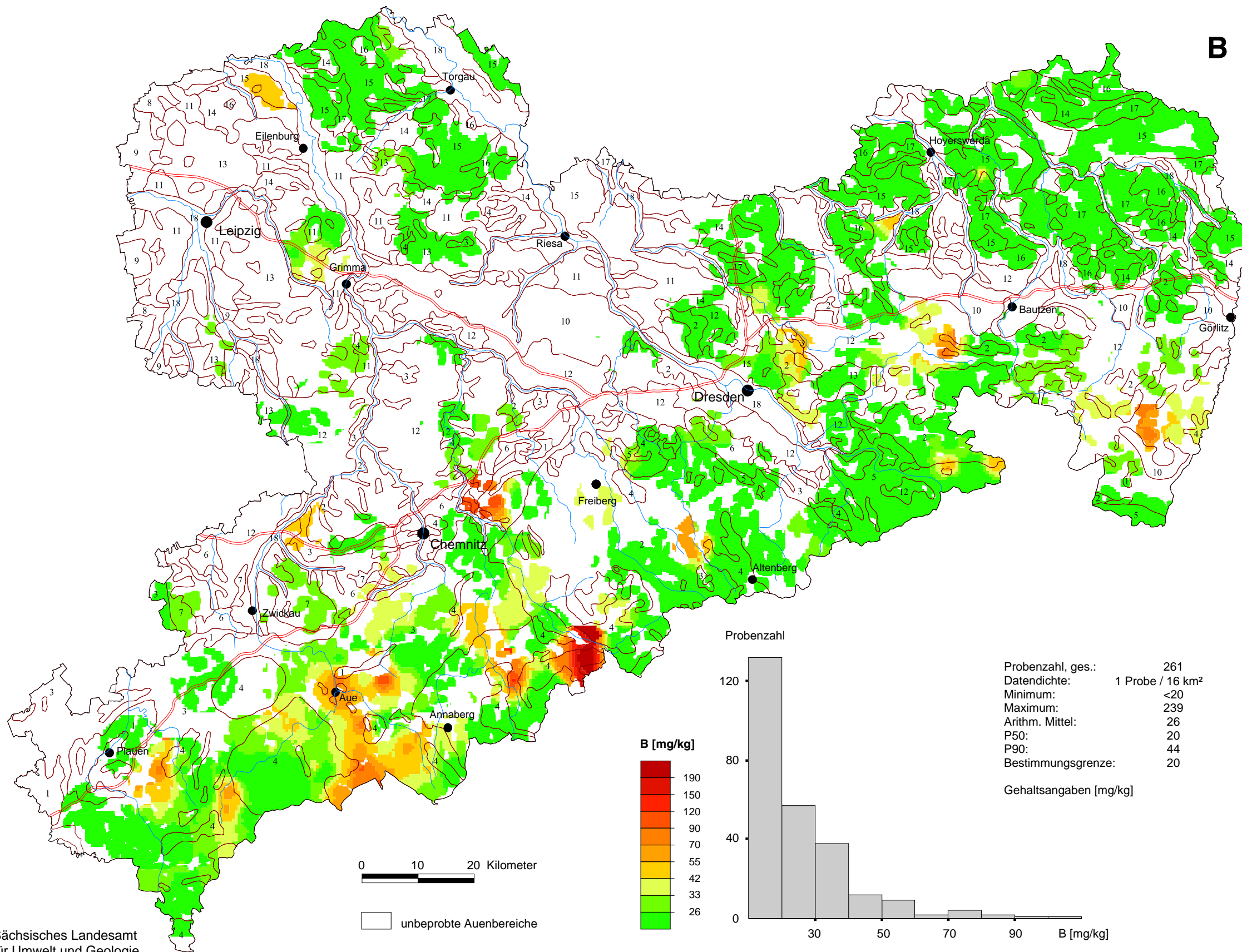
As_{mob}



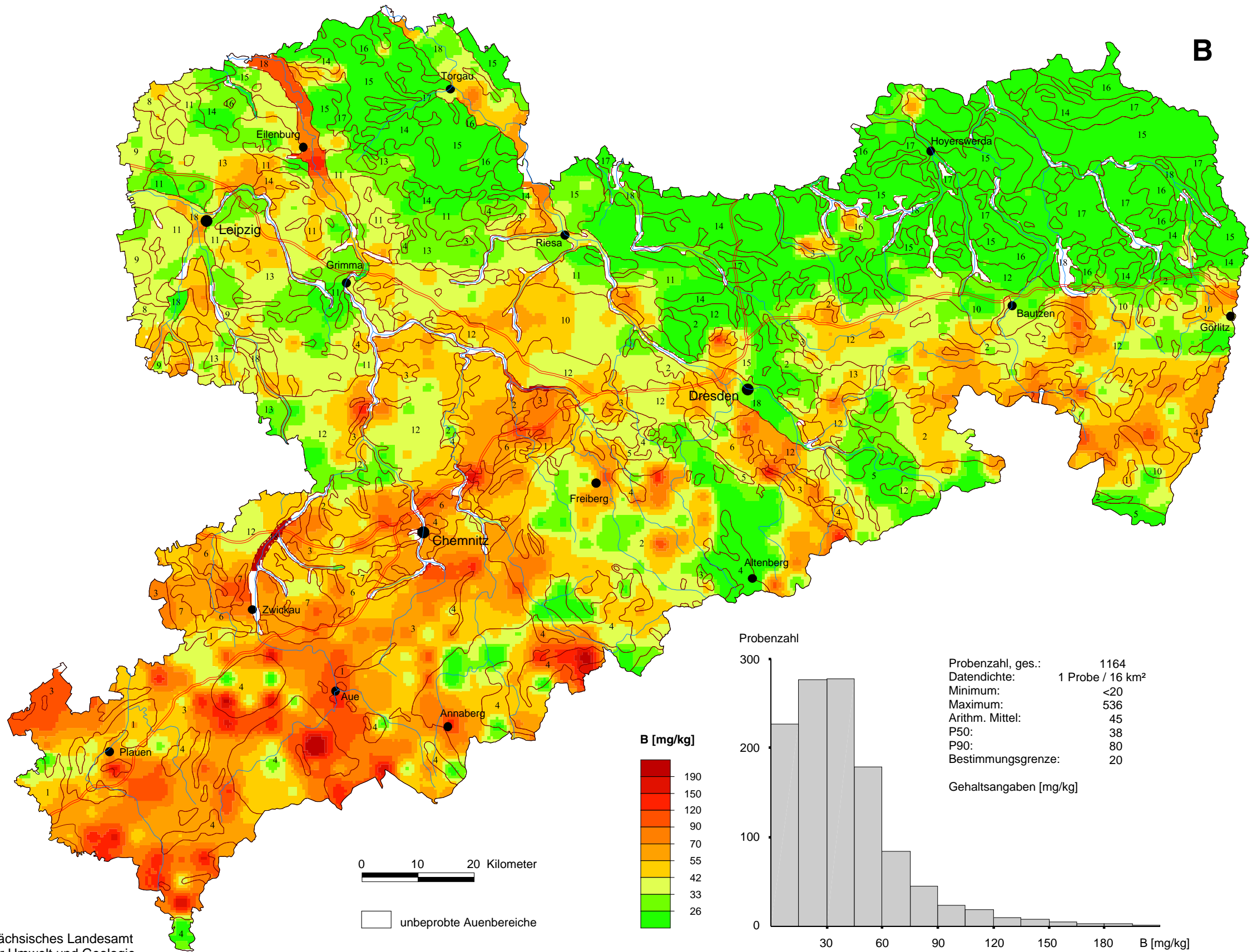
Probenzahl



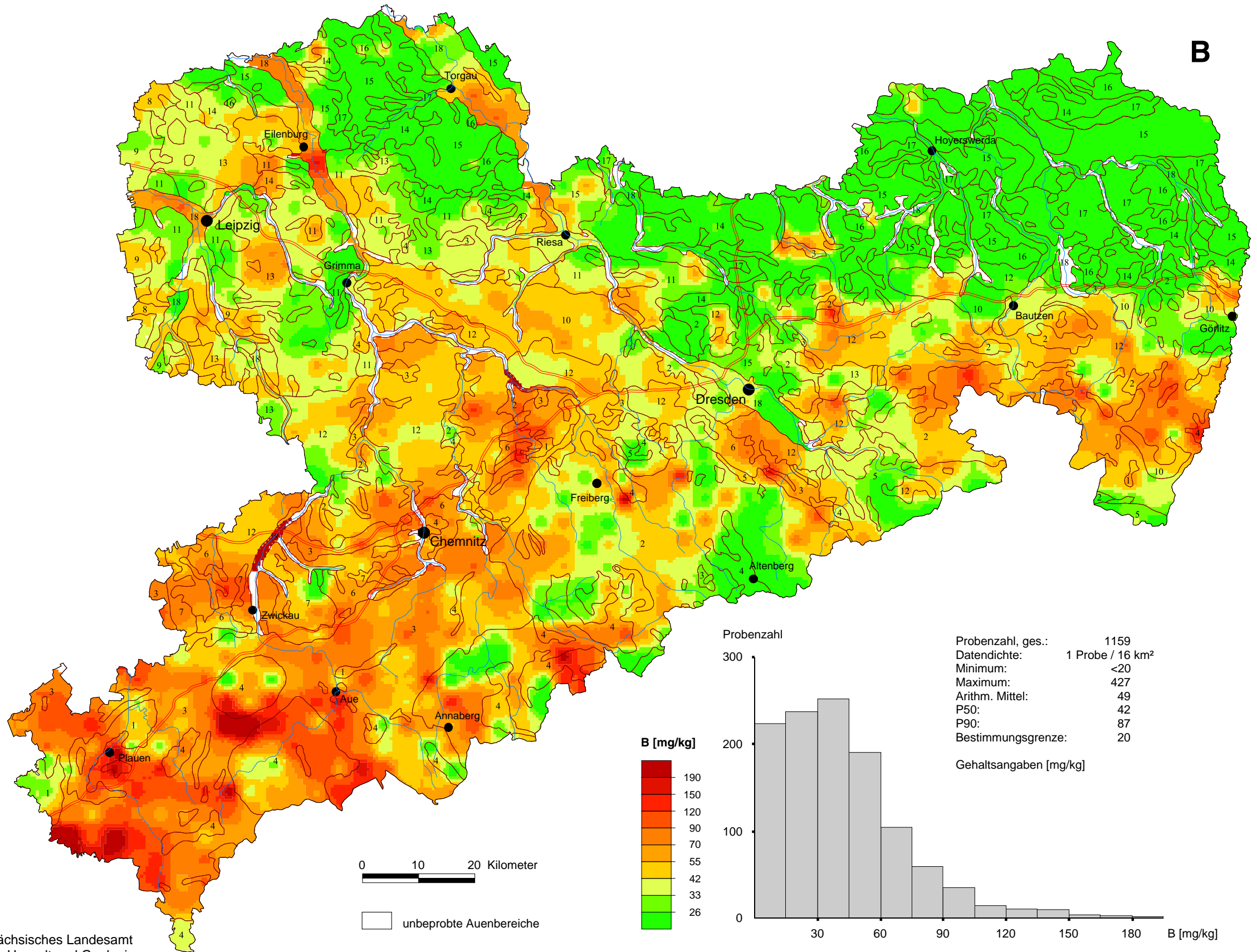
B



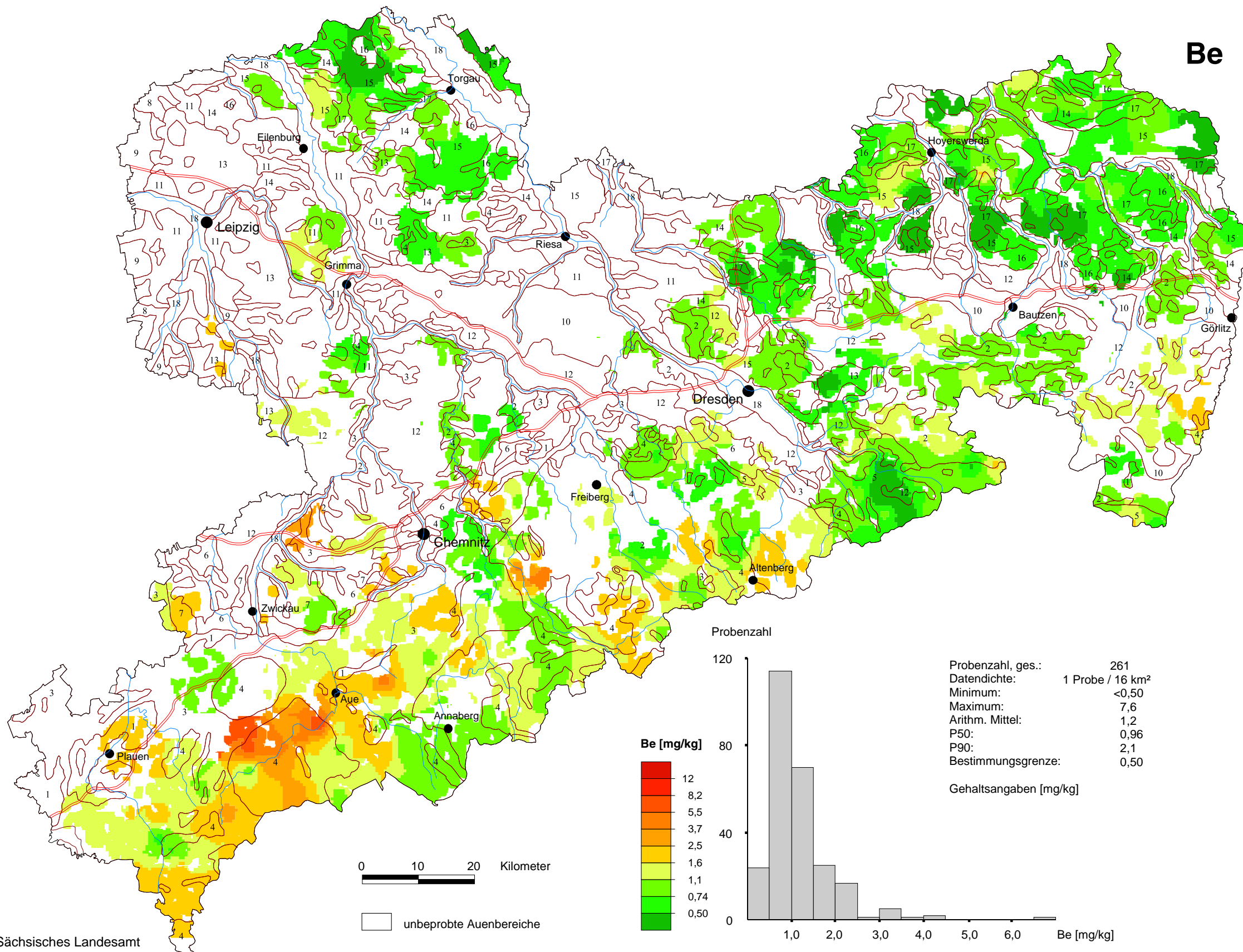
B



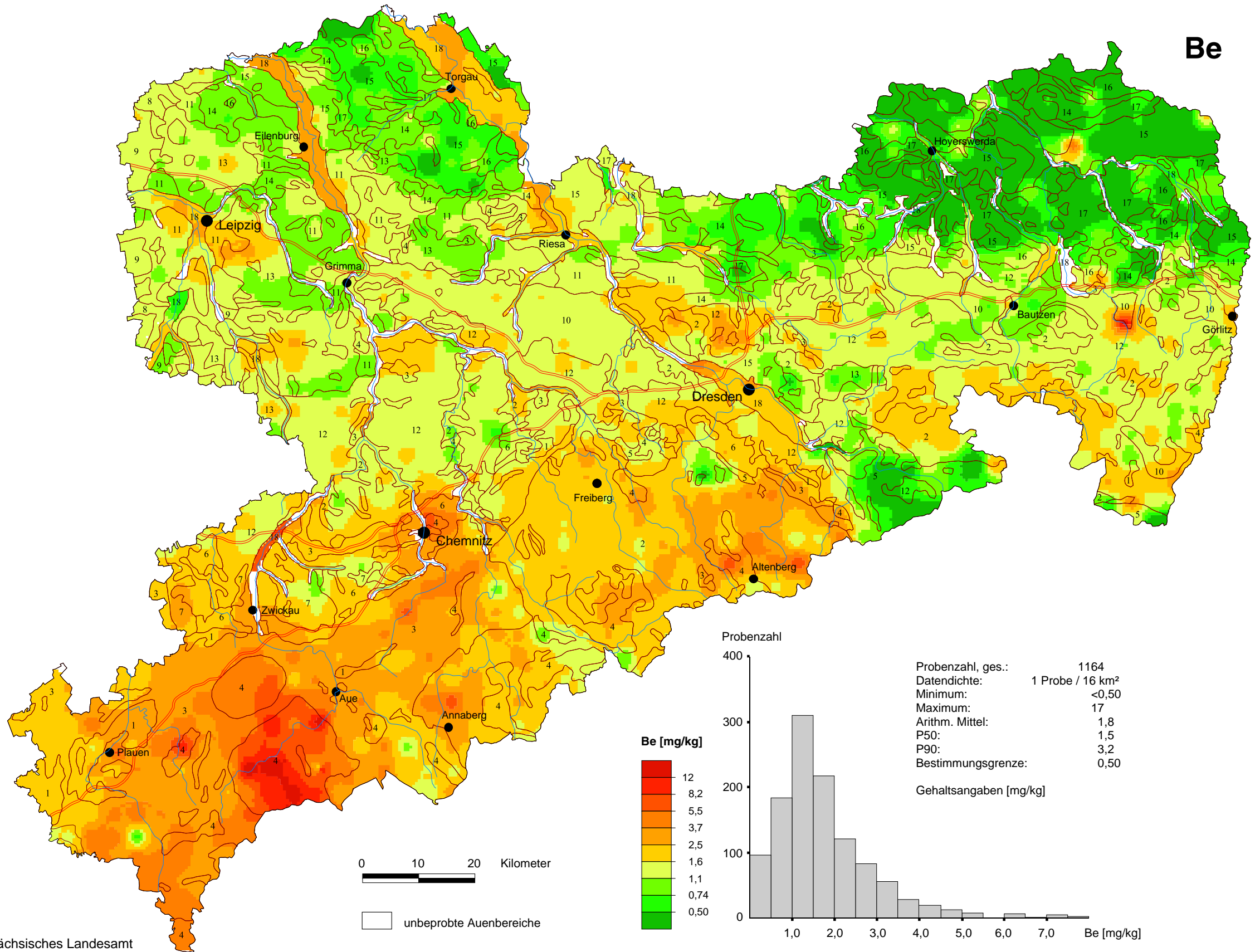
B



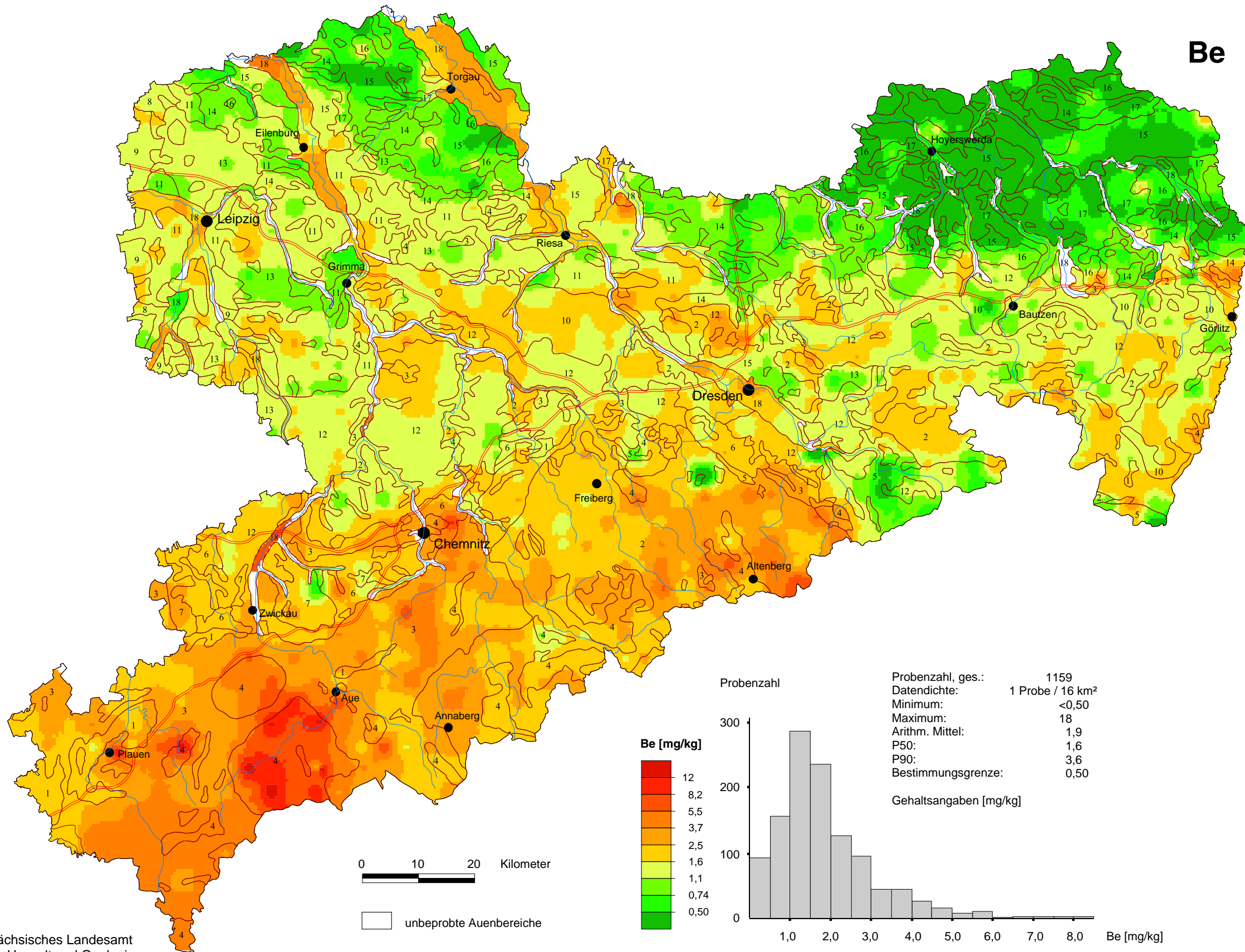
Be

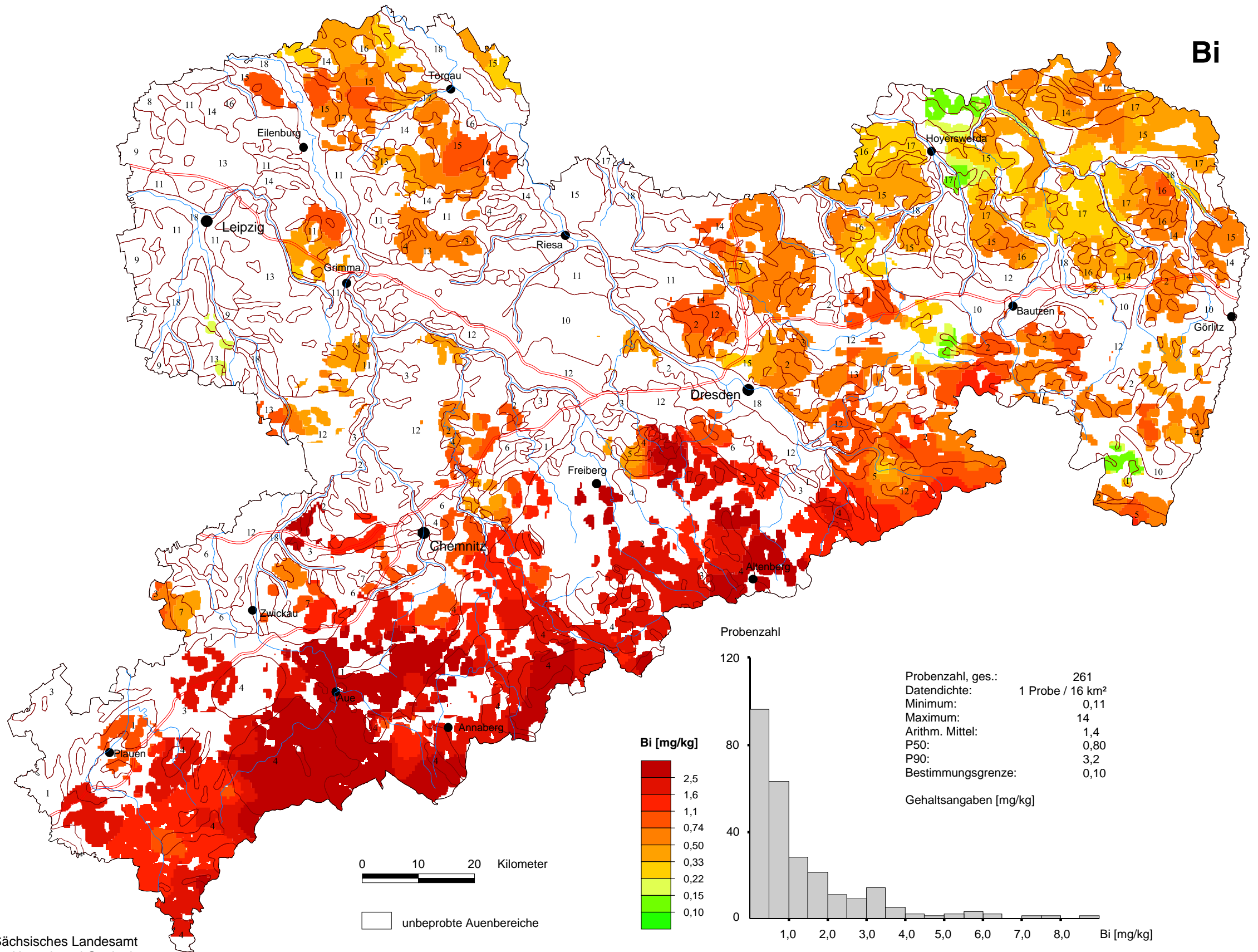


Be

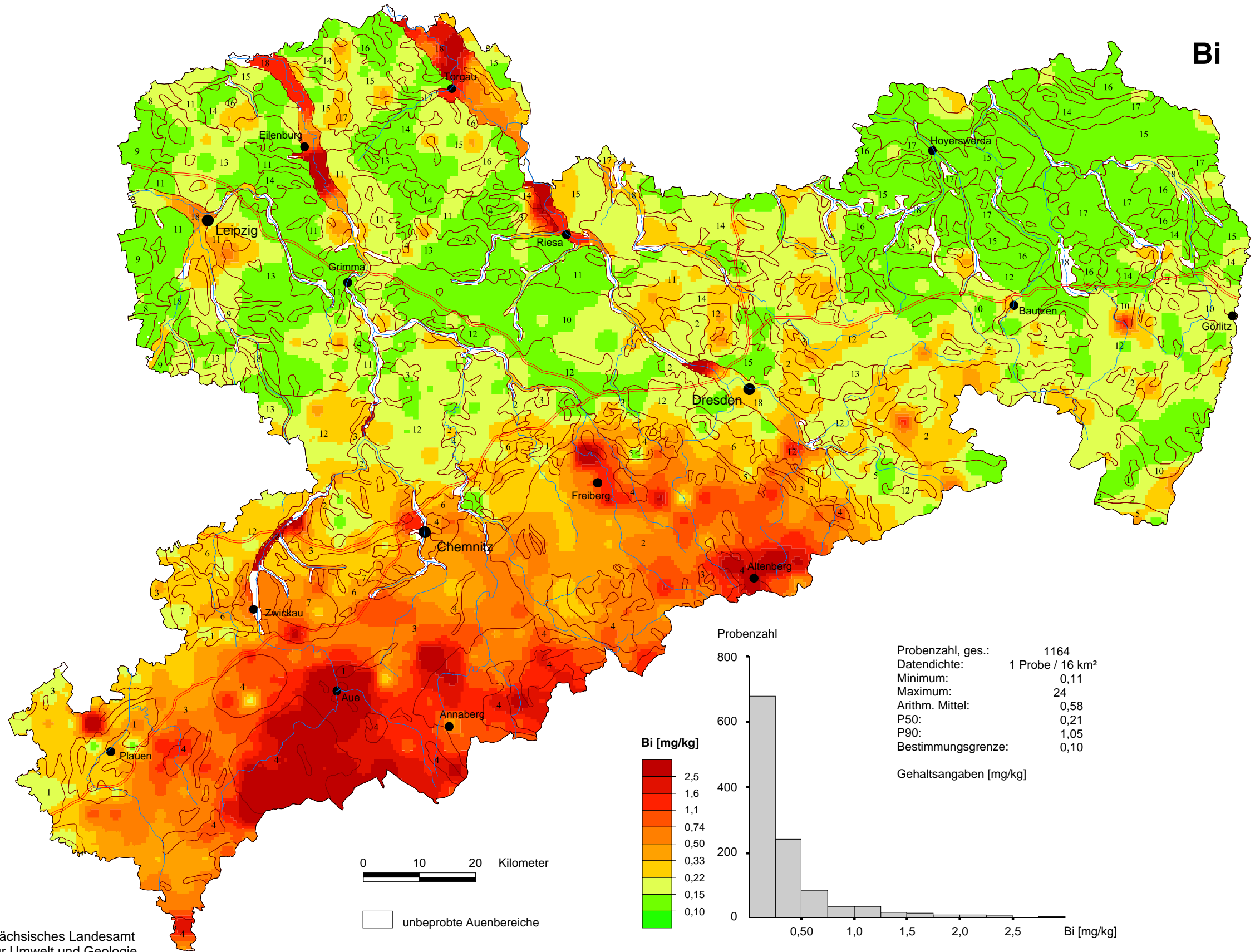


Be

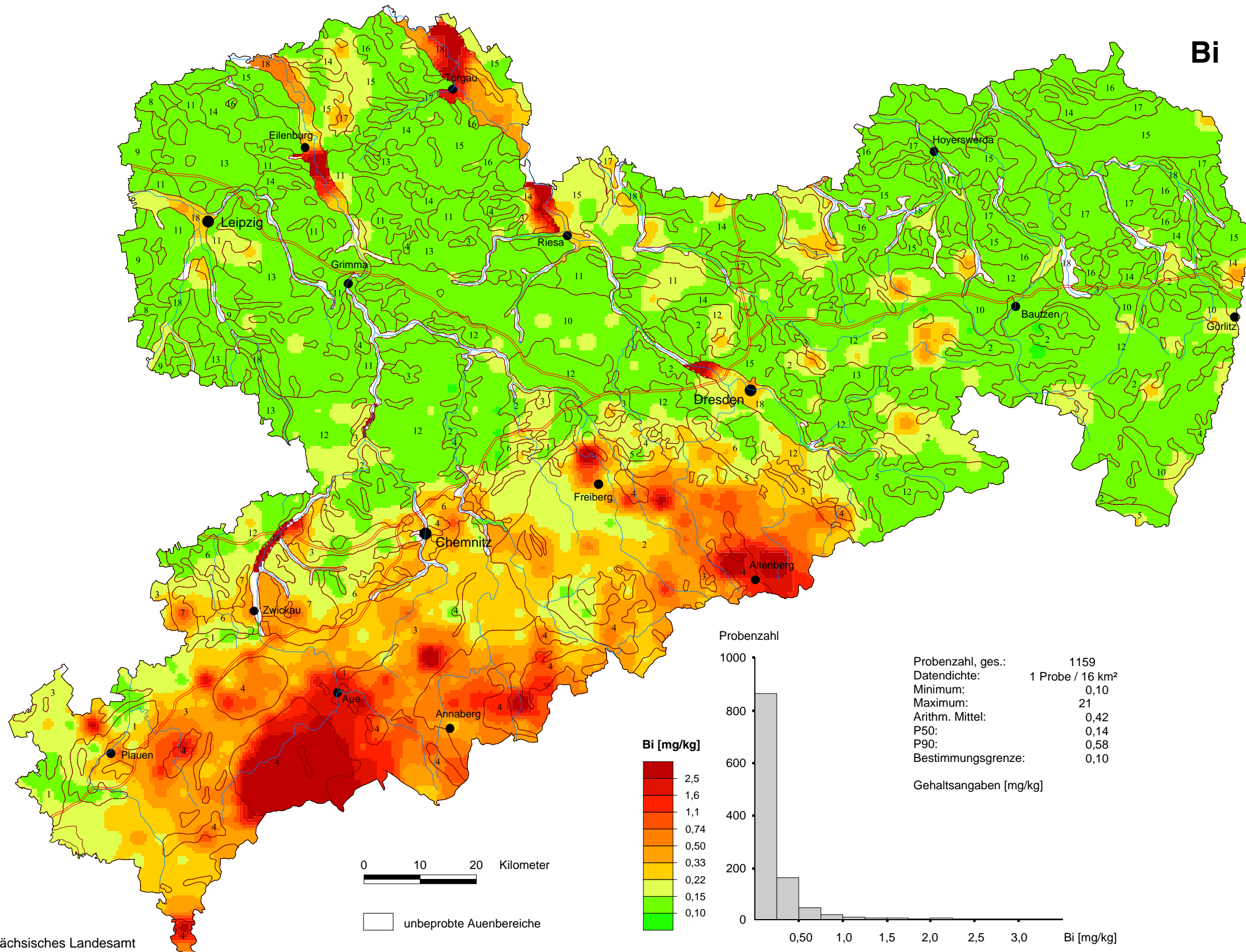


Bi

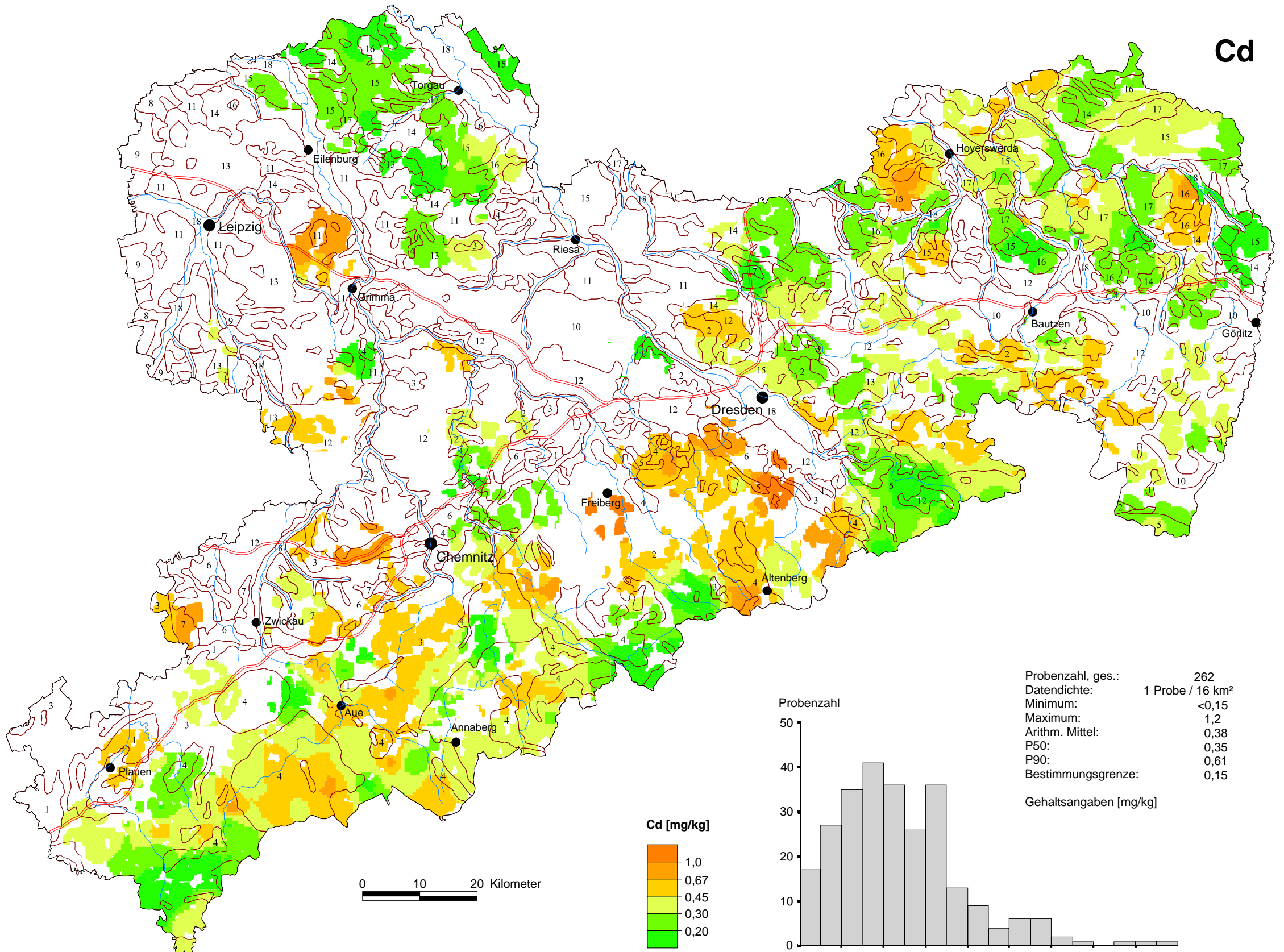
Bi



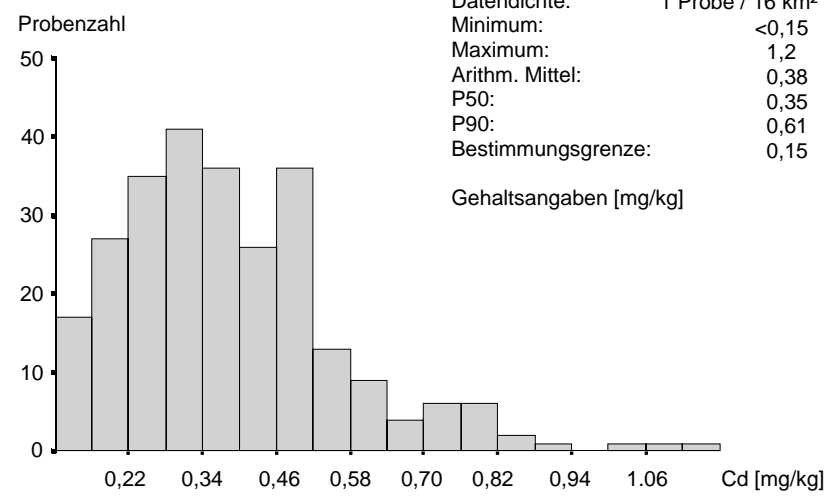
Bi



Cd

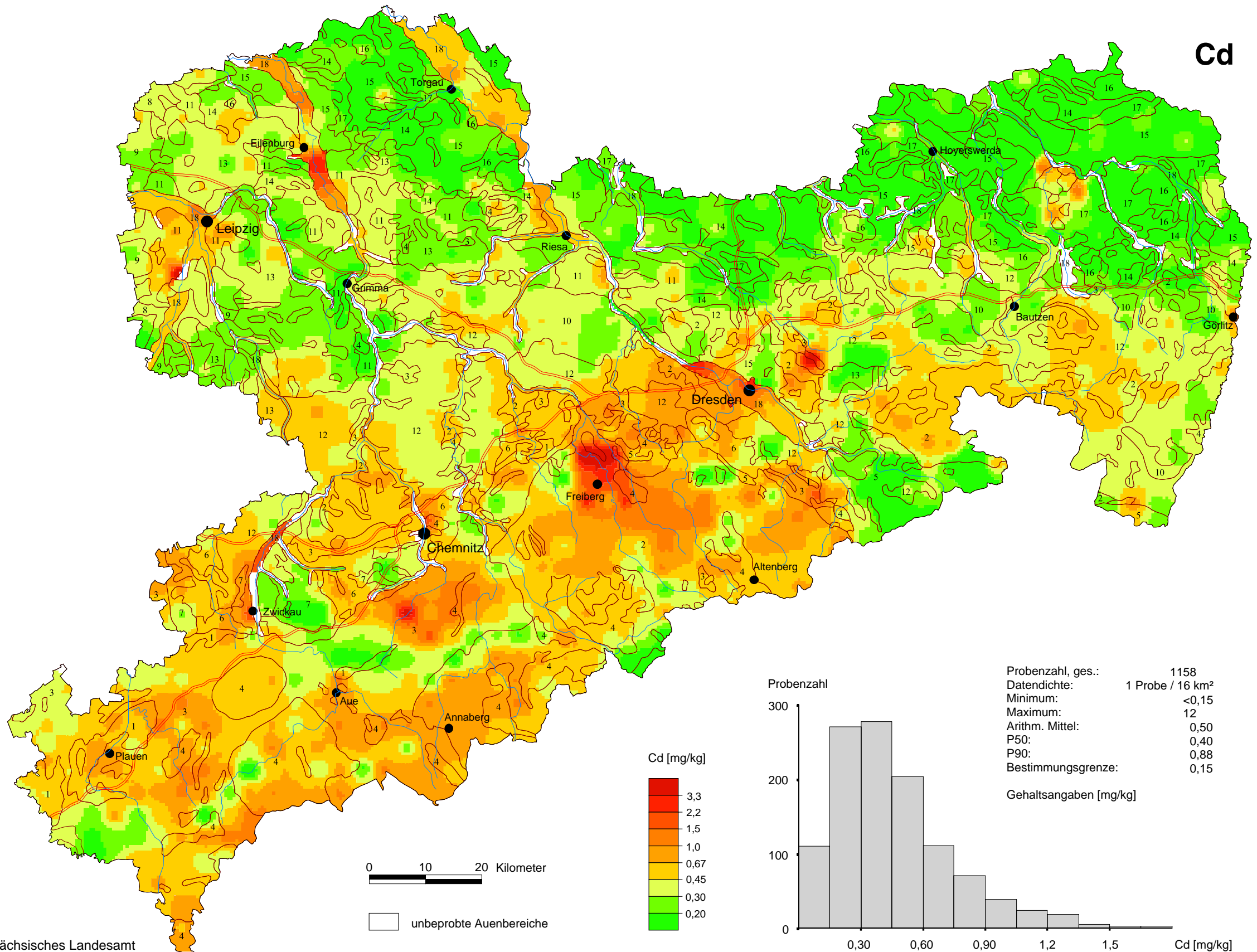


Probenzahl, ges.:	262
Datendichte:	1 Probe / 16 km ²
Minimum:	<0,15
Maximum:	1,2
Arithm. Mittel:	0,38
P50:	0,35
P90:	0,61
Bestimmungsgrenze:	0,15

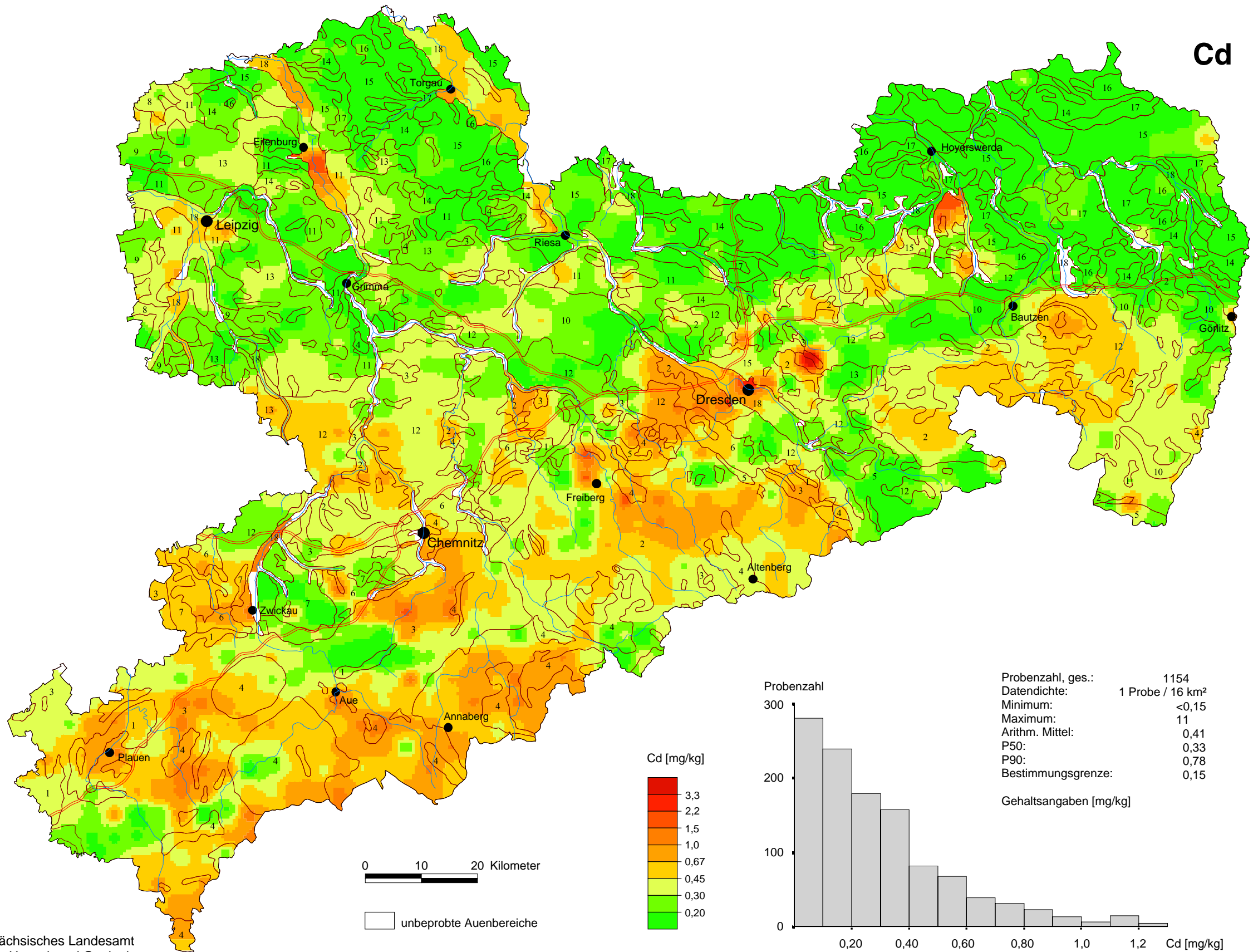


Gehaltsangaben [mg/kg]

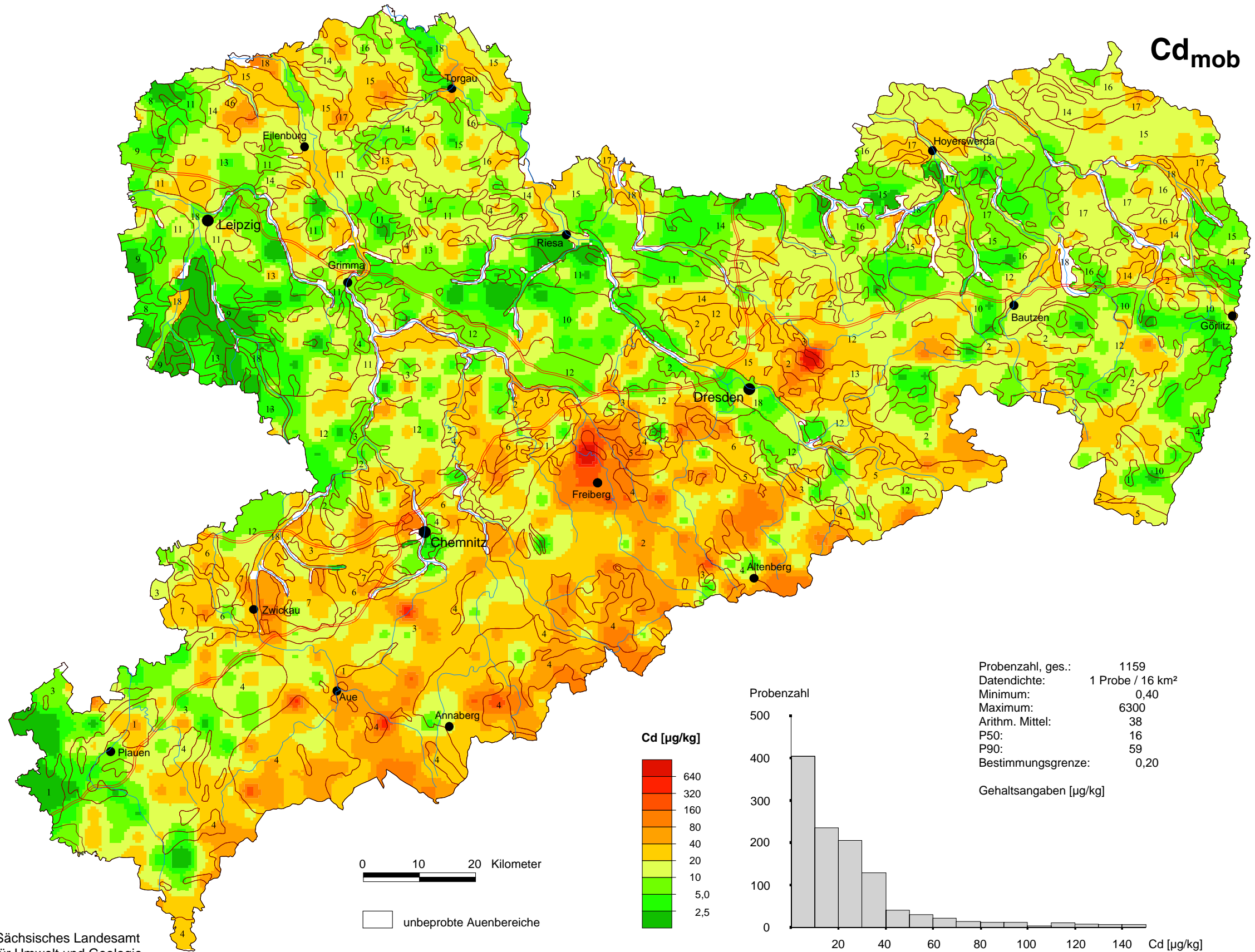
Cd



Cd



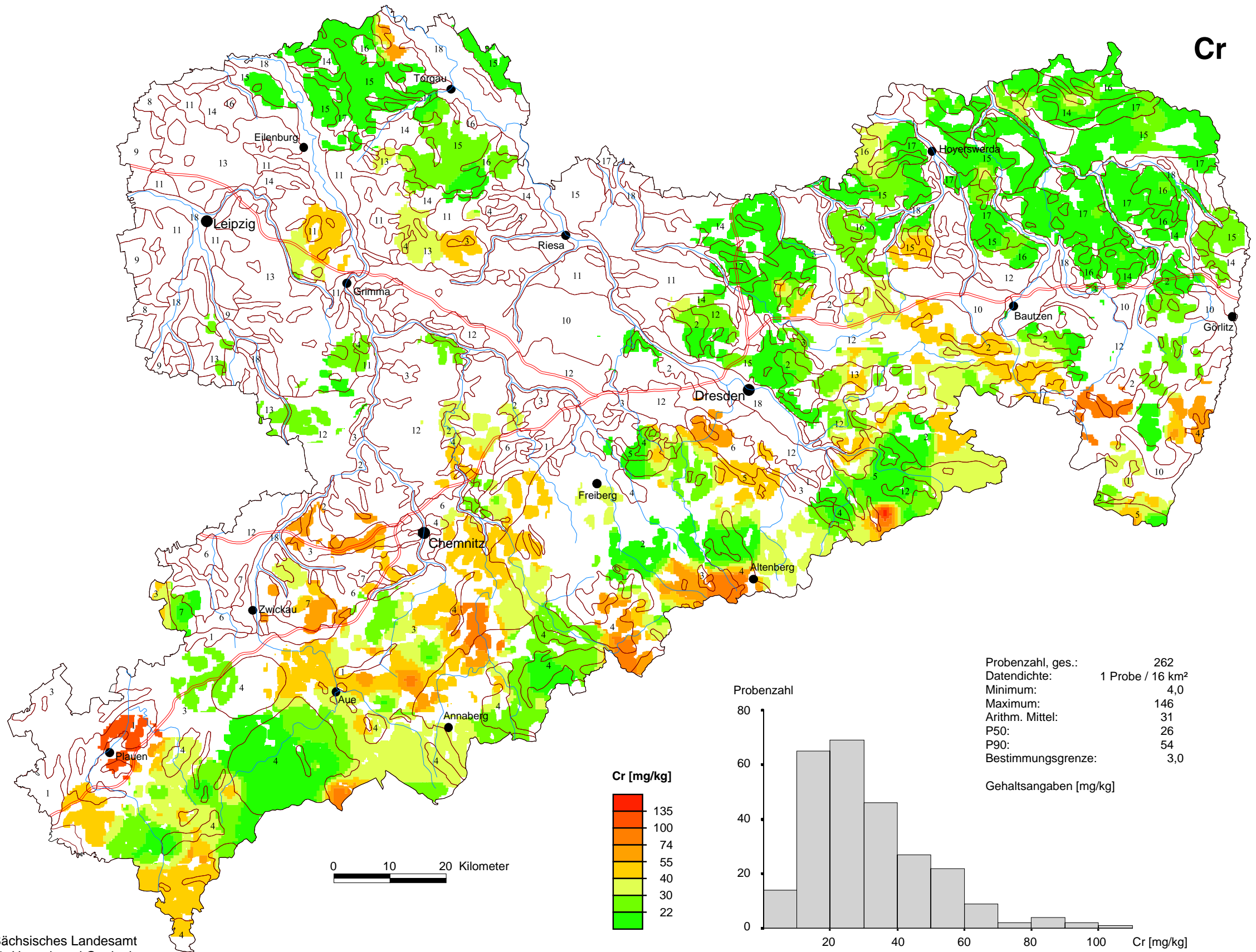
Cd_{mob}



Probenzahl, ges.: 1159
Datendichte: 1 Probe / 16 km²
Minimum: 0,40
Maximum: 6300
Arithm. Mittel: 38
P50: 16
P90: 59
Bestimmungsgrenze: 0,20

Gehaltsangaben [µg/kg]

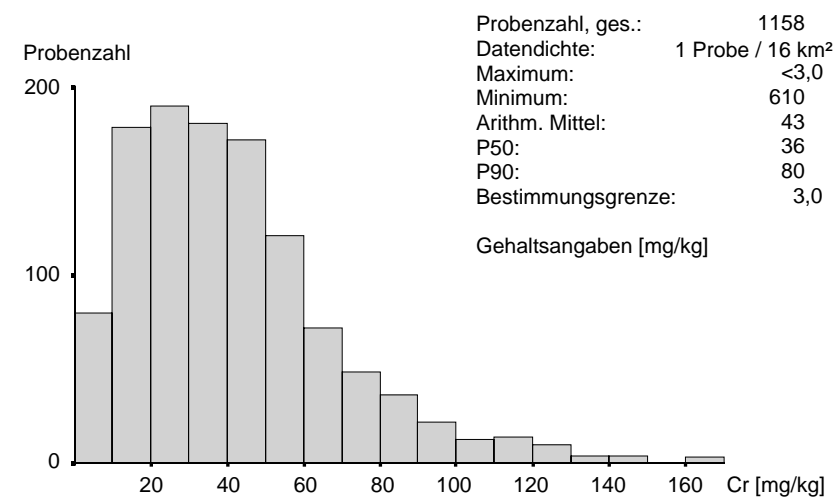
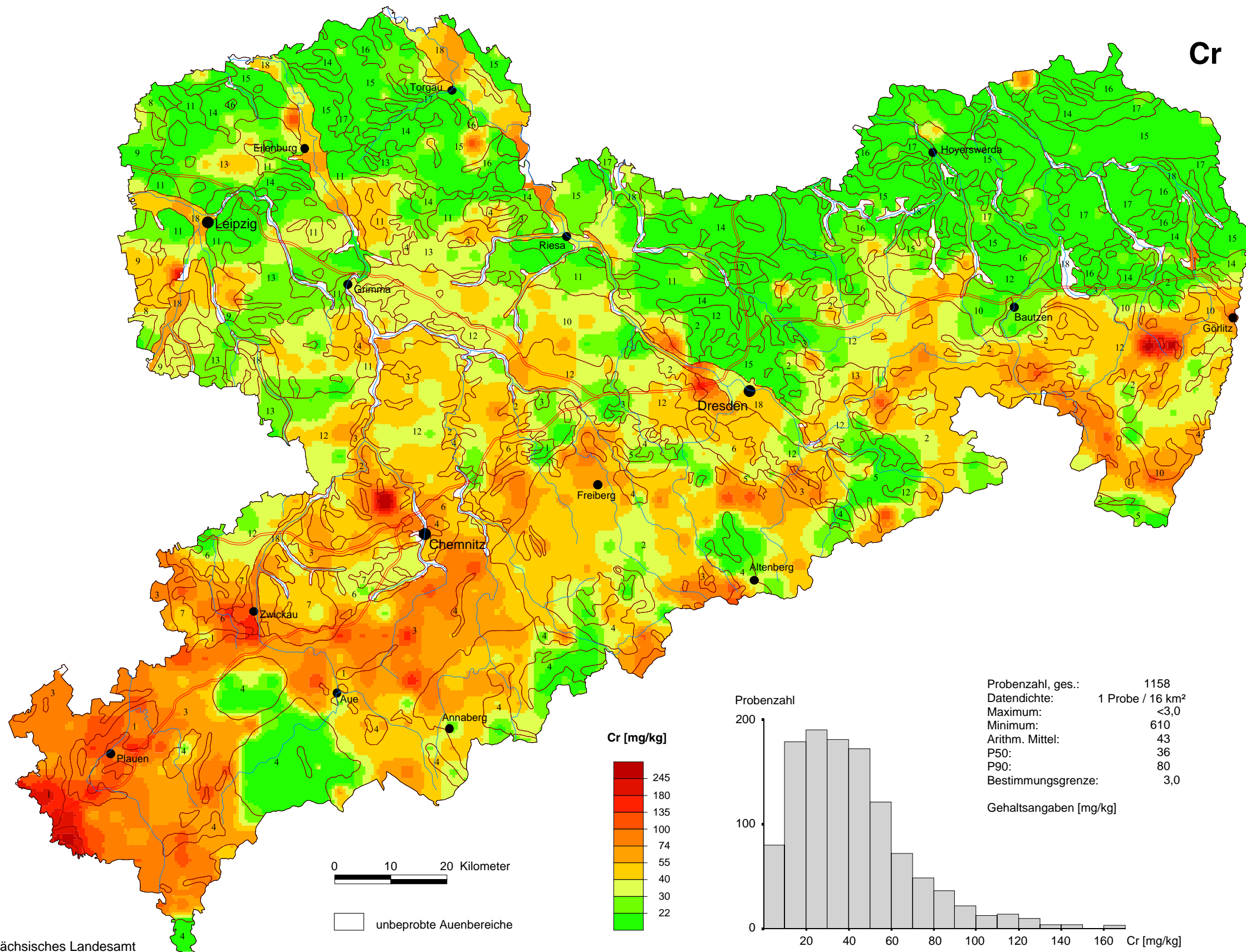
Cr



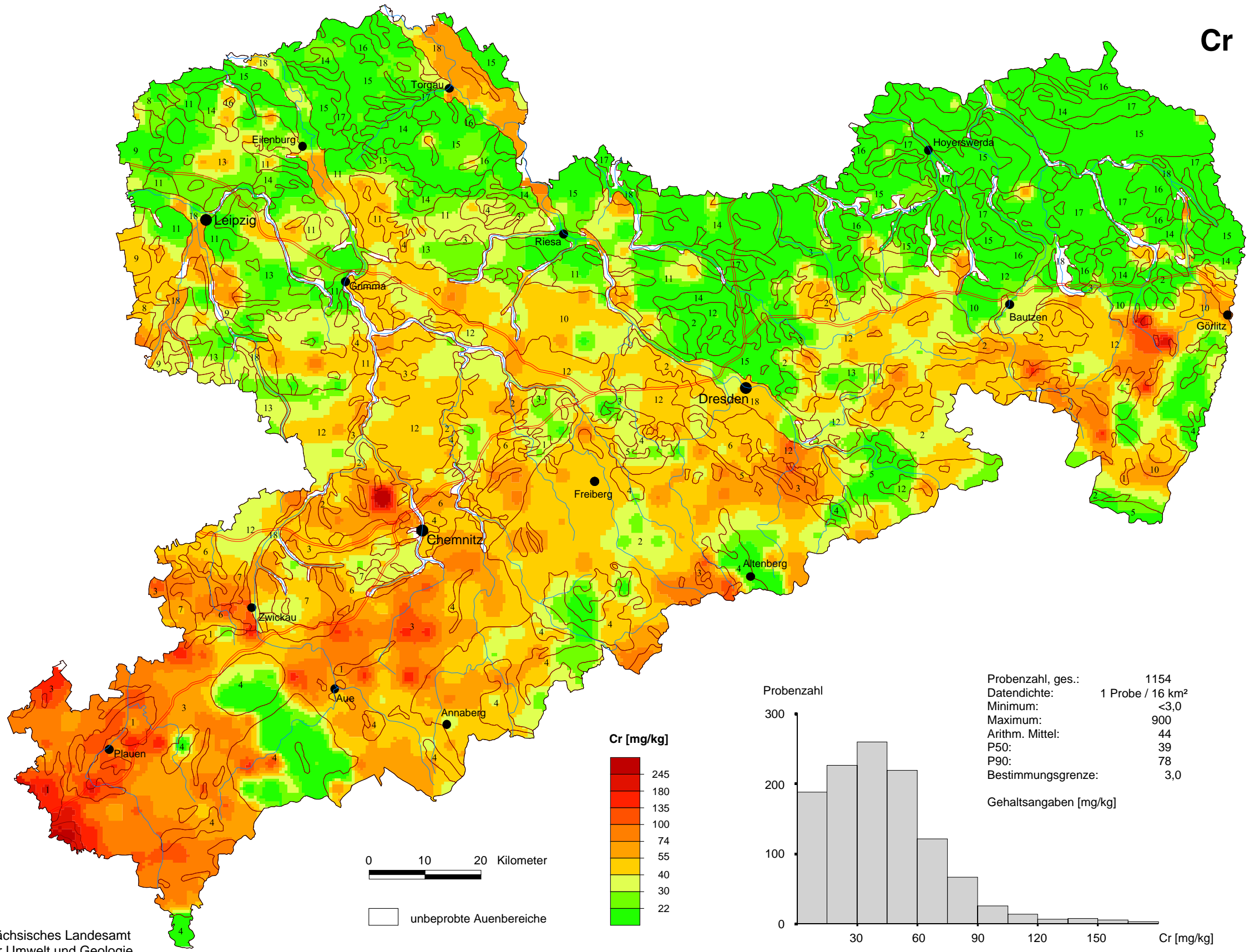
Probenzahl, ges.: 262
Datendichte: 1 Probe / 16 km²
Minimum: 4,0
Maximum: 146
Arithm. Mittel: 31
P50: 26
P90: 54
Bestimmungsgrenze: 3,0

Gehaltsangaben [mg/kg]

Cr



Cr



Probenzahl

300

200

100

0

30

60

90

120

150

Cr [mg/kg]

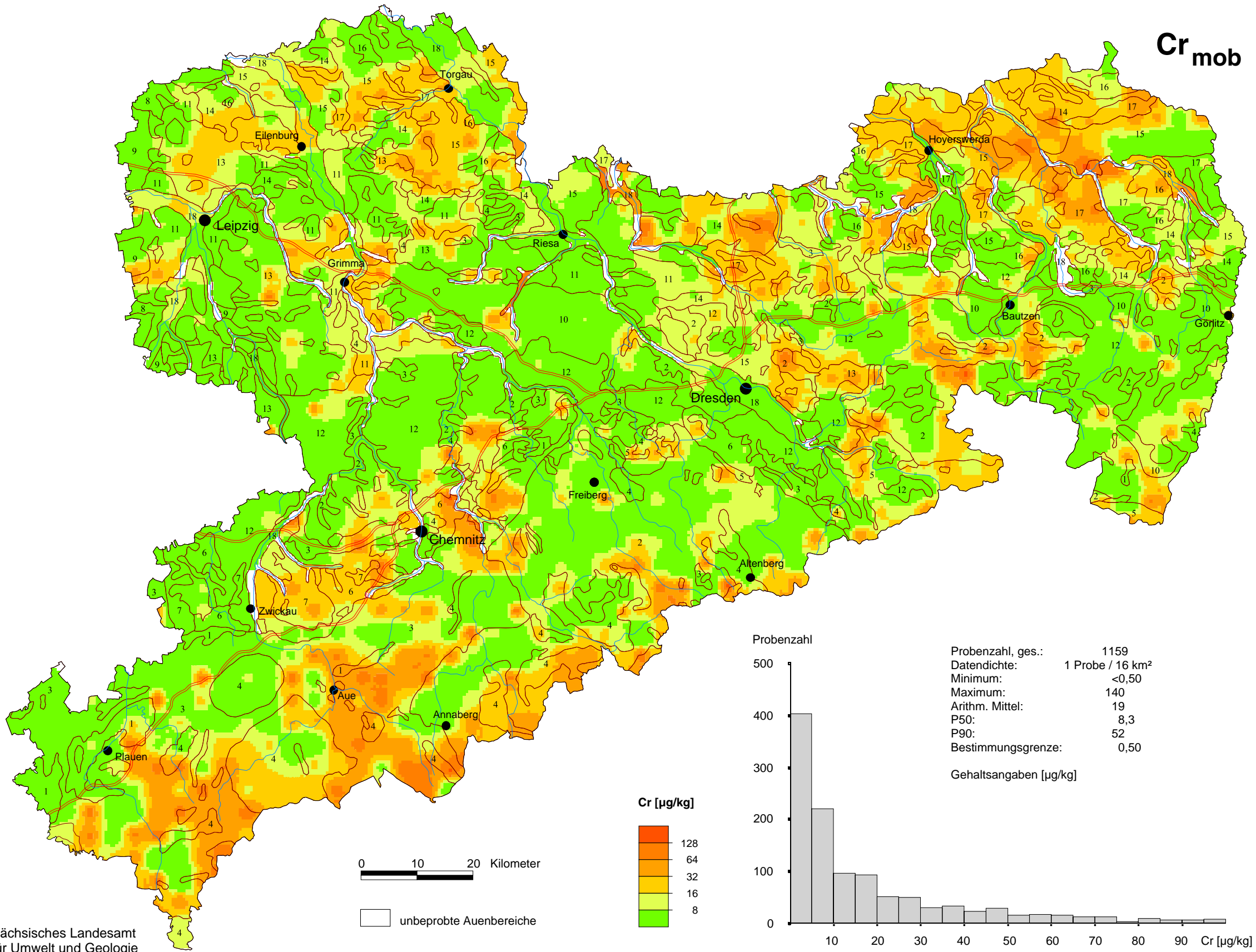
Probenzahl, ges.: 1154
Datendichte: 1 Probe / 16 km²
Minimum: <3,0
Maximum: 900
Arithm. Mittel: 44
P50: 39
P90: 78
Bestimmungsgrenze: 3,0

Gehaltsangaben [mg/kg]

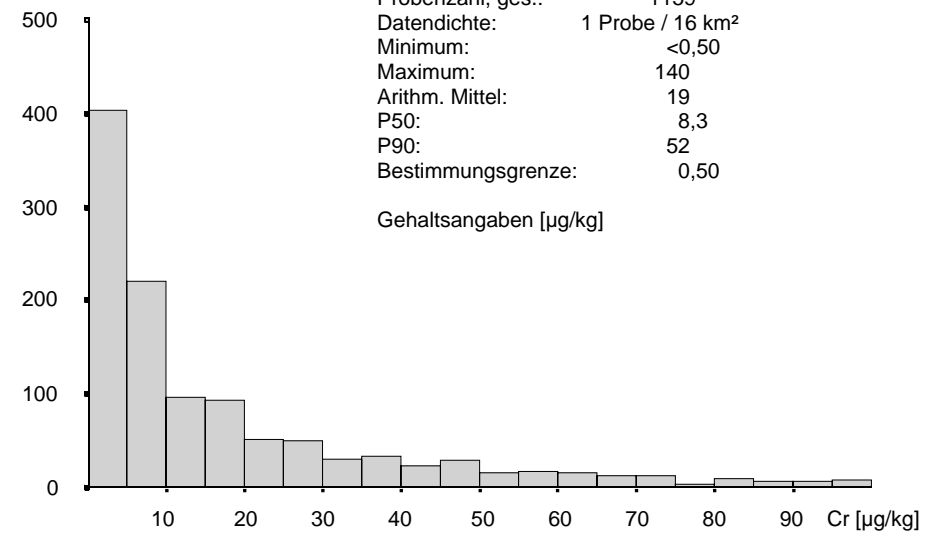
Ziffern 1 bis 18: Nr. der Leitbodengesellschaften (s. Abb. 3-2)

Totalgehalte in Trockenmasse

Cr_{mob}

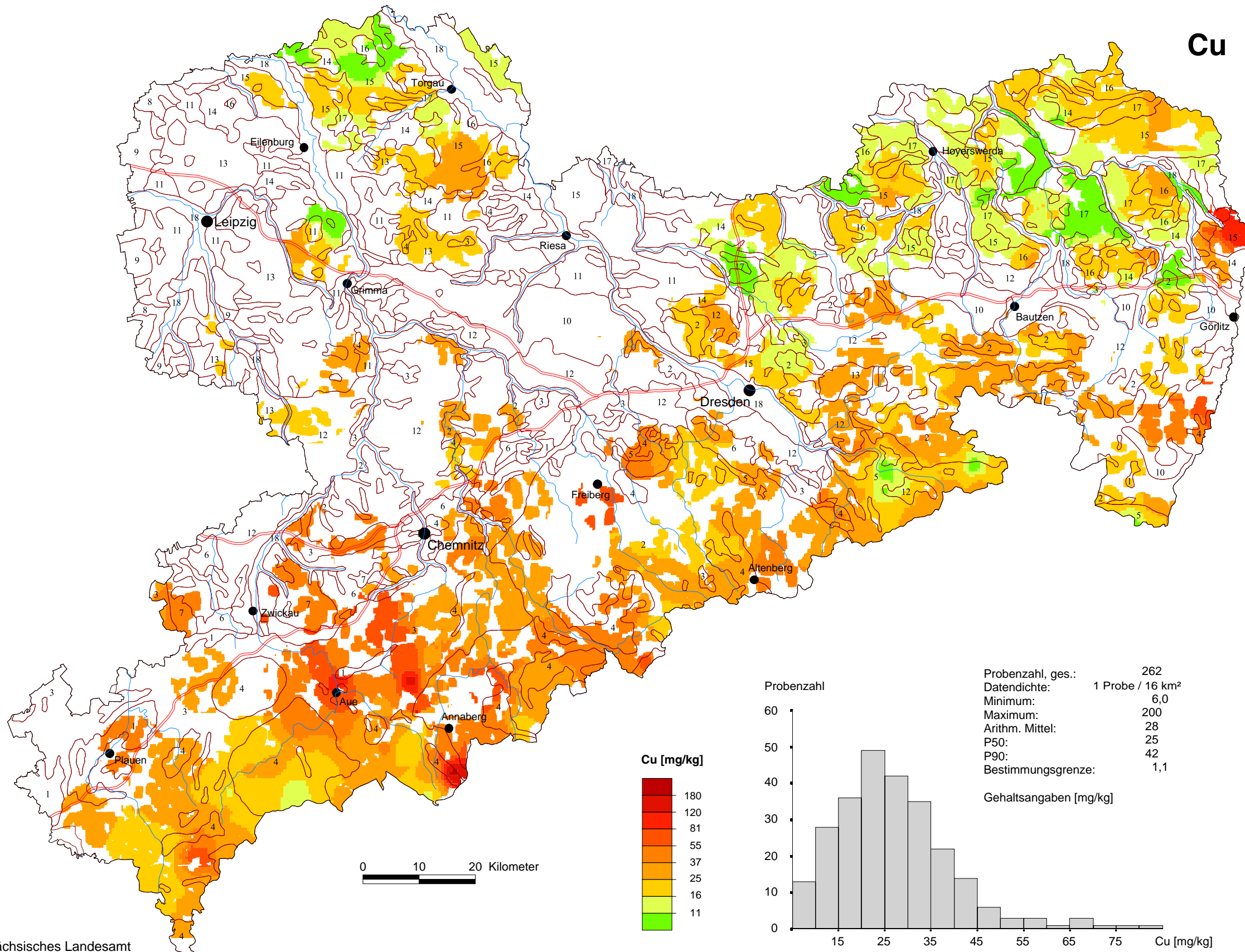


Probenzahl

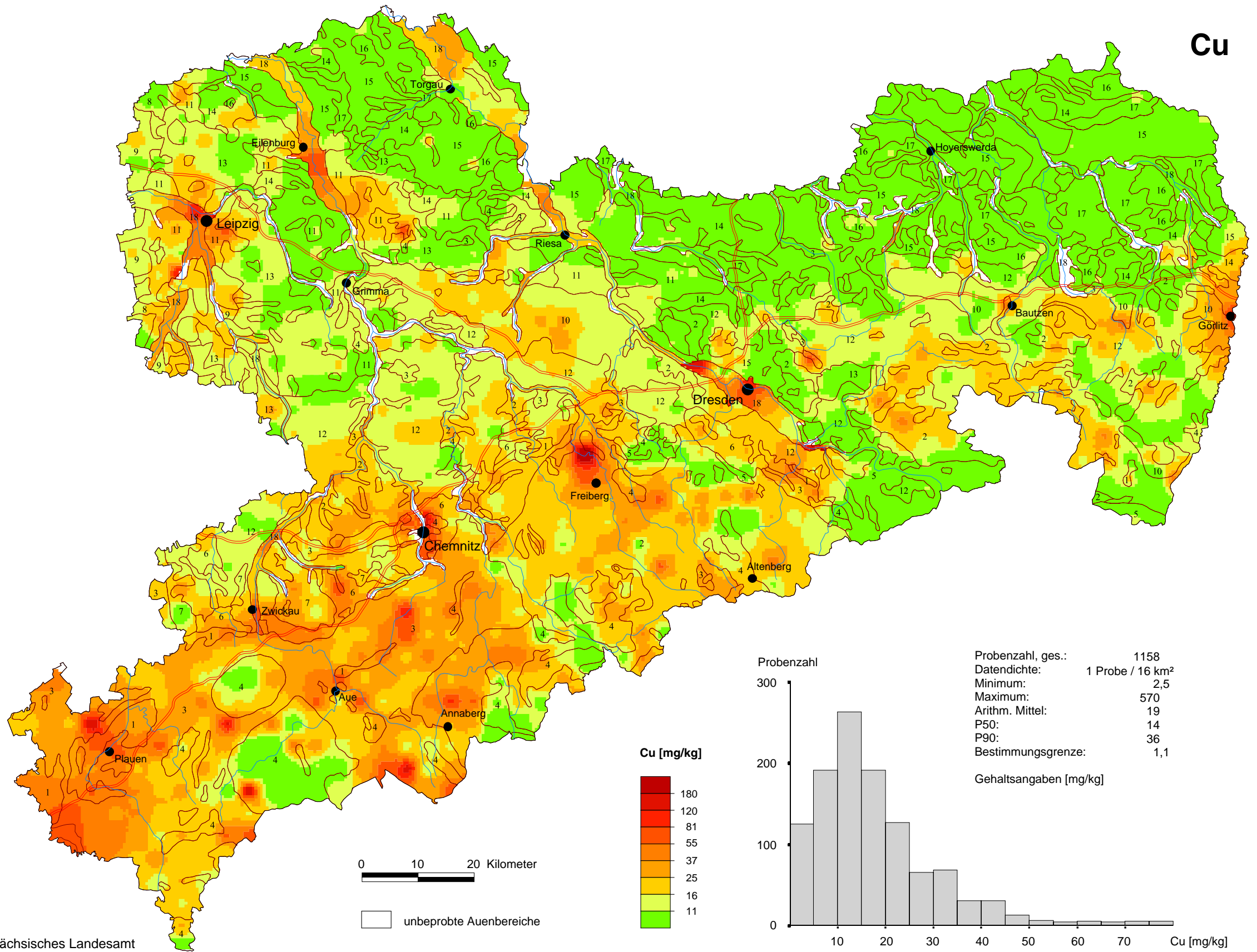


Probenzahl, ges.: 1159
Datendichte: 1 Probe / 16 km²
Minimum: <0,50
Maximum: 140
Arithm. Mittel: 19
P50: 8,3
P90: 52
Bestimmungsgrenze: 0,50
Gehaltsangaben [µg/kg]

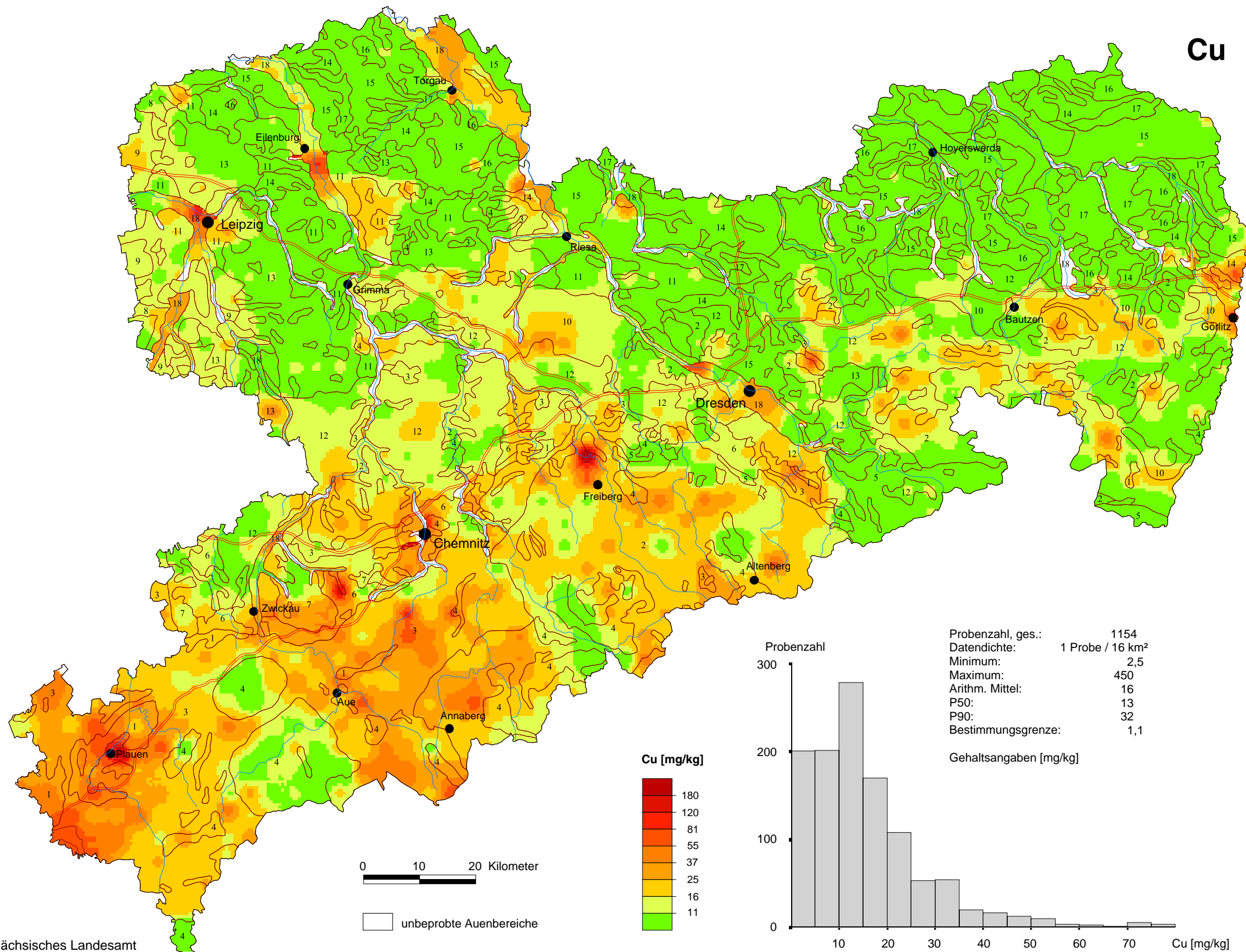
Cu



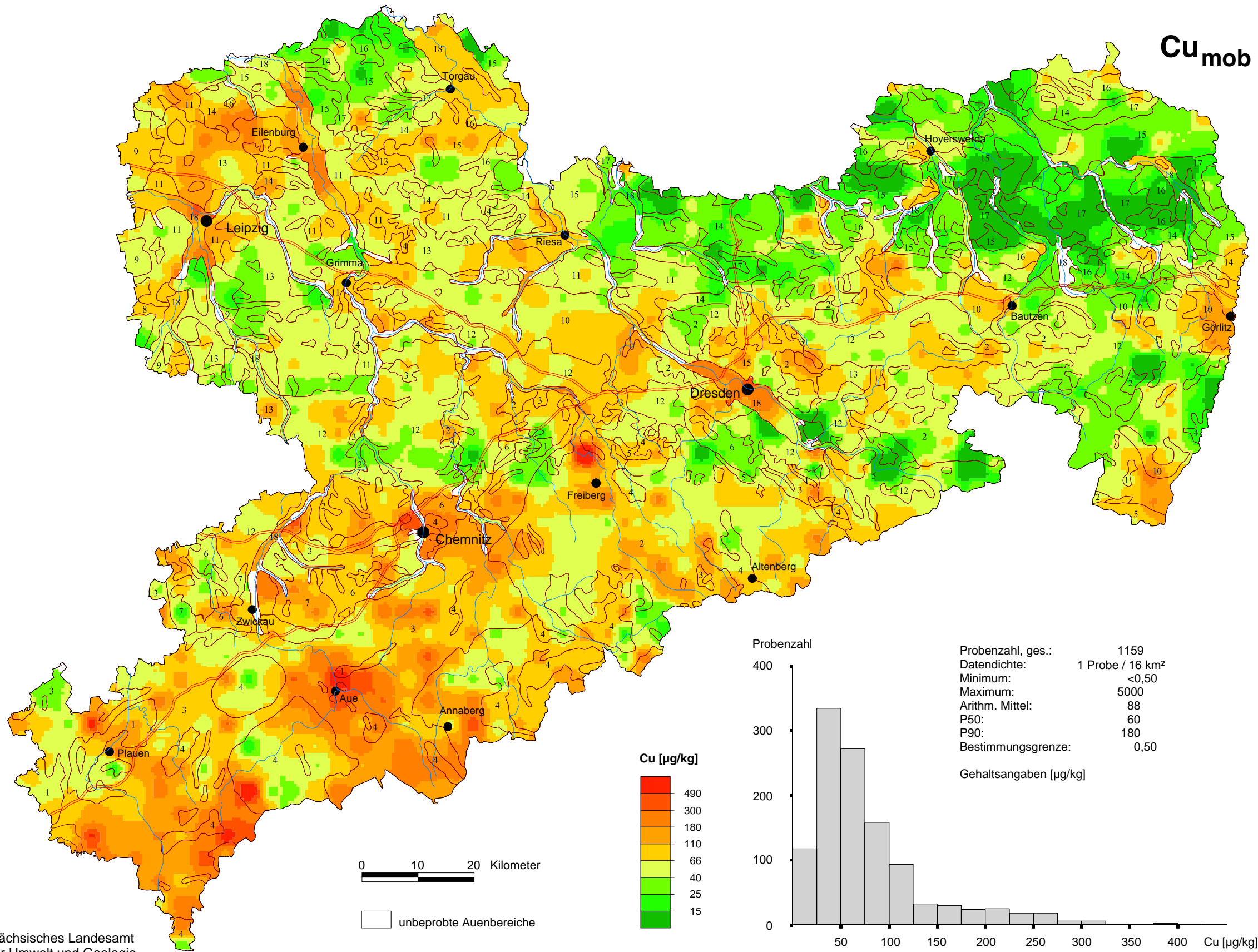
Cu



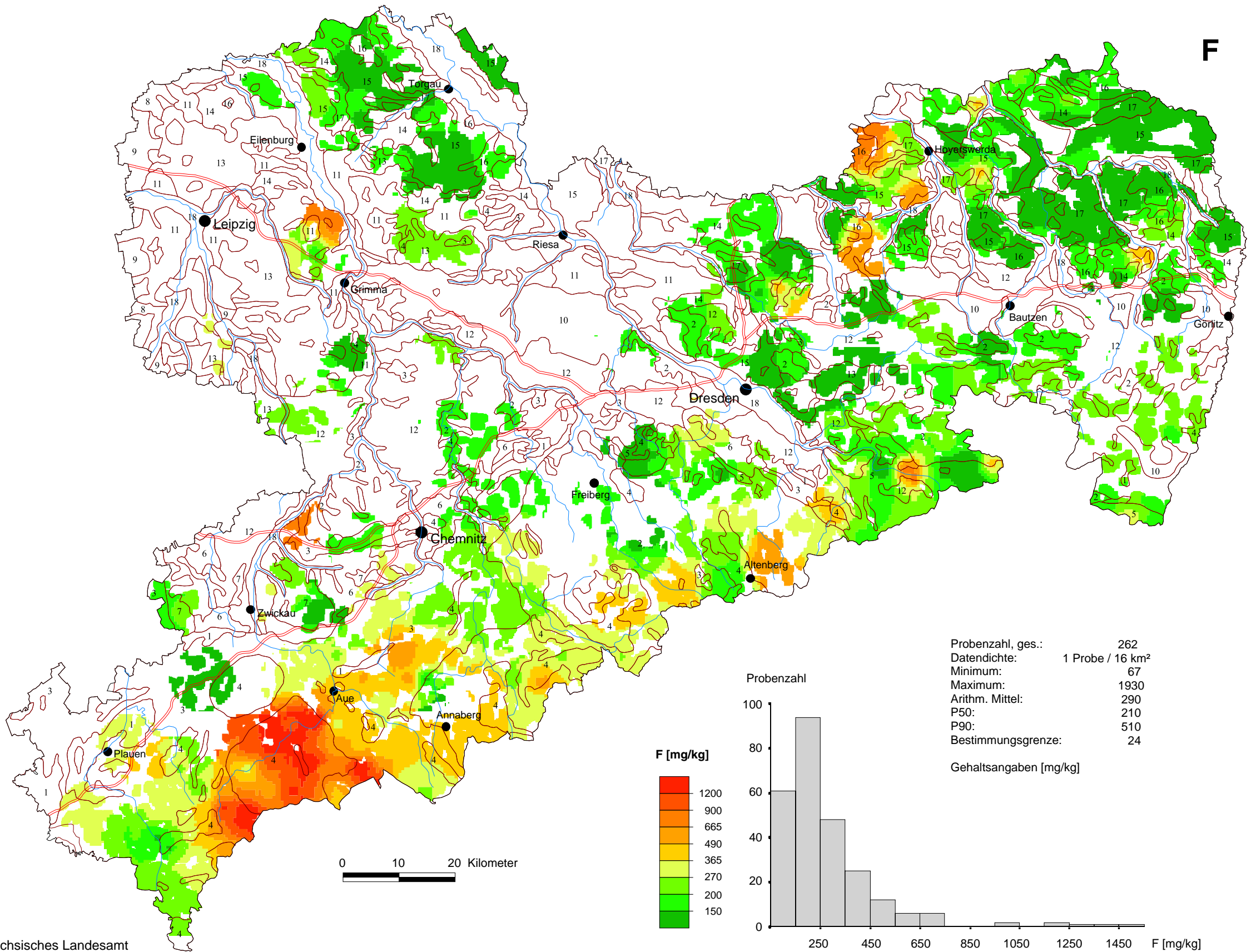
Cu



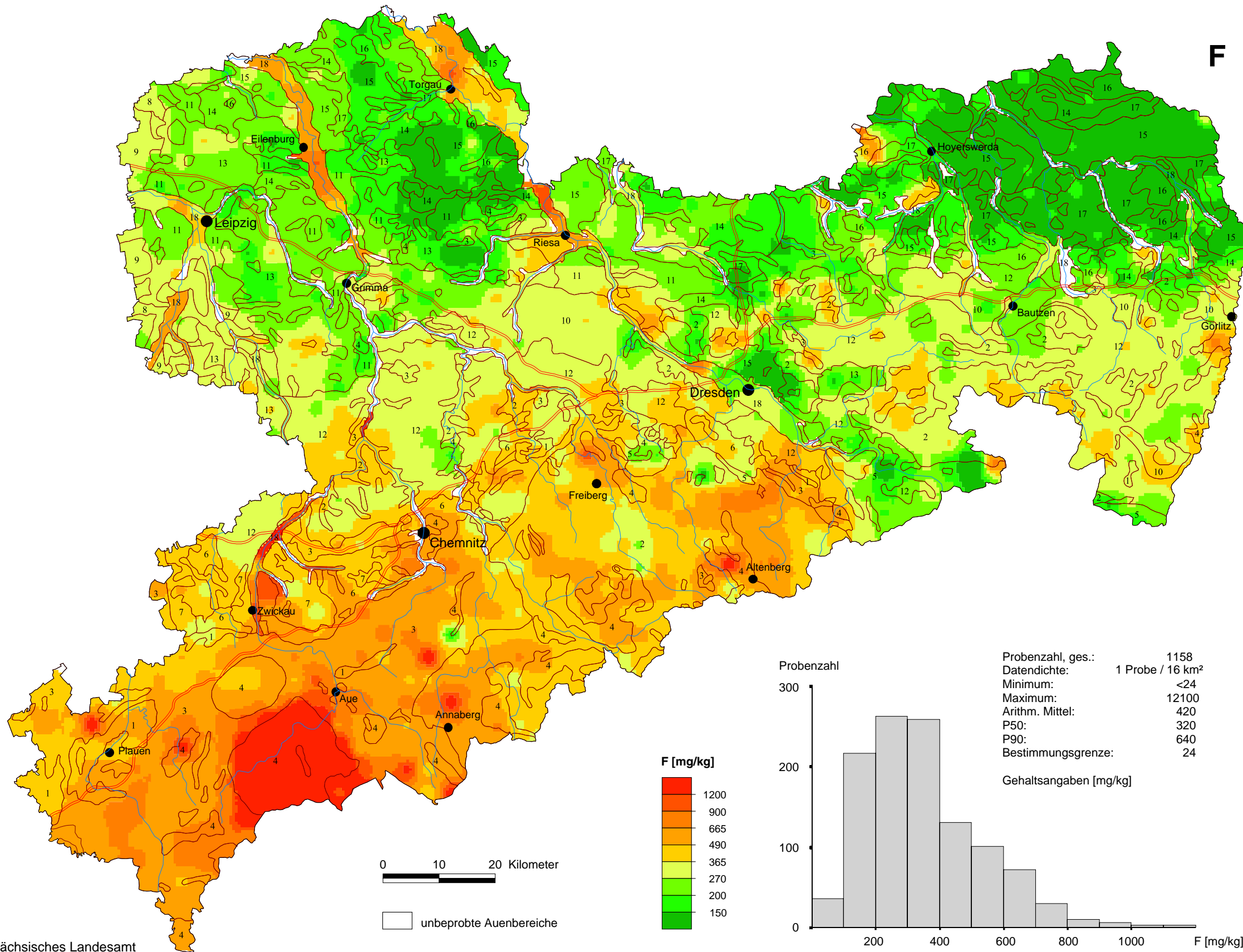
Cu_{mob}

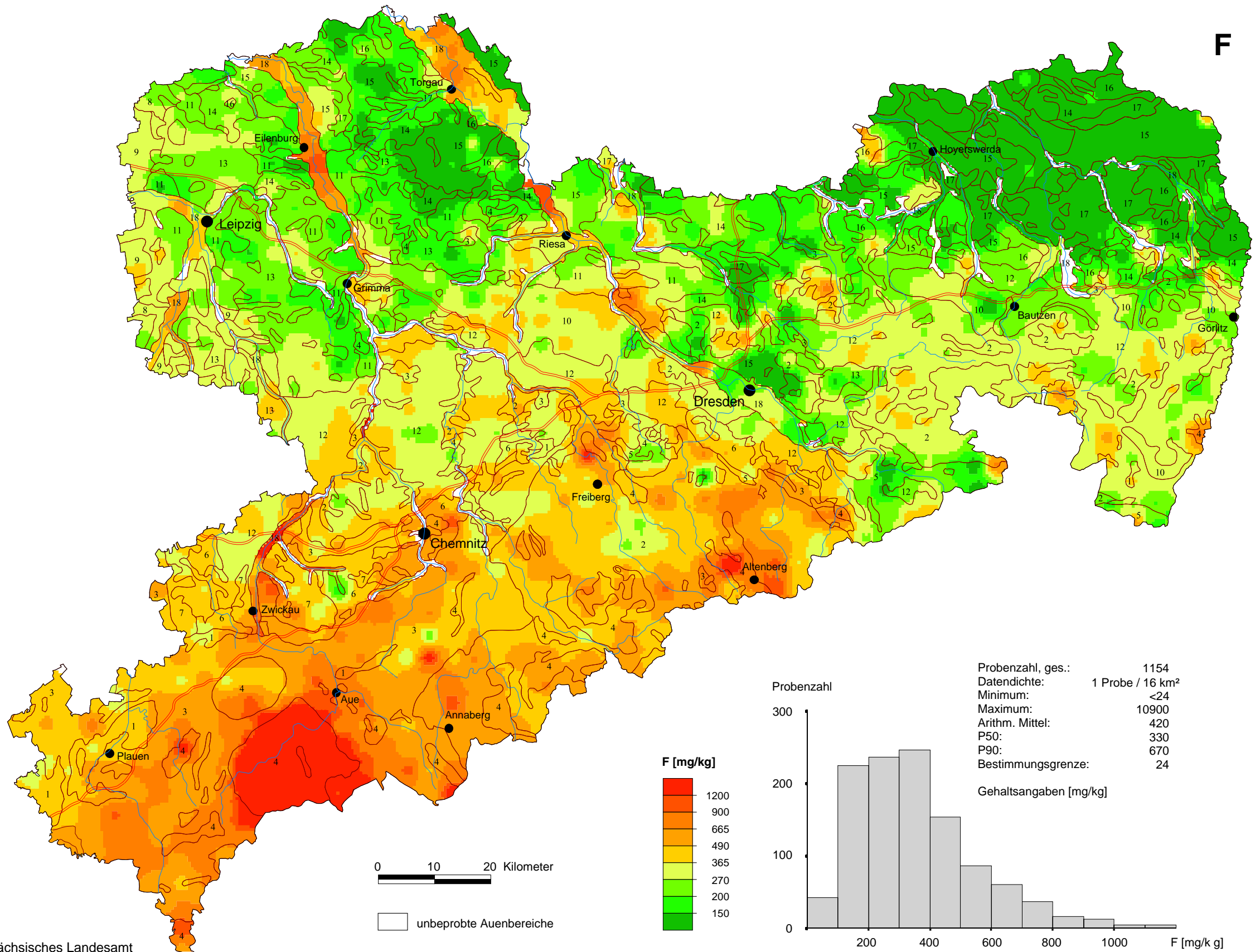


F

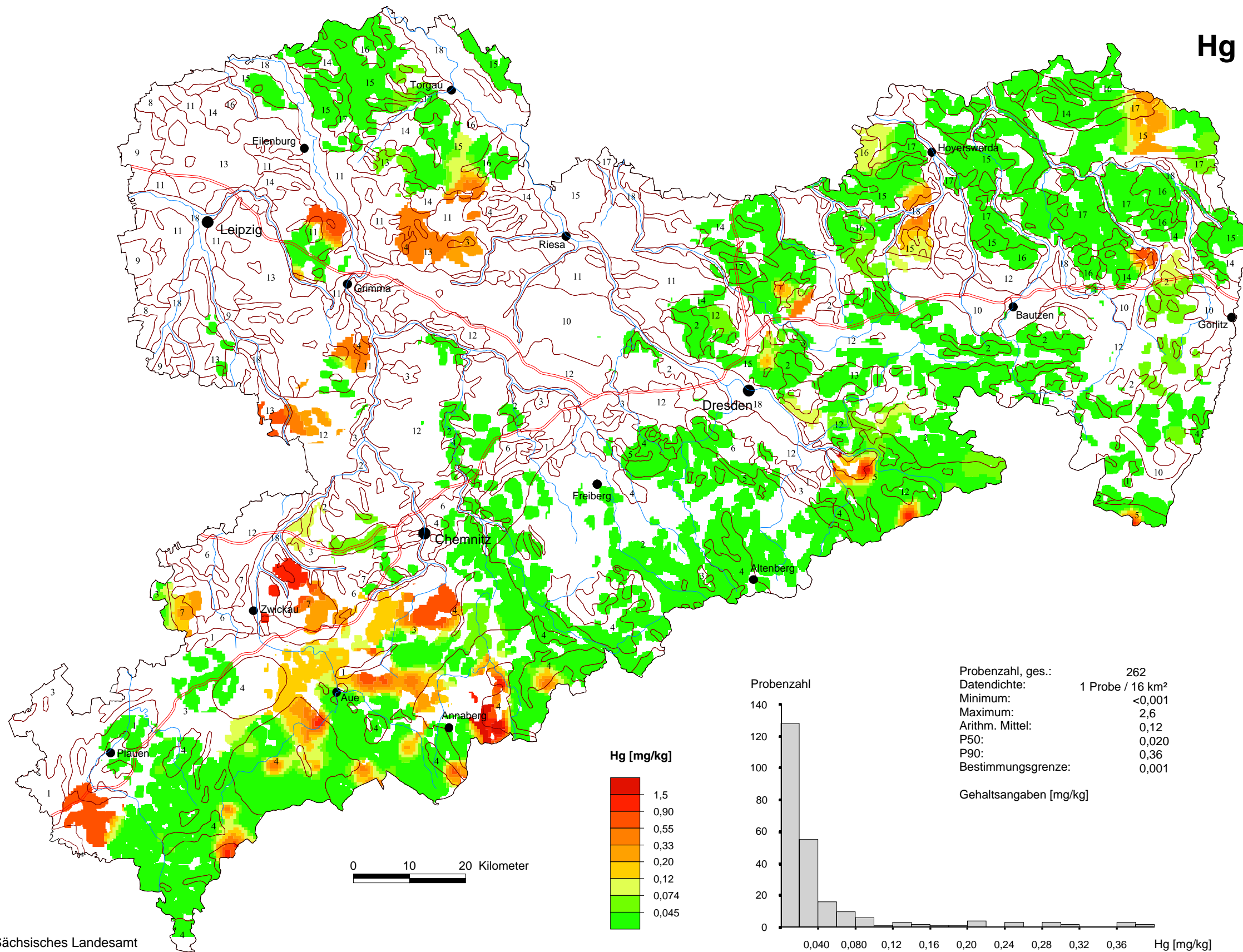


F

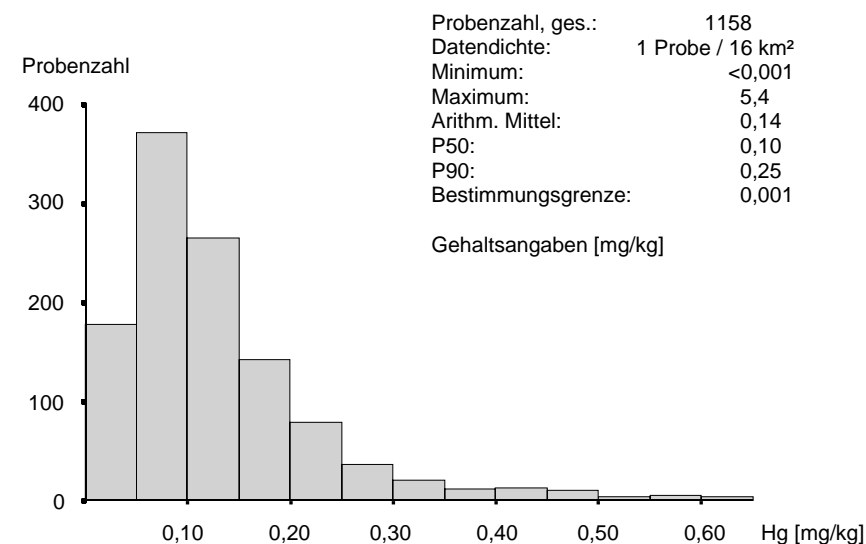
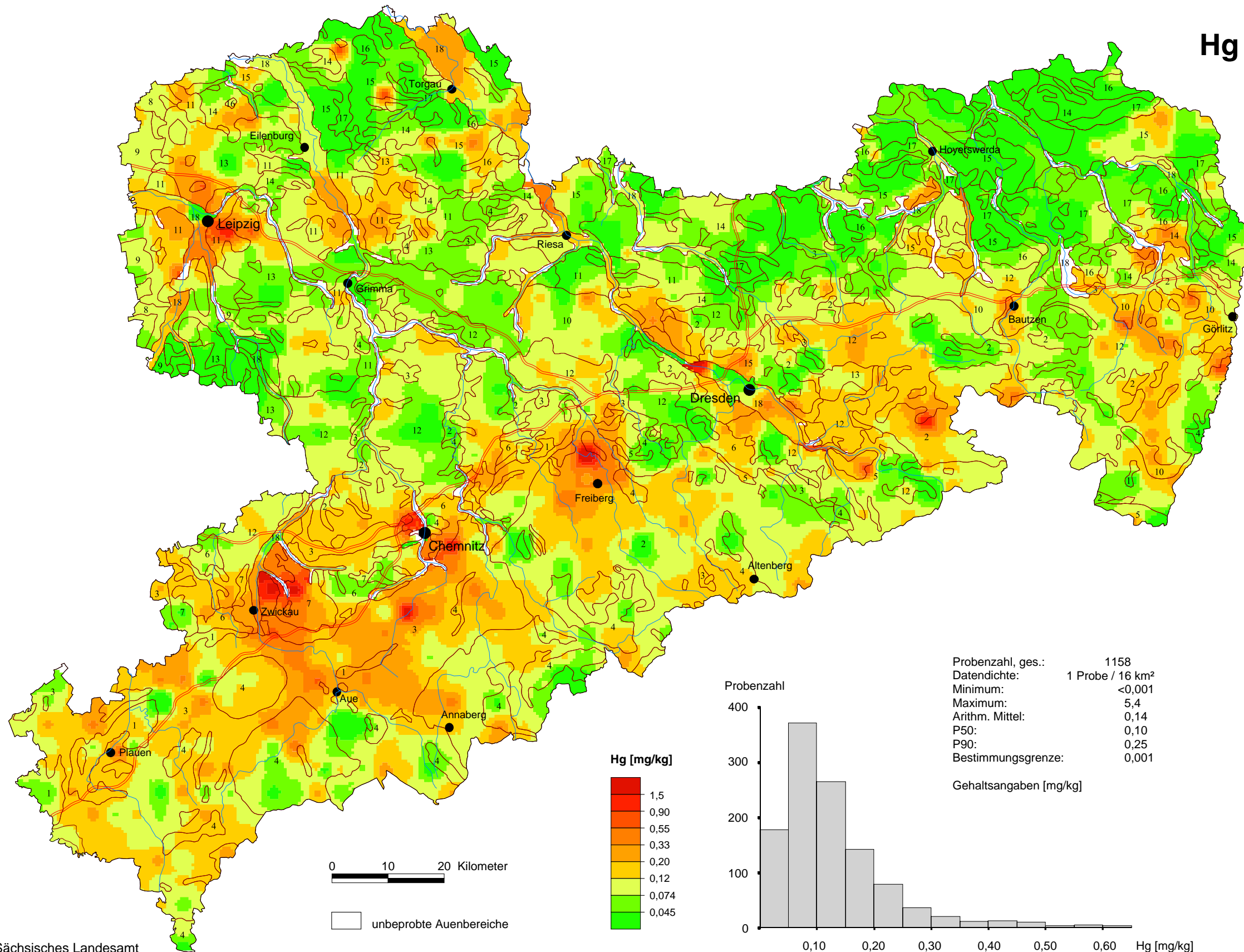




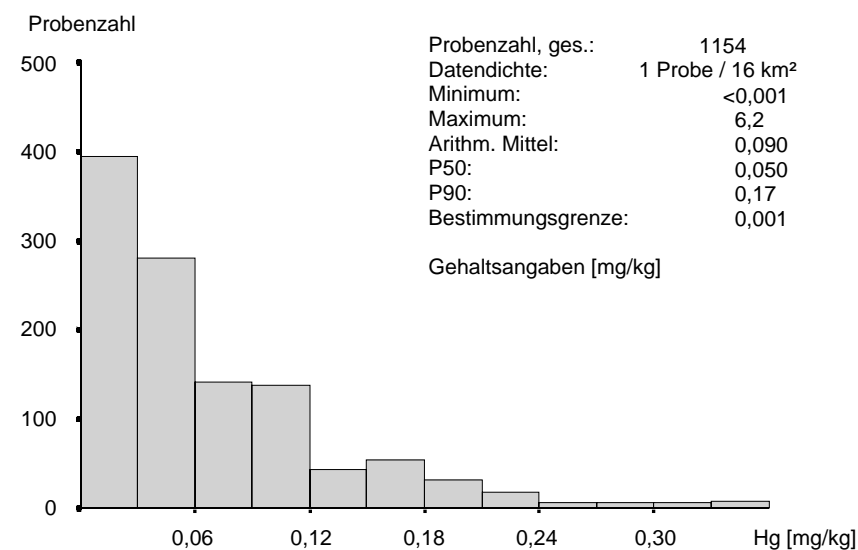
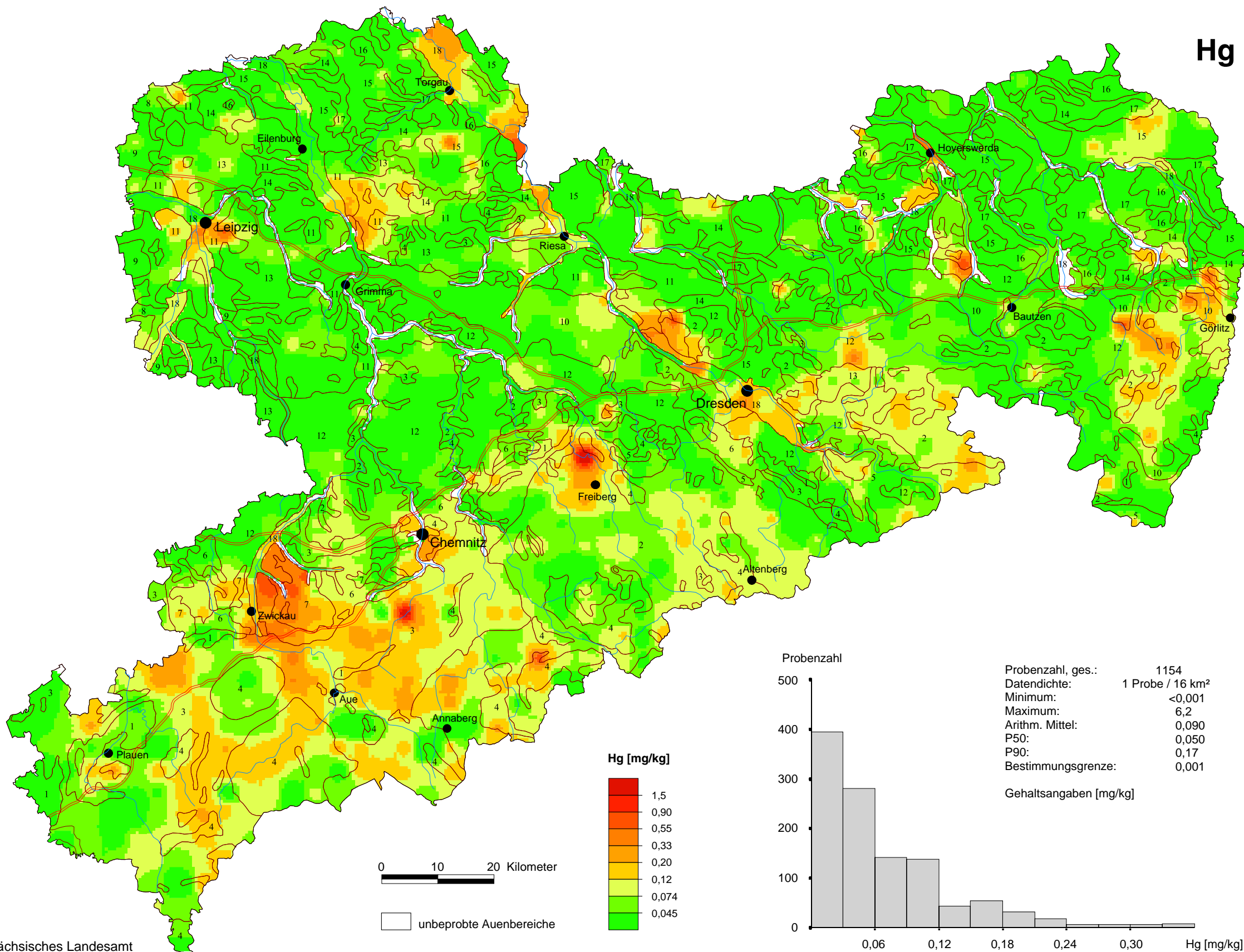
Hg



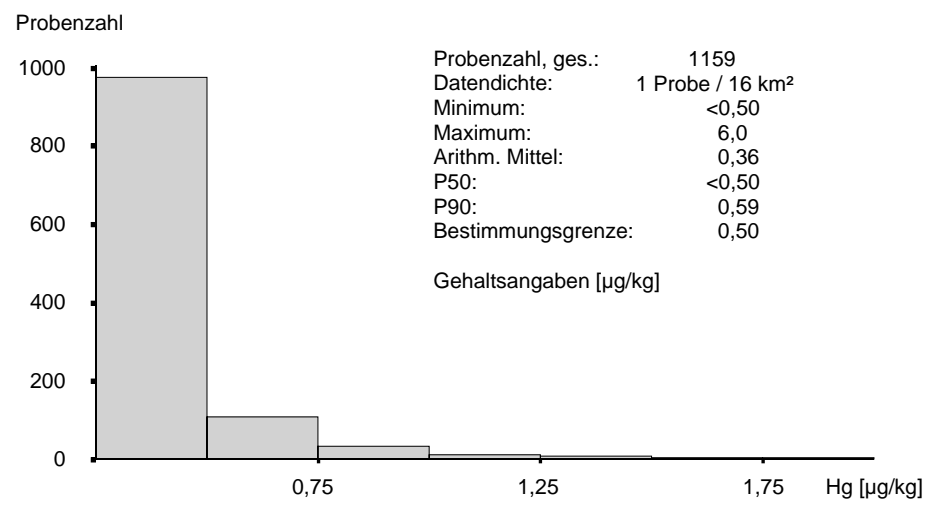
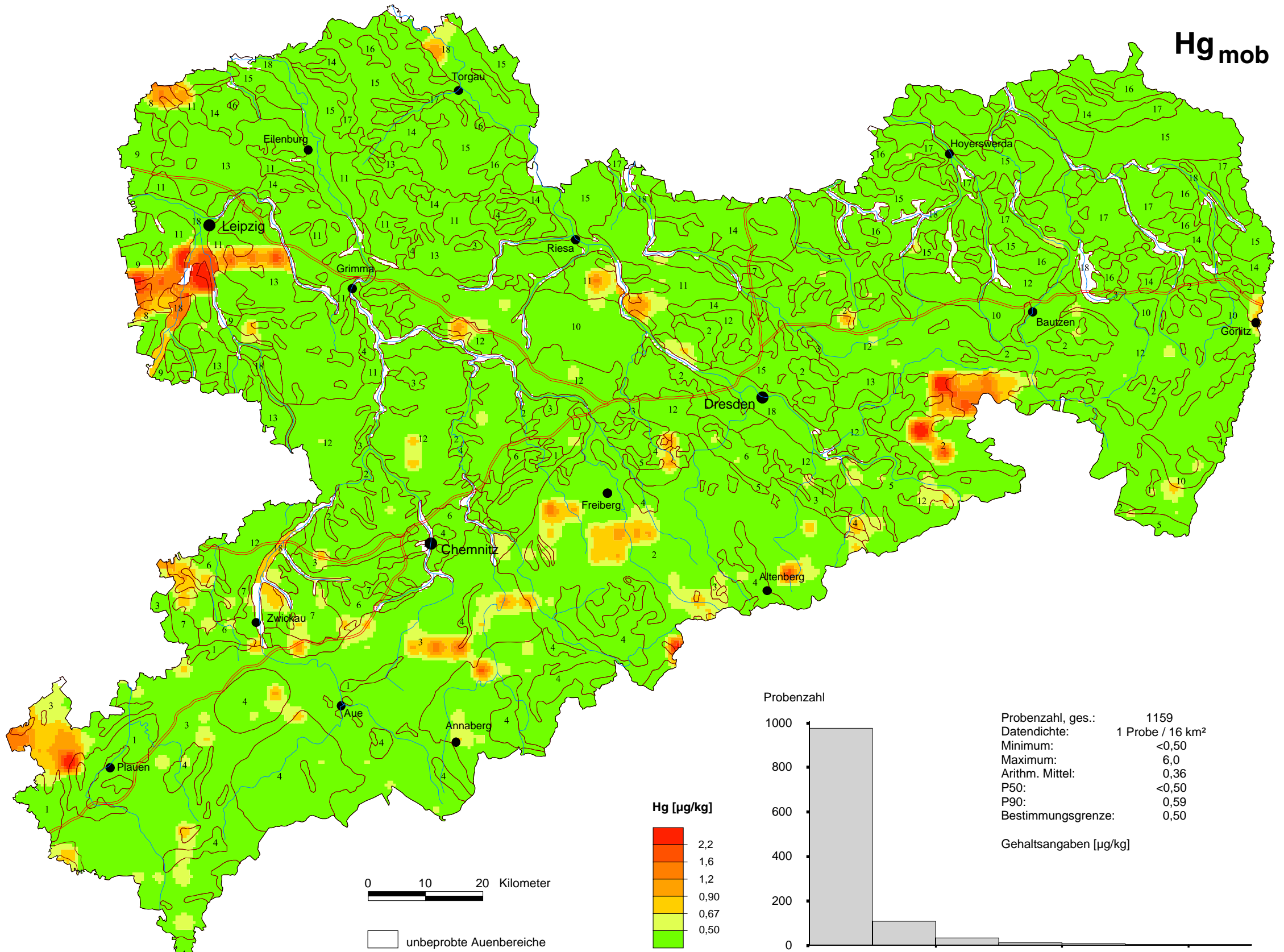
Hg



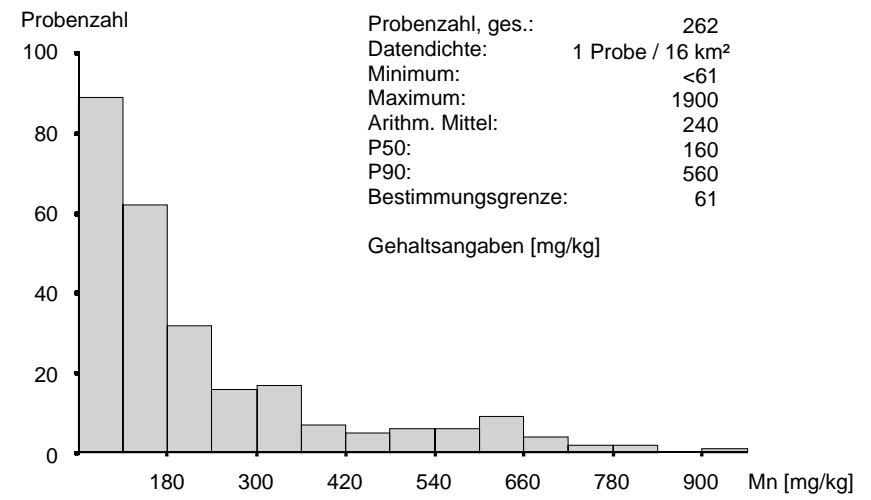
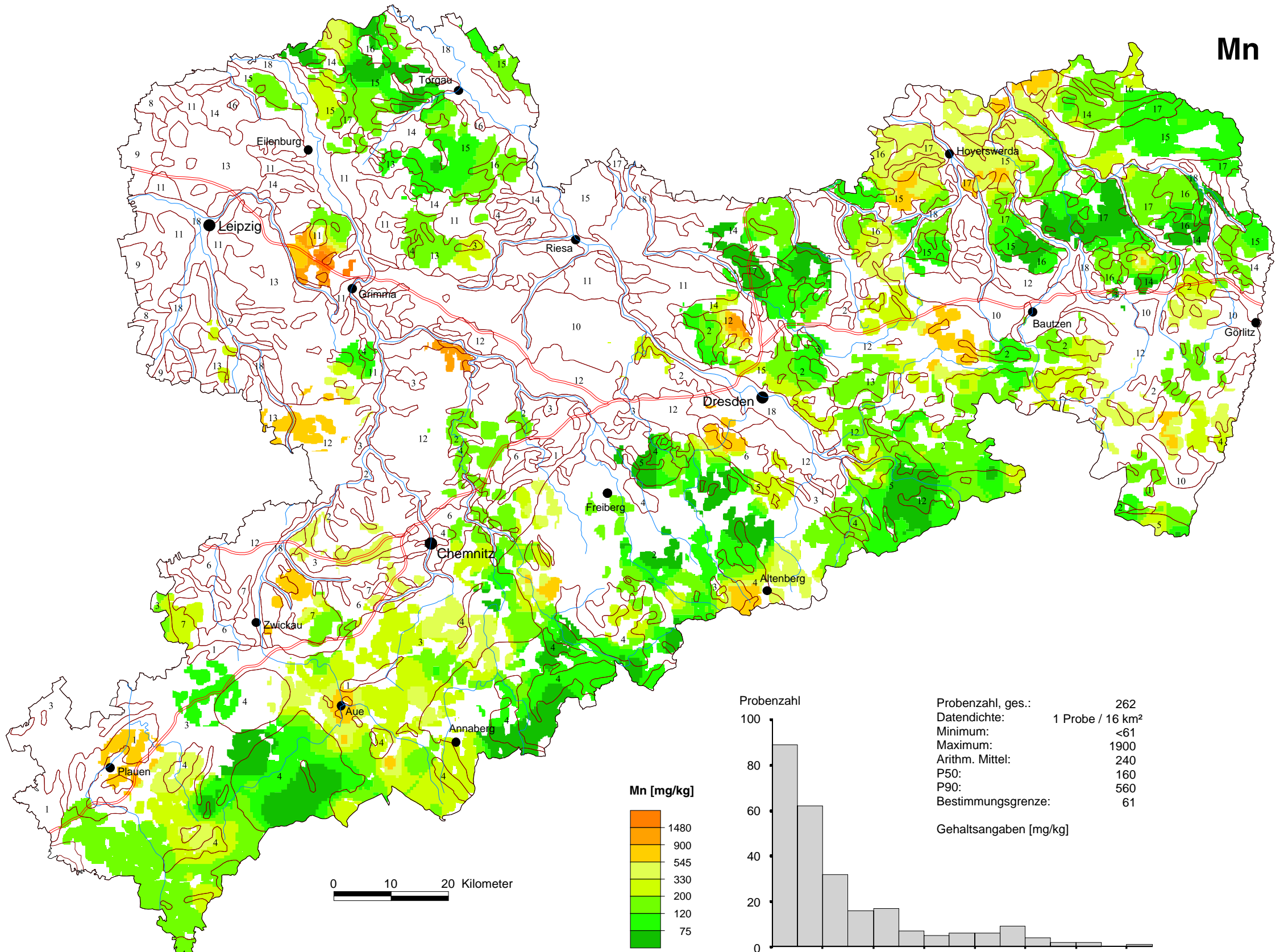
Hg



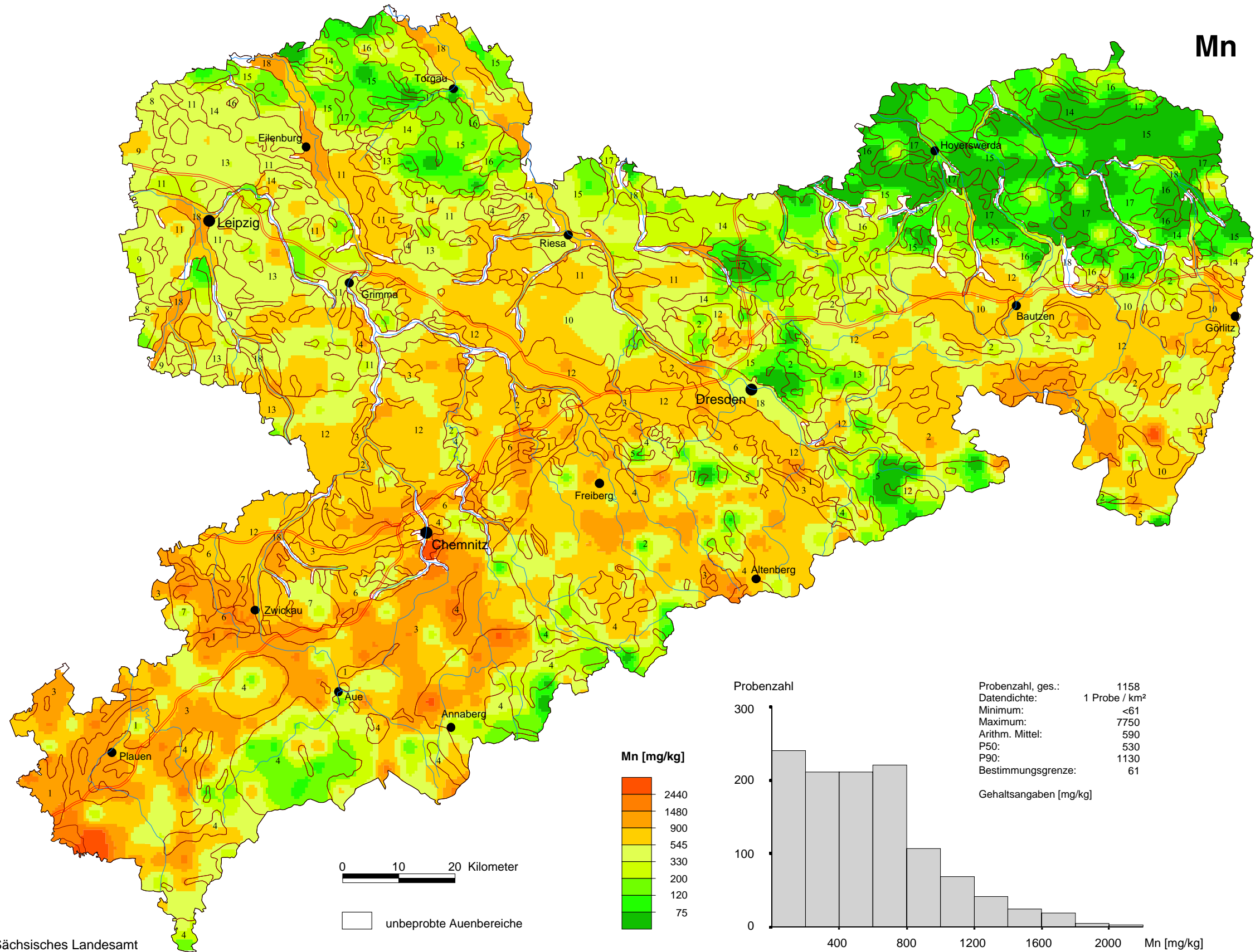
Hg_{mob}



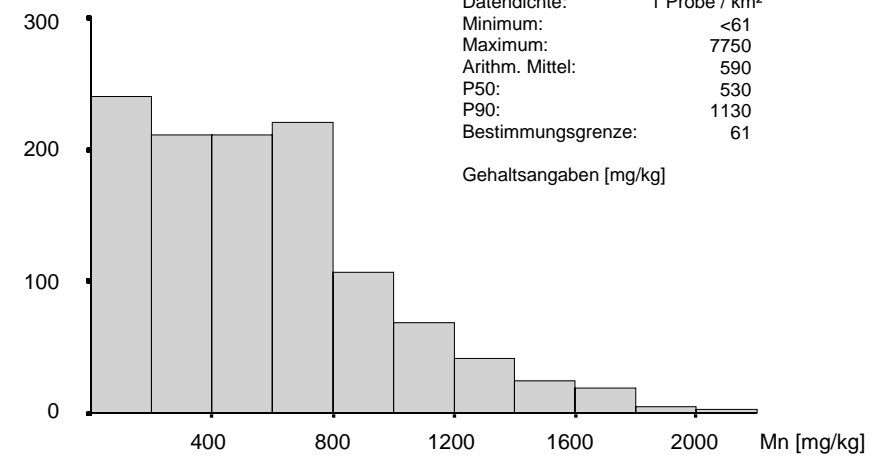
Mn



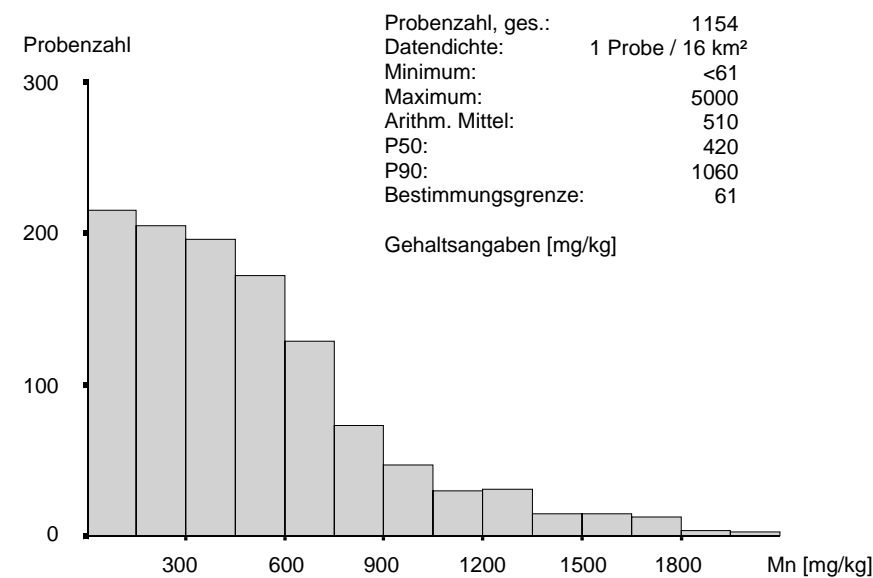
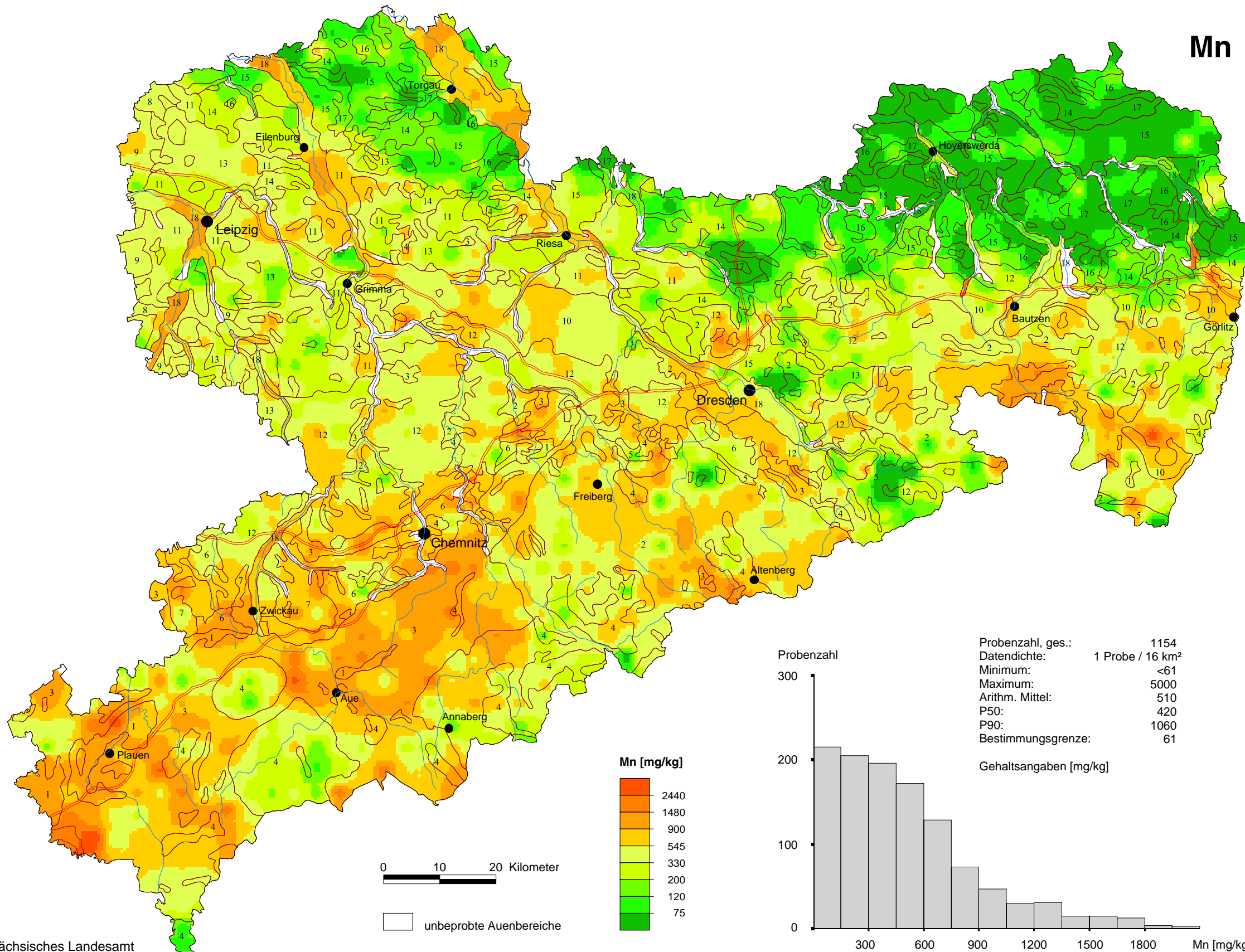
Mn



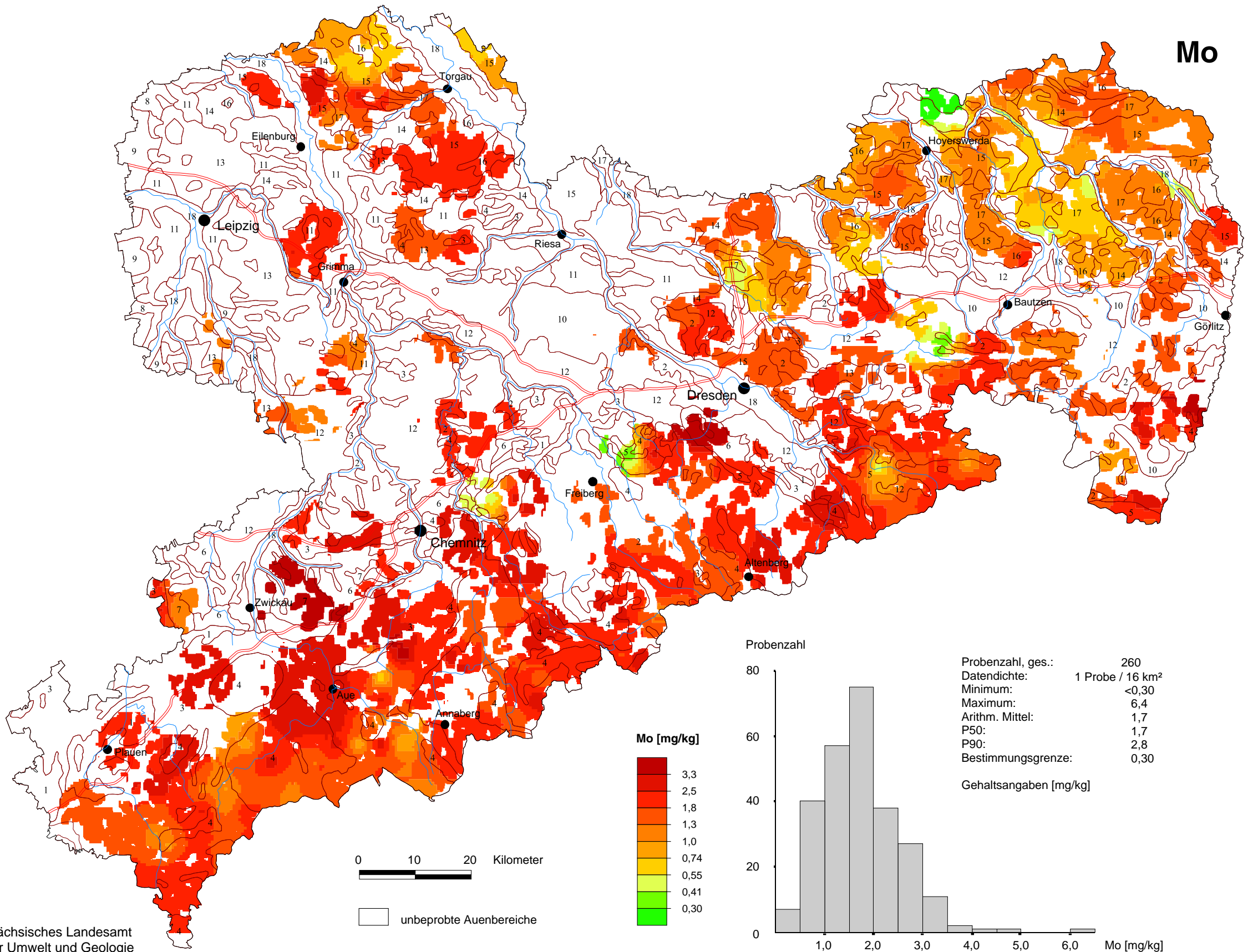
Probenzahl



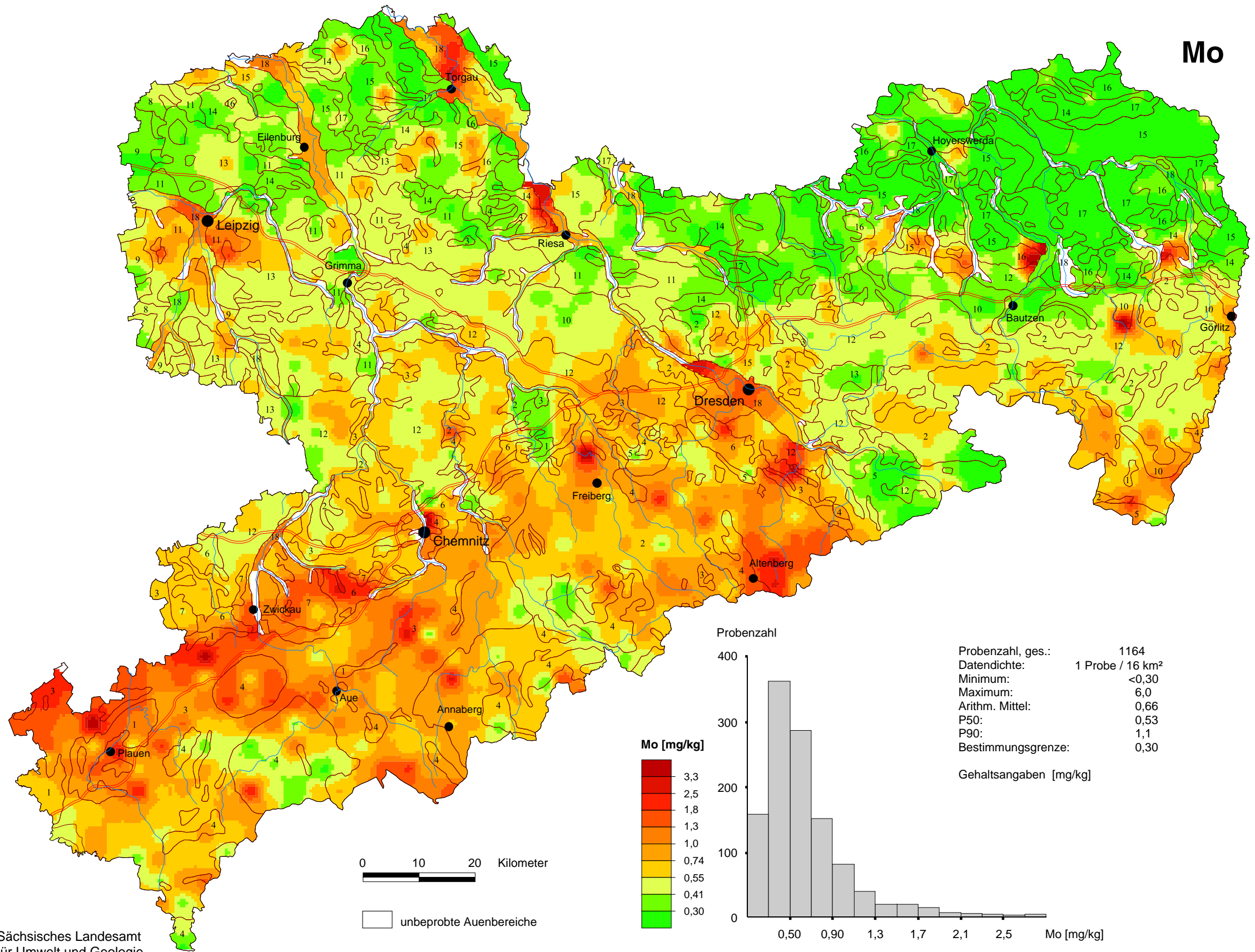
Mn



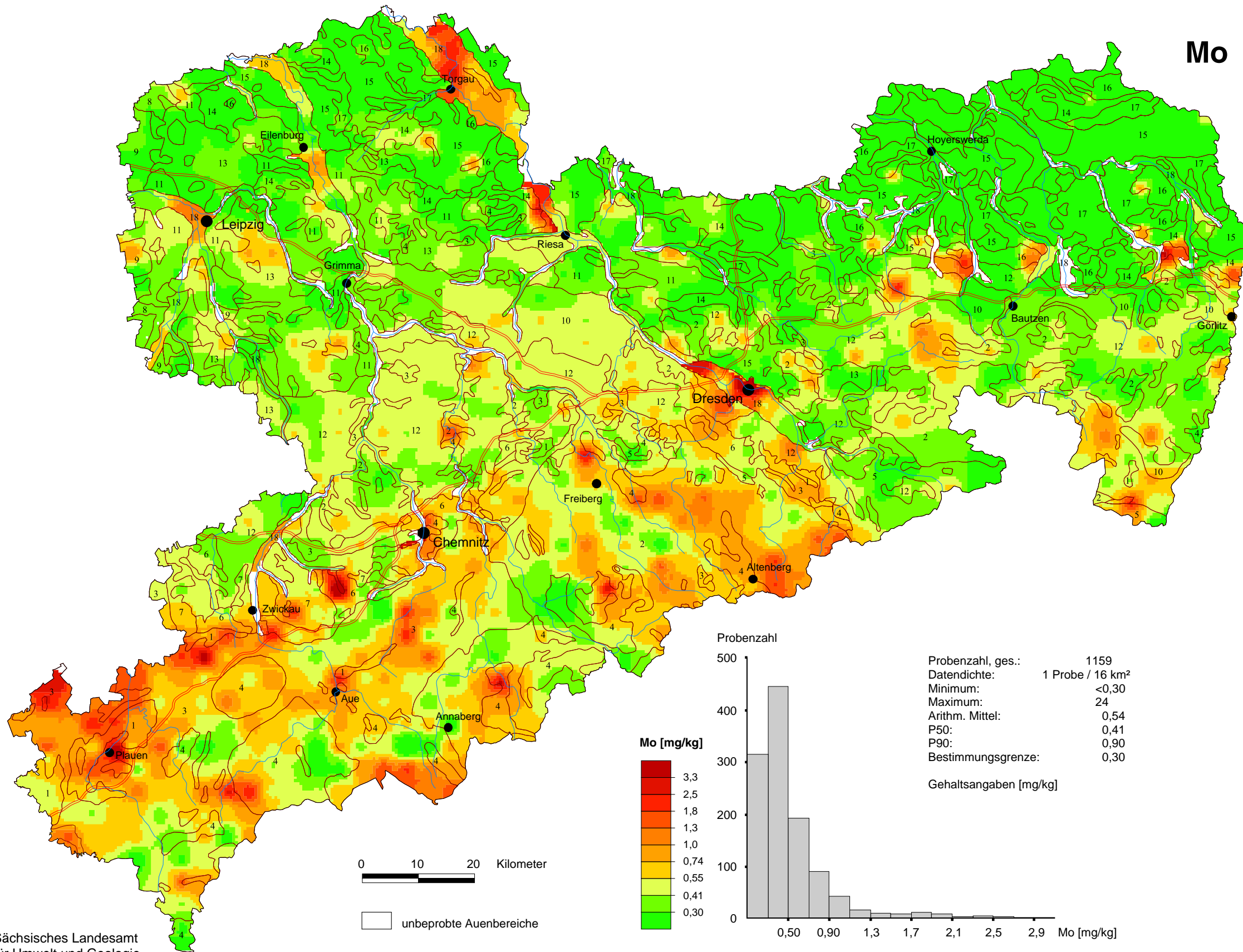
Mo

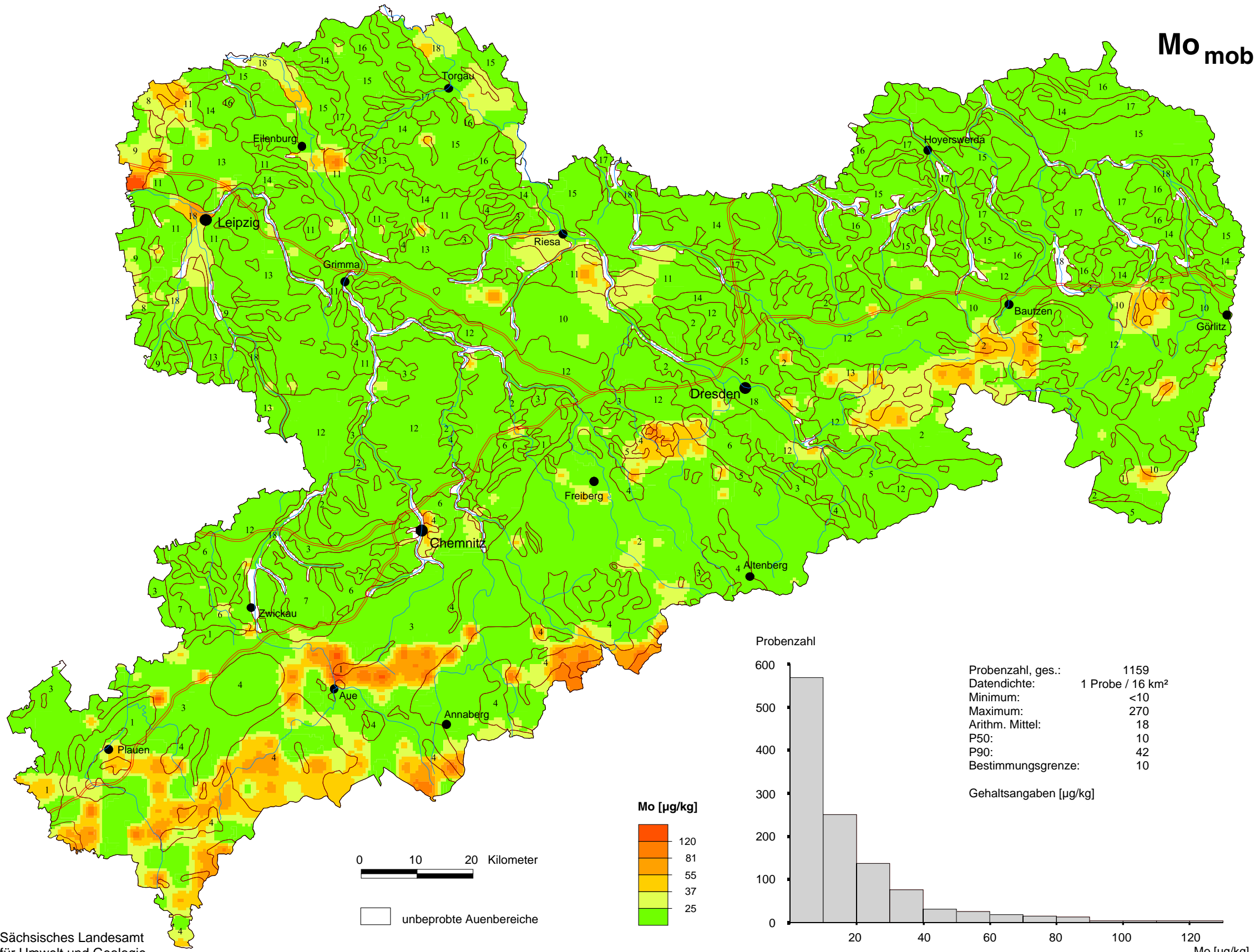


Mo

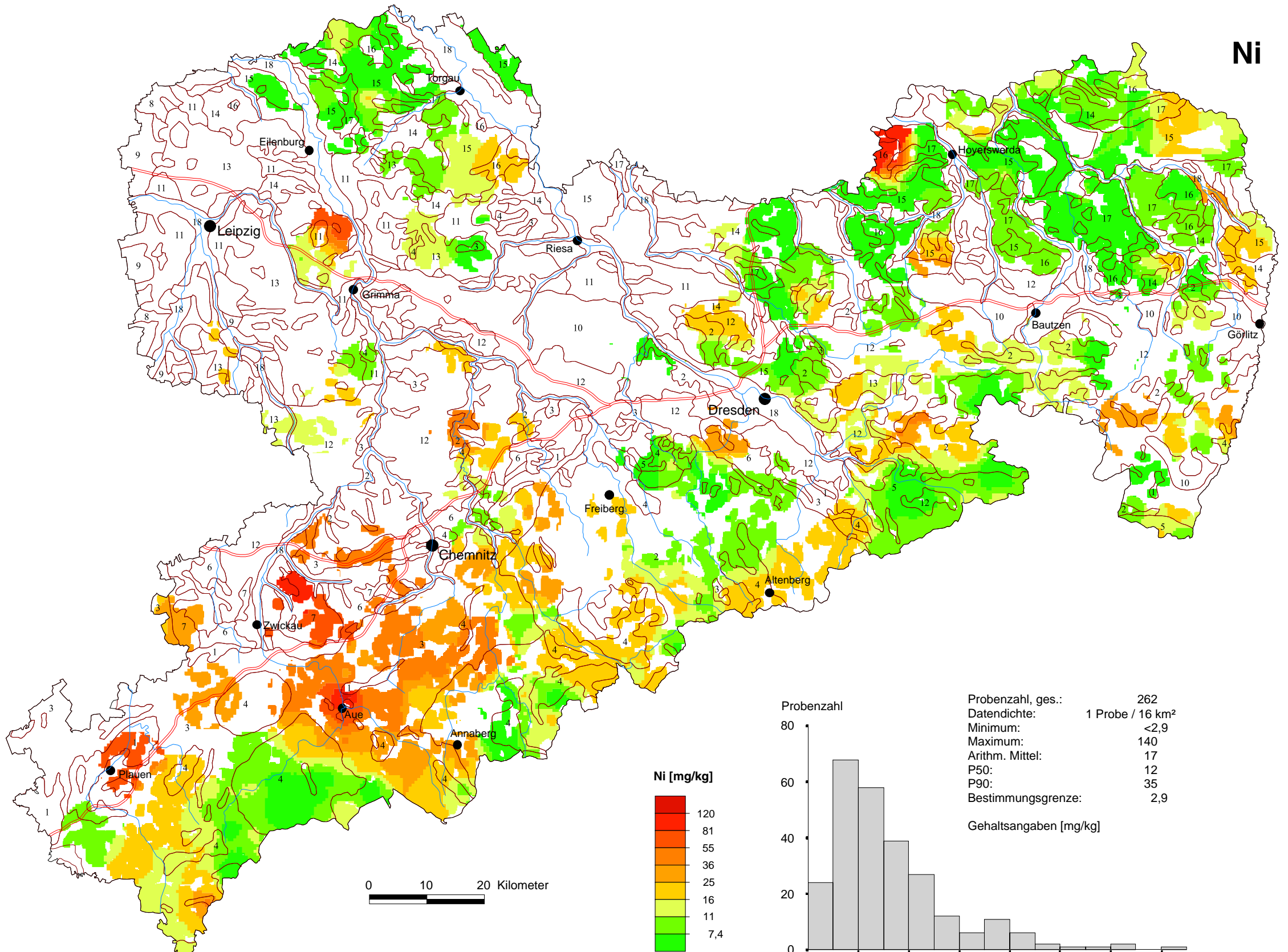


Mo

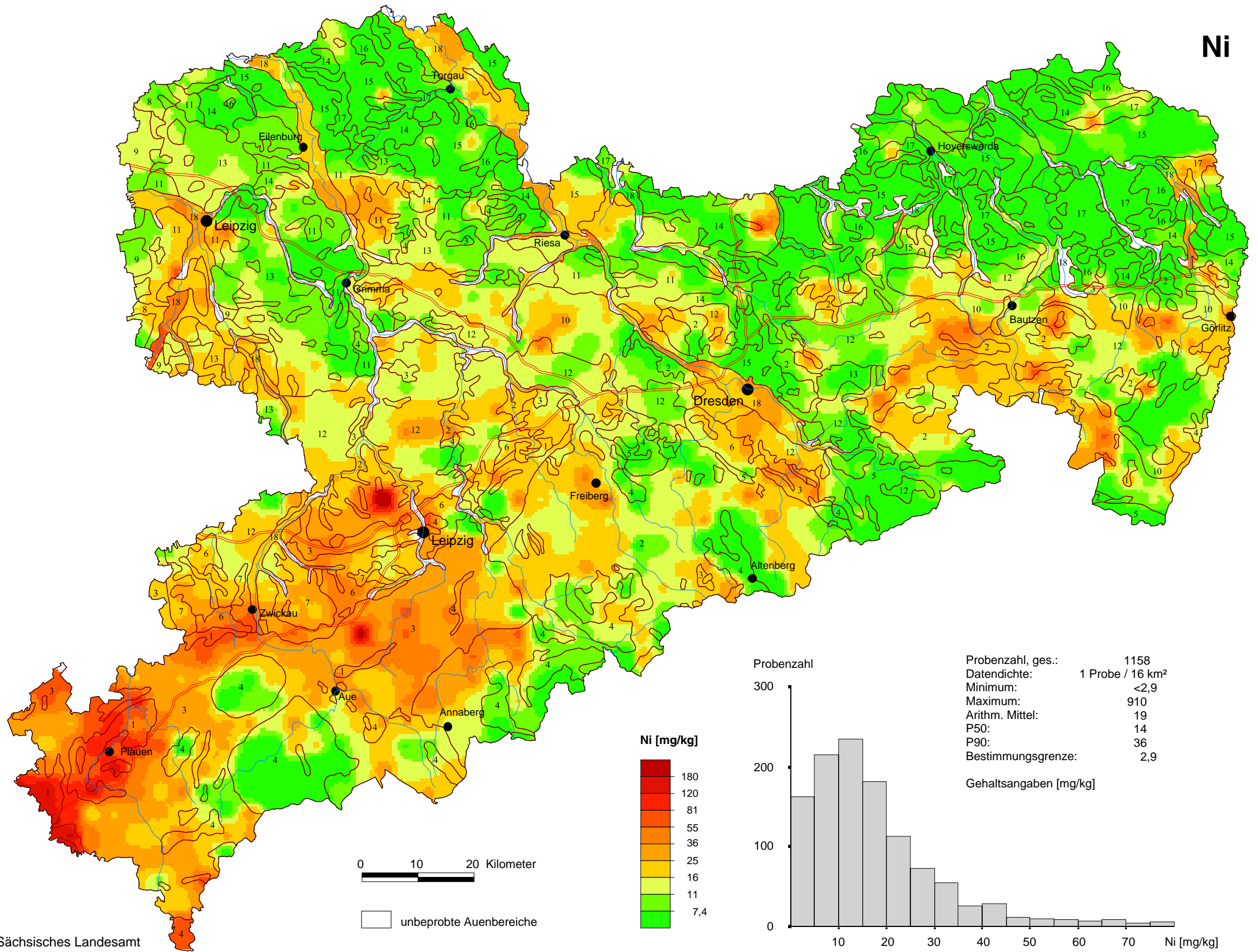




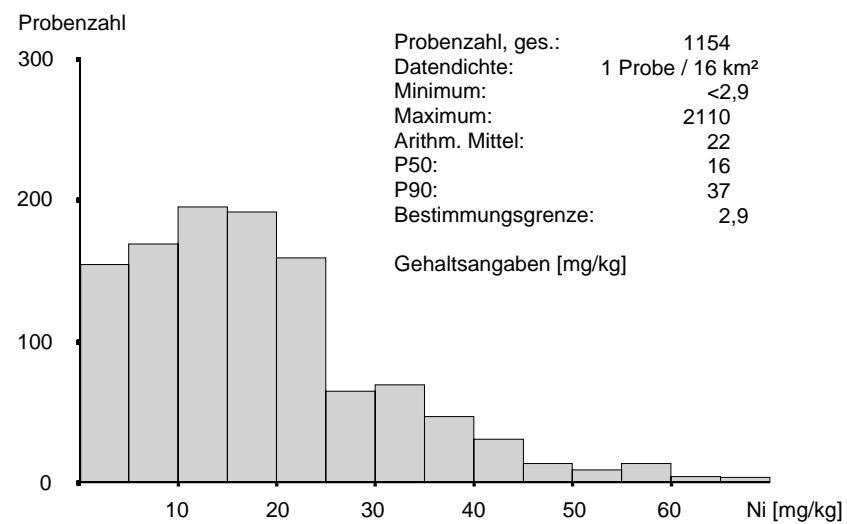
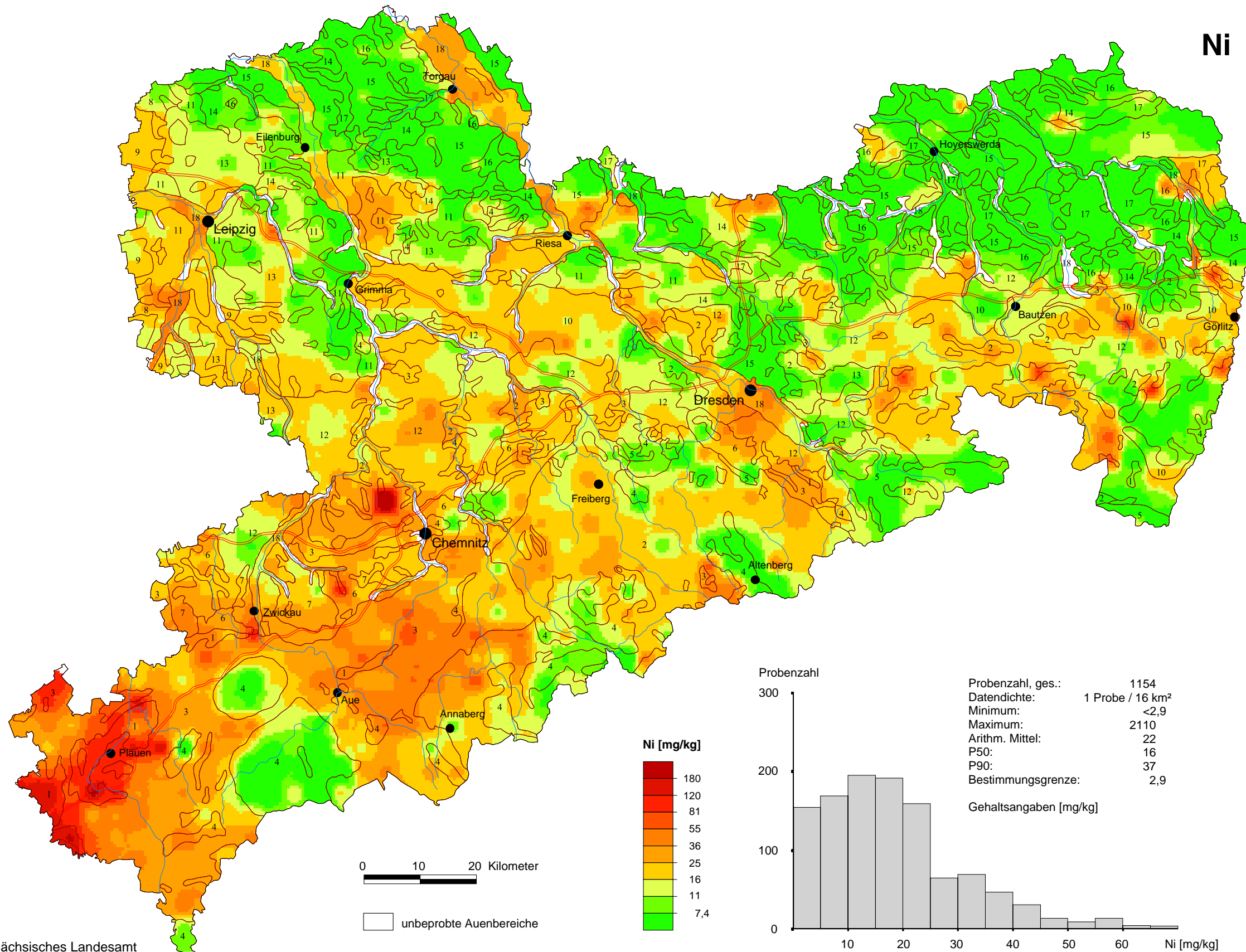
Ni



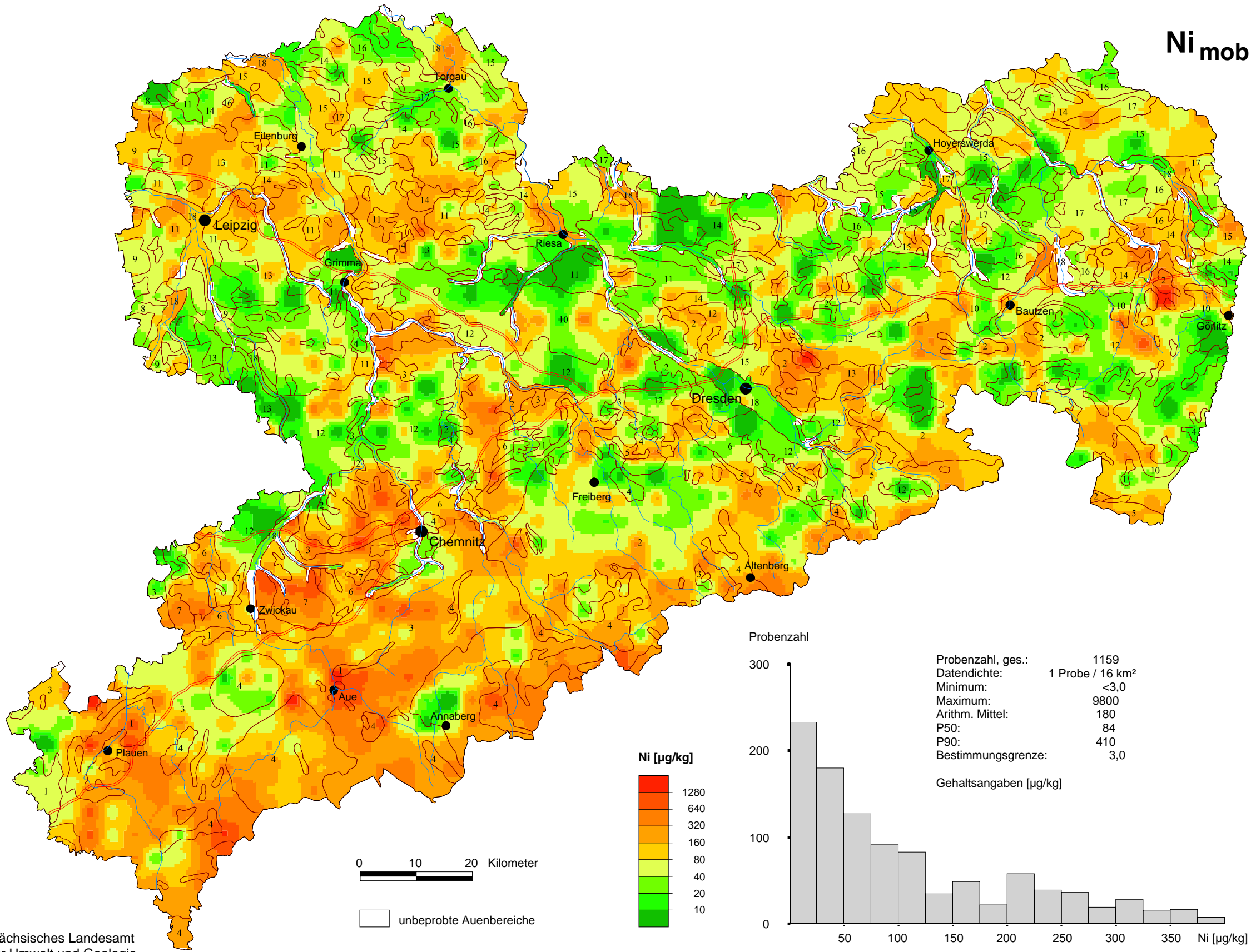
Ni



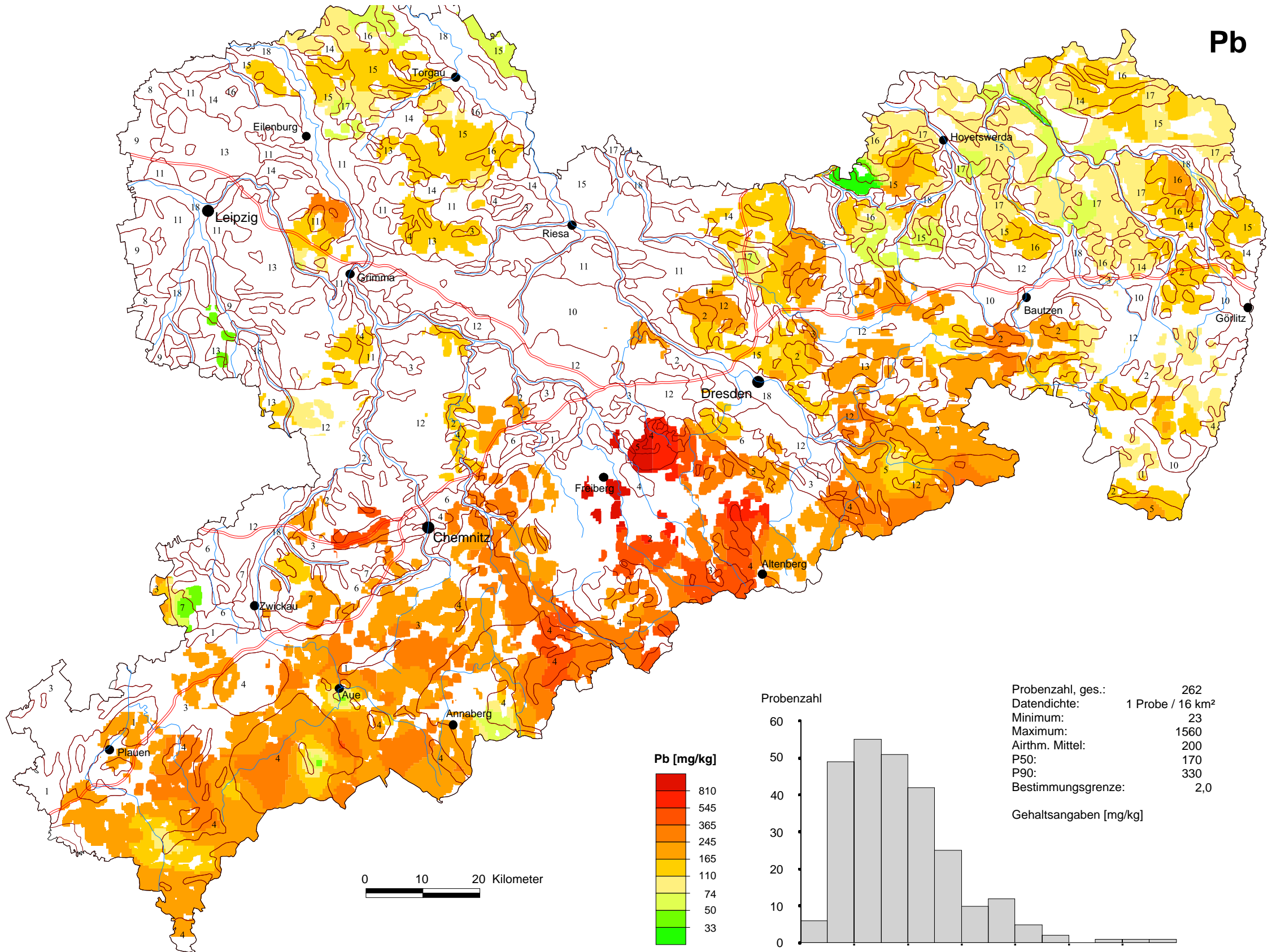
Ni



Ni_{mob}

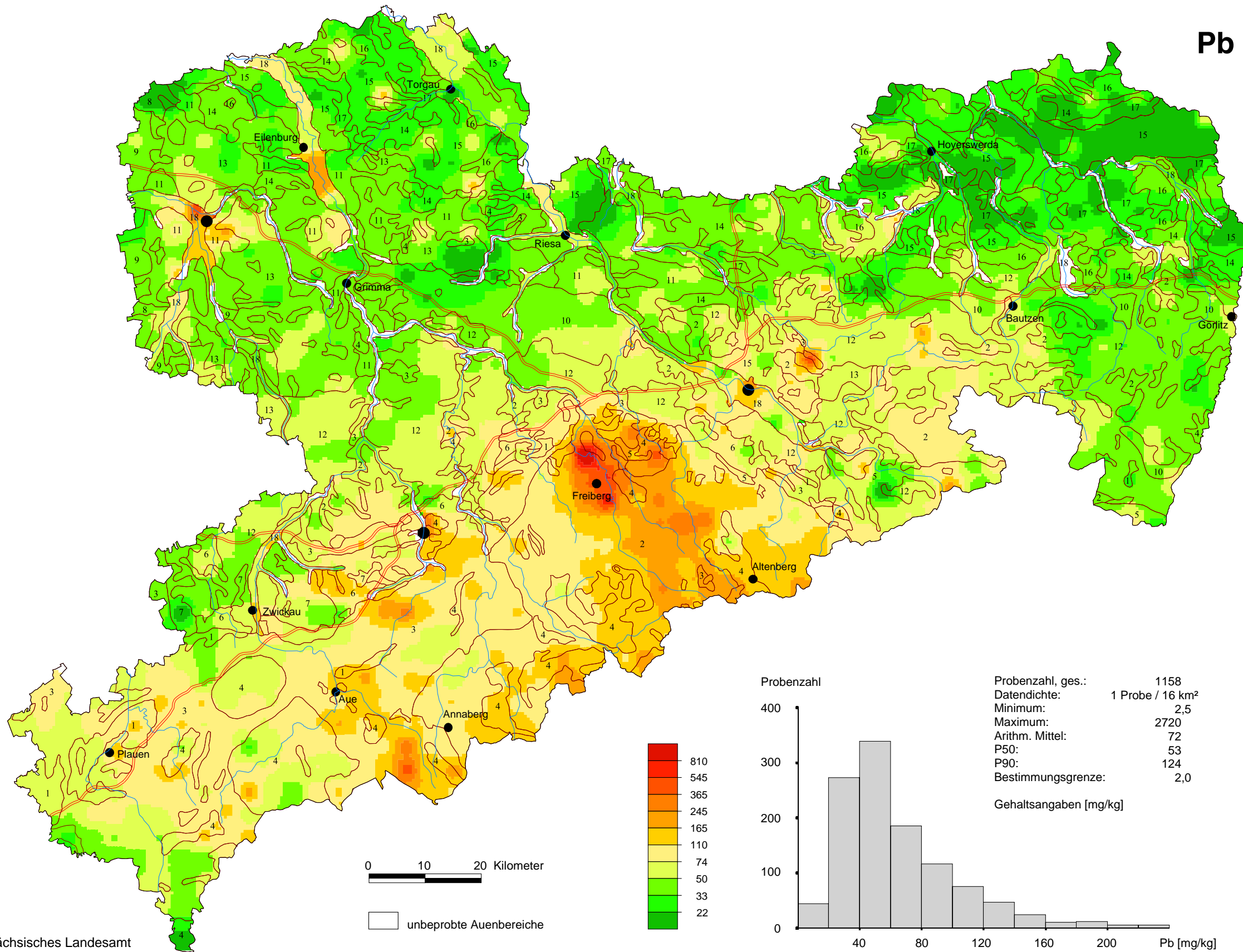


Pb

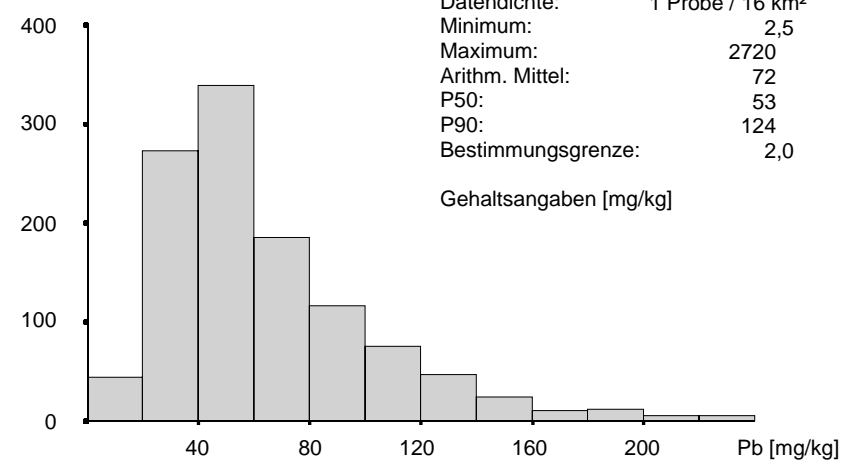


Probenzahl, ges.: 262
 Datendichte: 1 Probe / 16 km²
 Minimum: 23
 Maximum: 1560
 Airthm. Mittel: 200
 P50: 170
 P90: 330
 Bestimmungsgrenze: 2,0

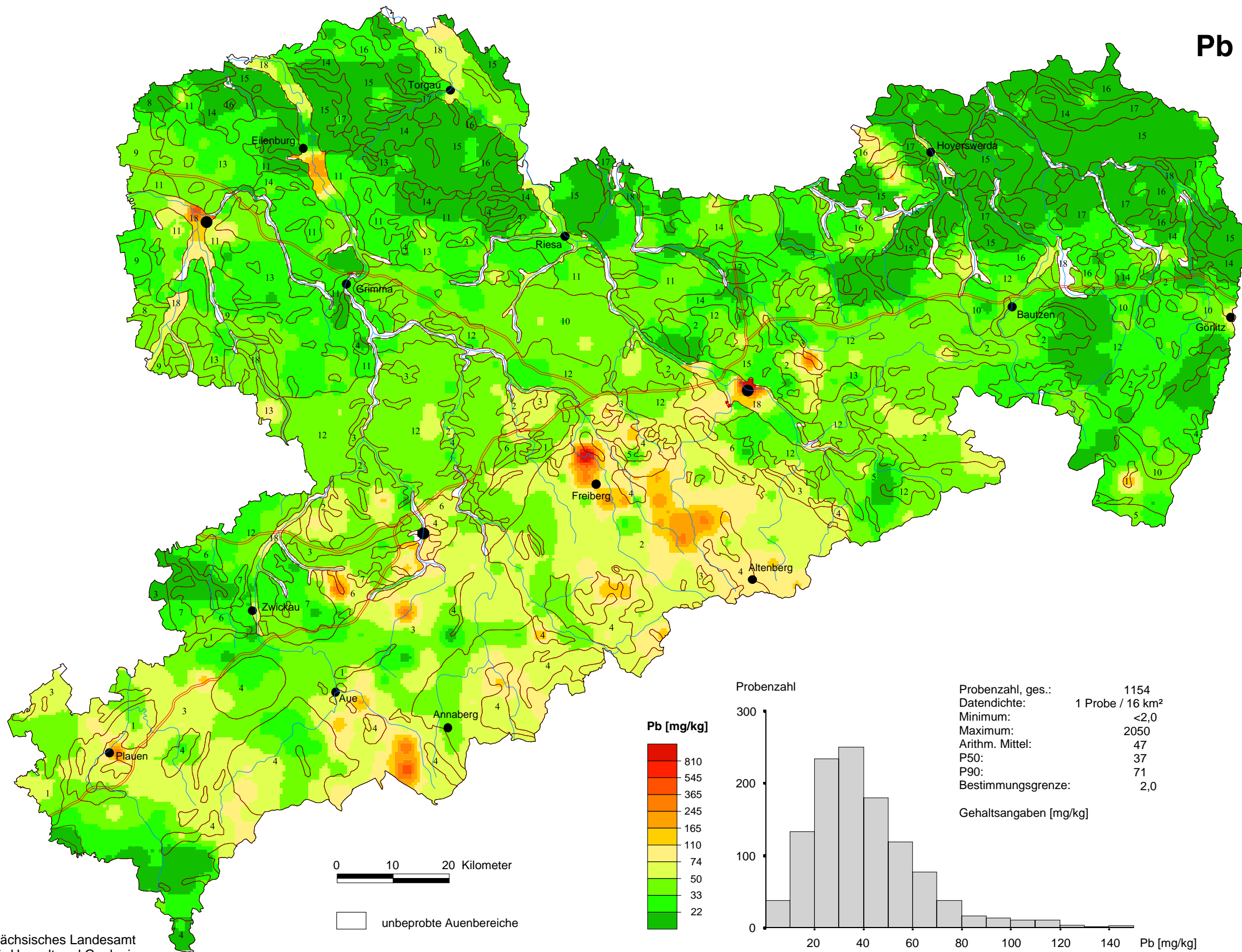
Pb



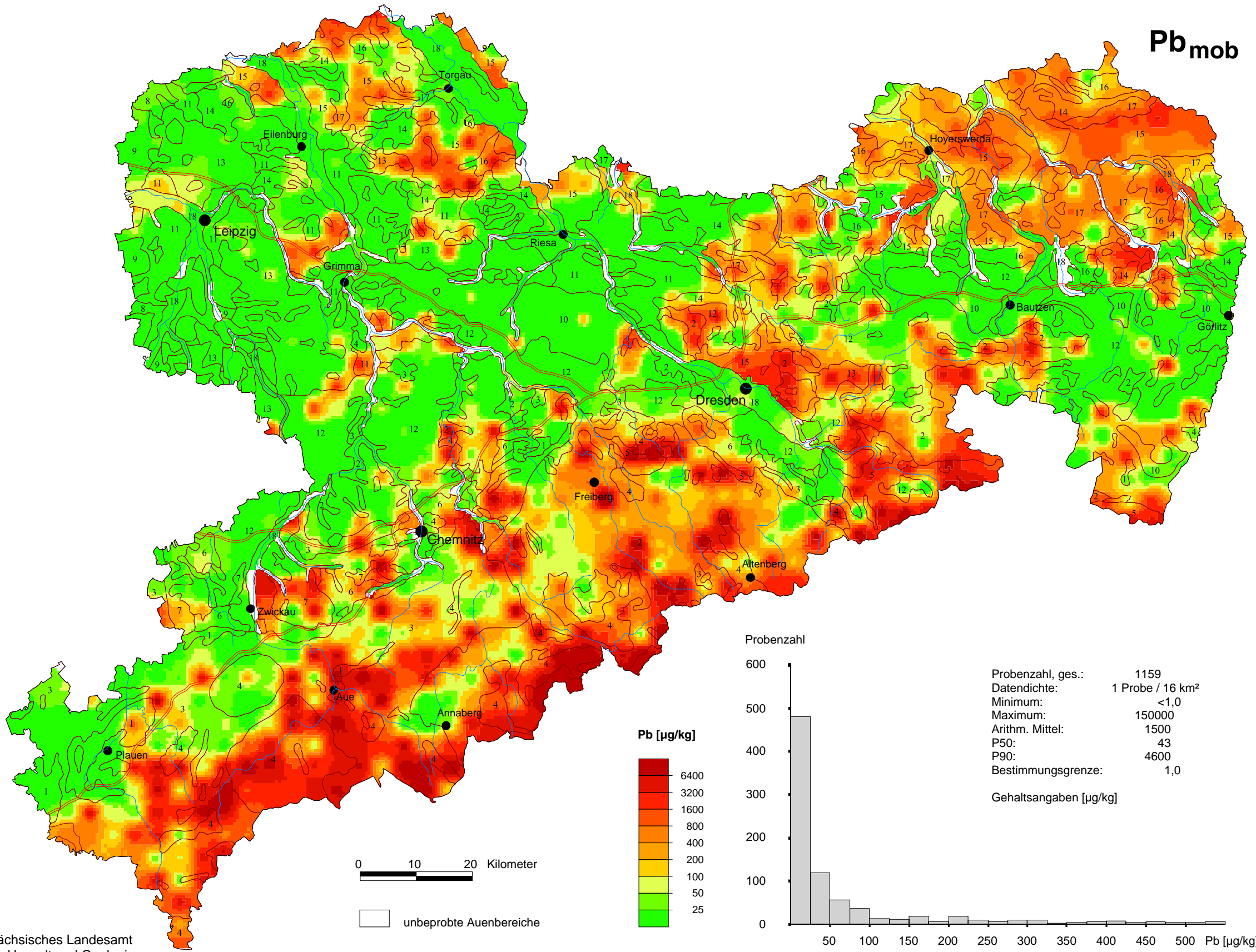
Probenzahl



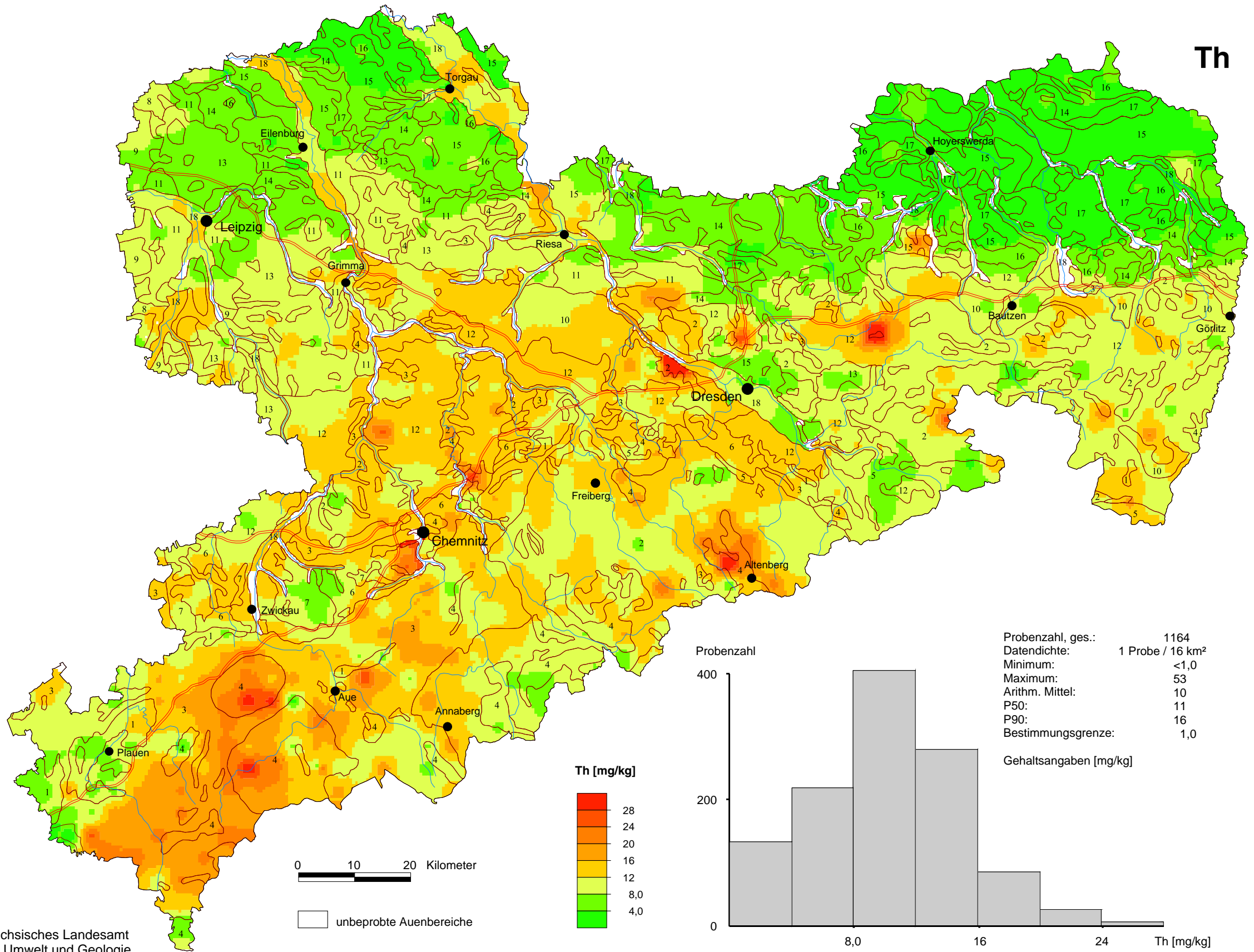
Pb



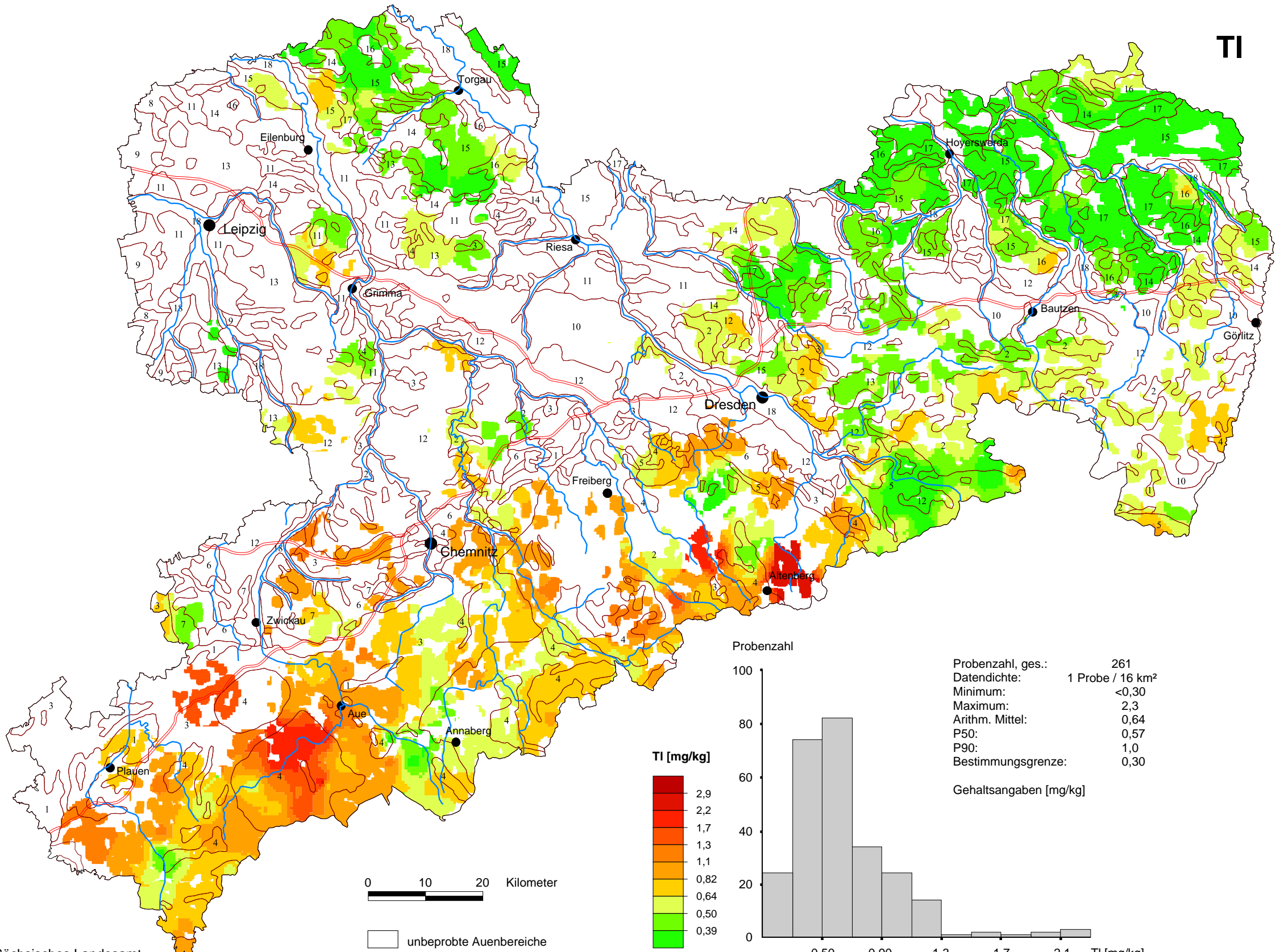
Pb_{mob}



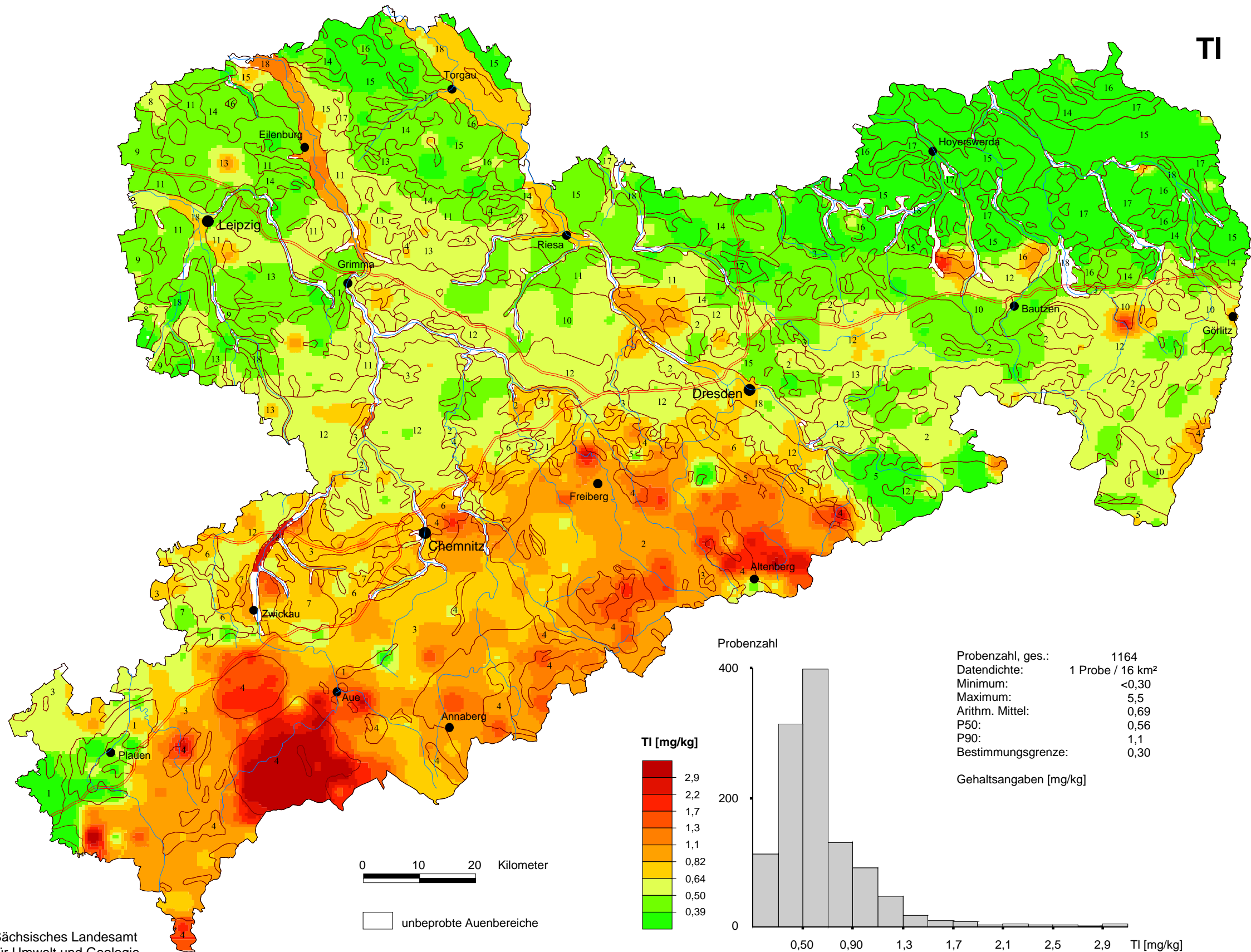
Th



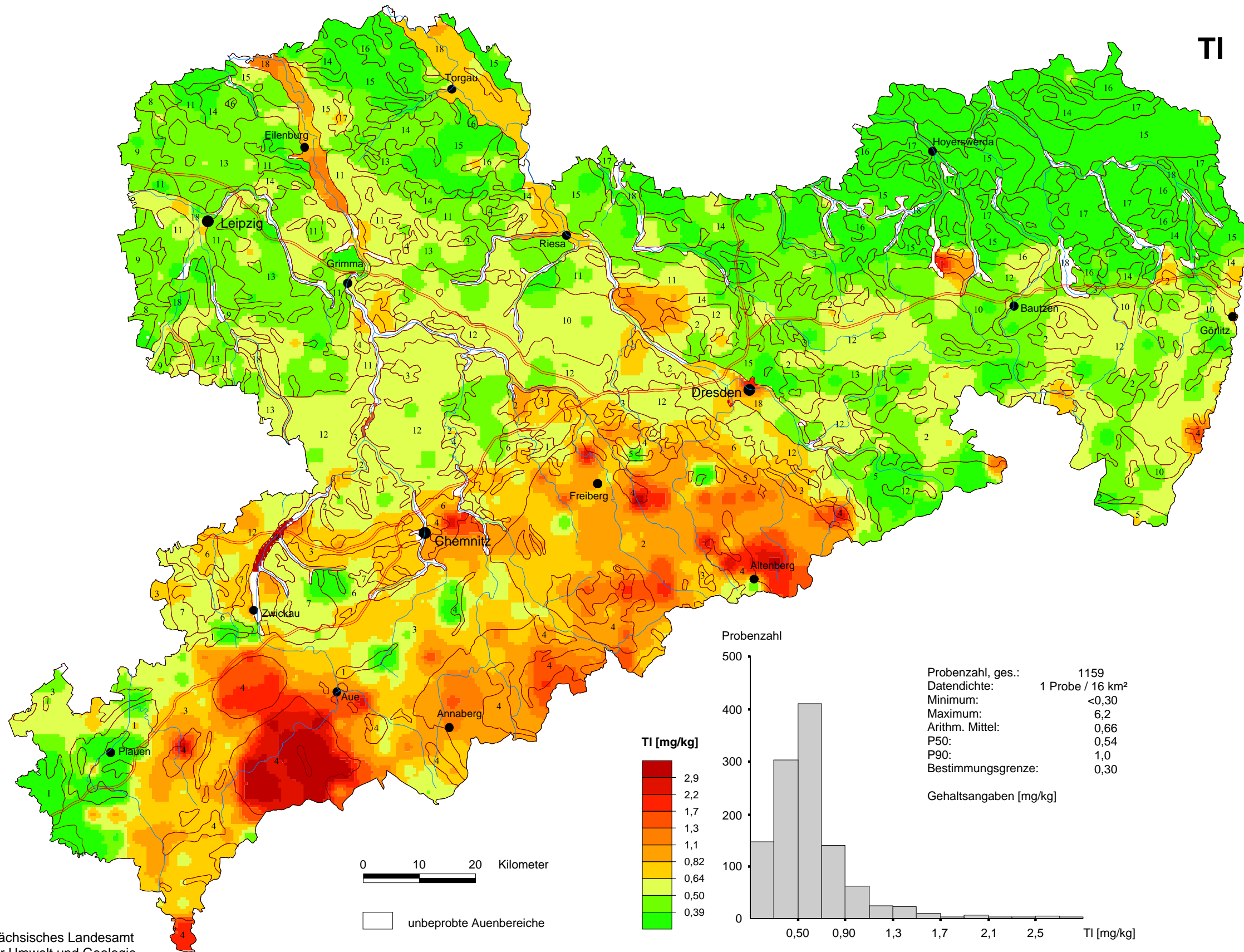
TI



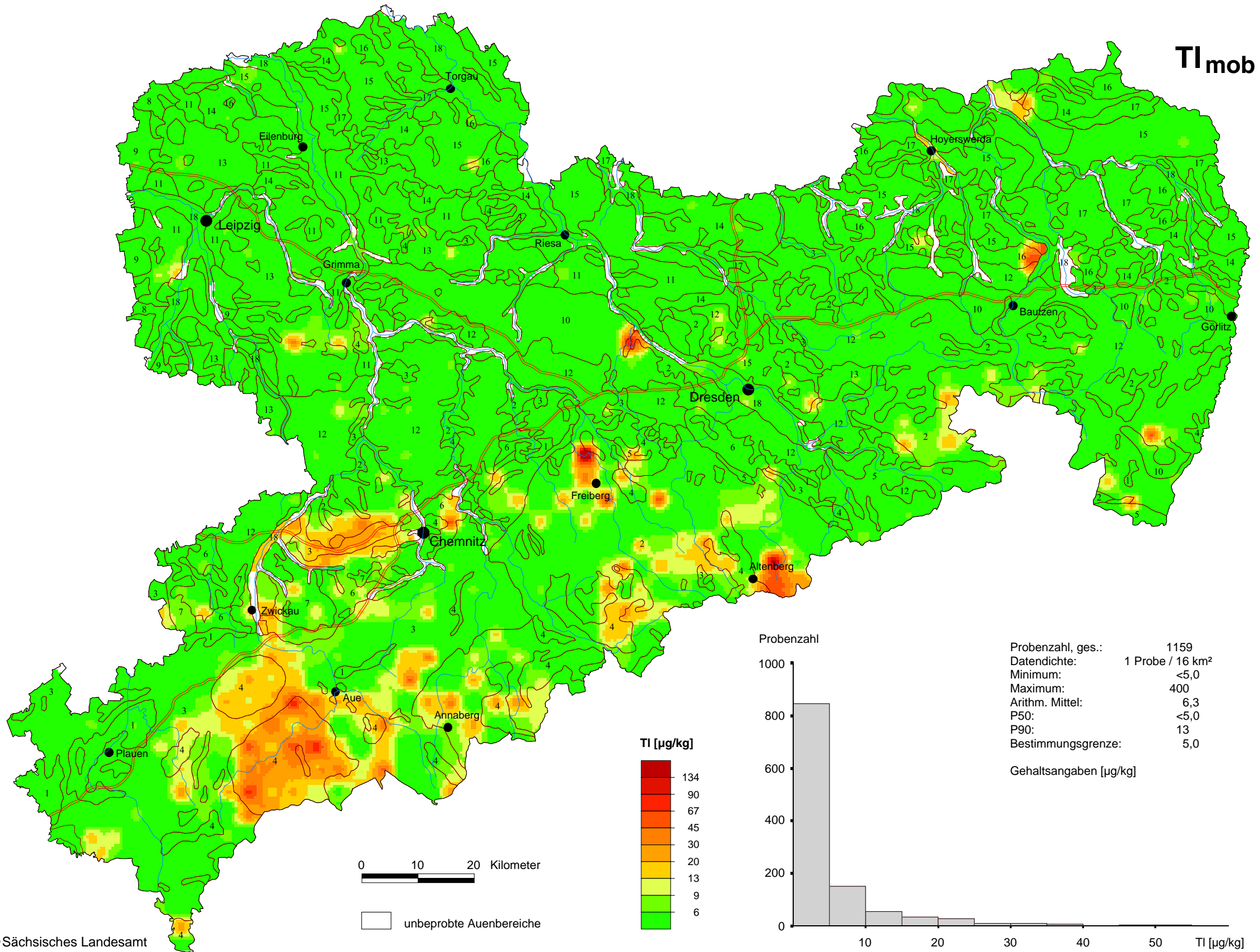
TI



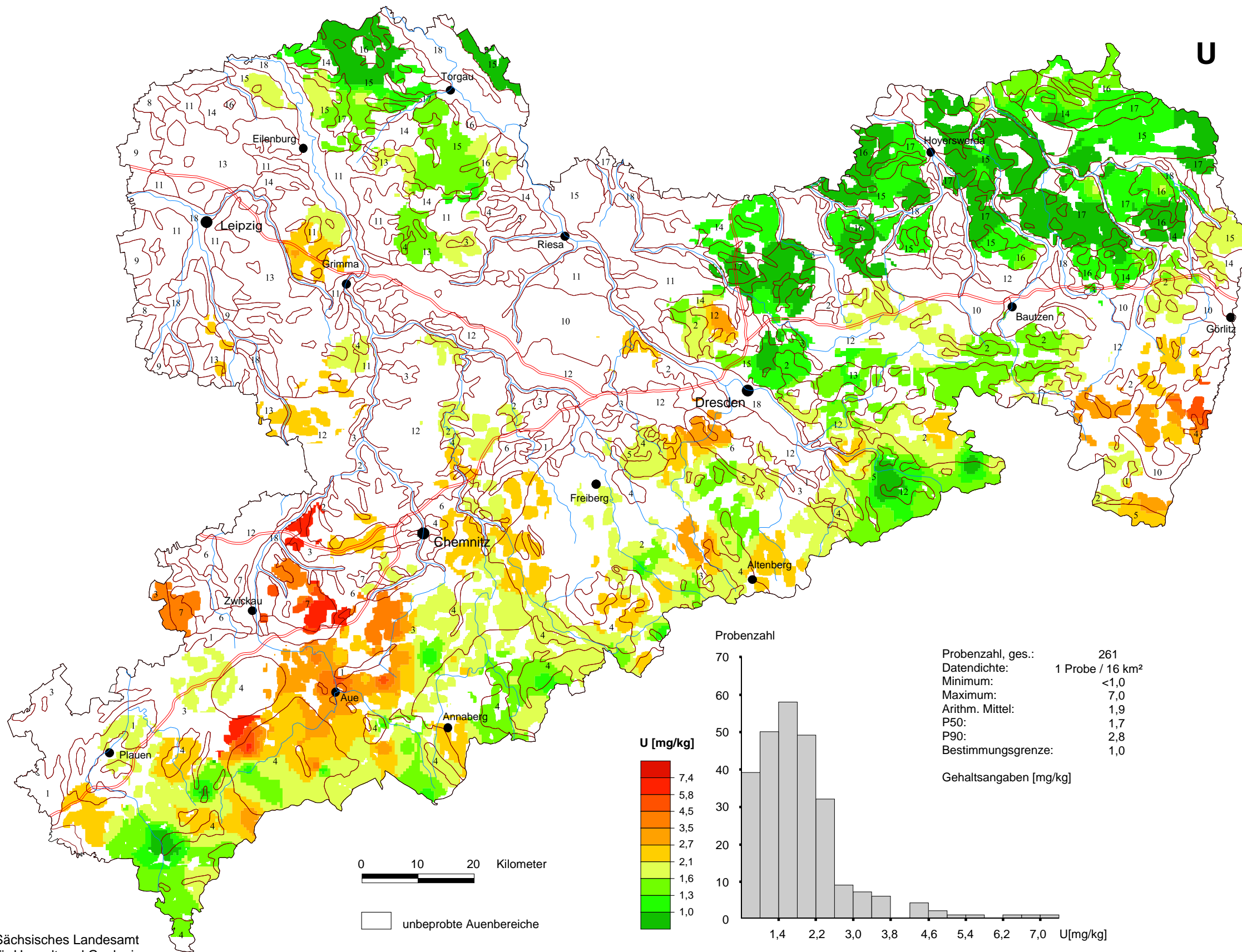
TI

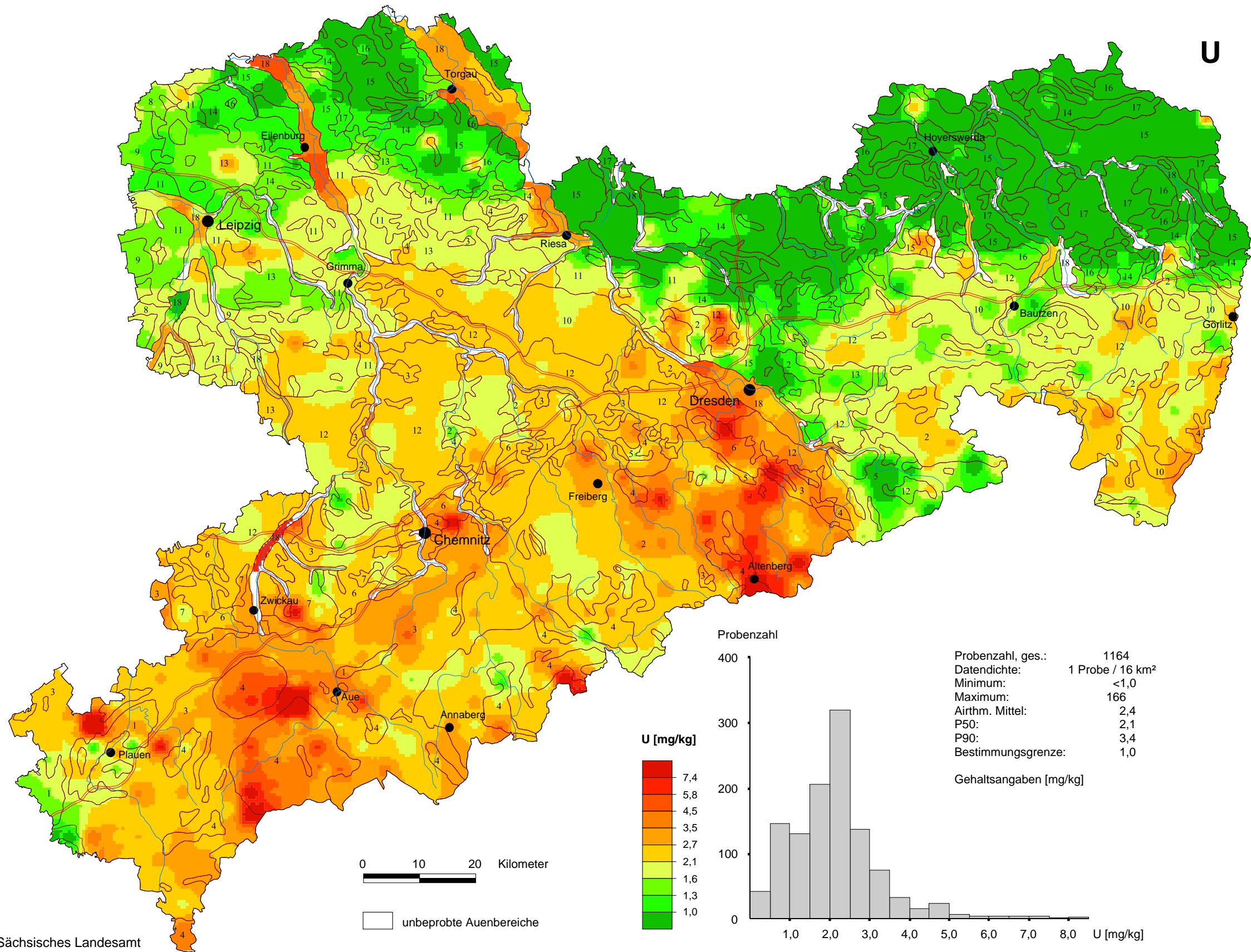


TI_{mob}

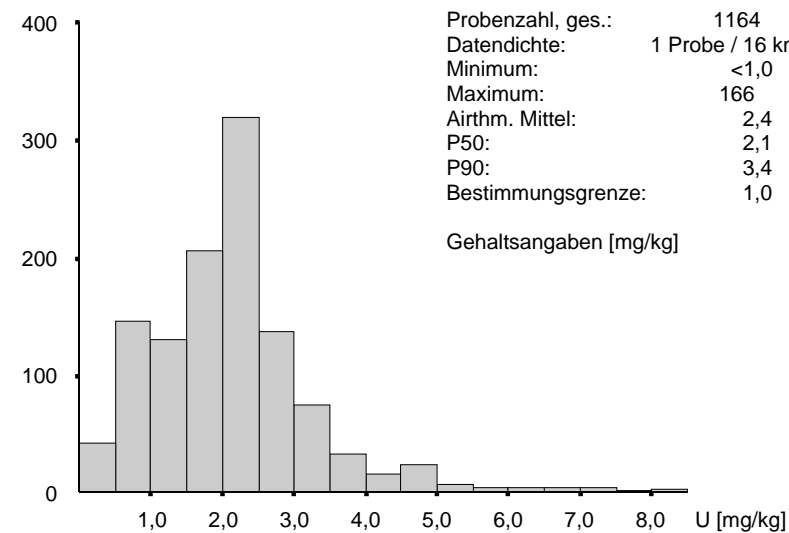


U

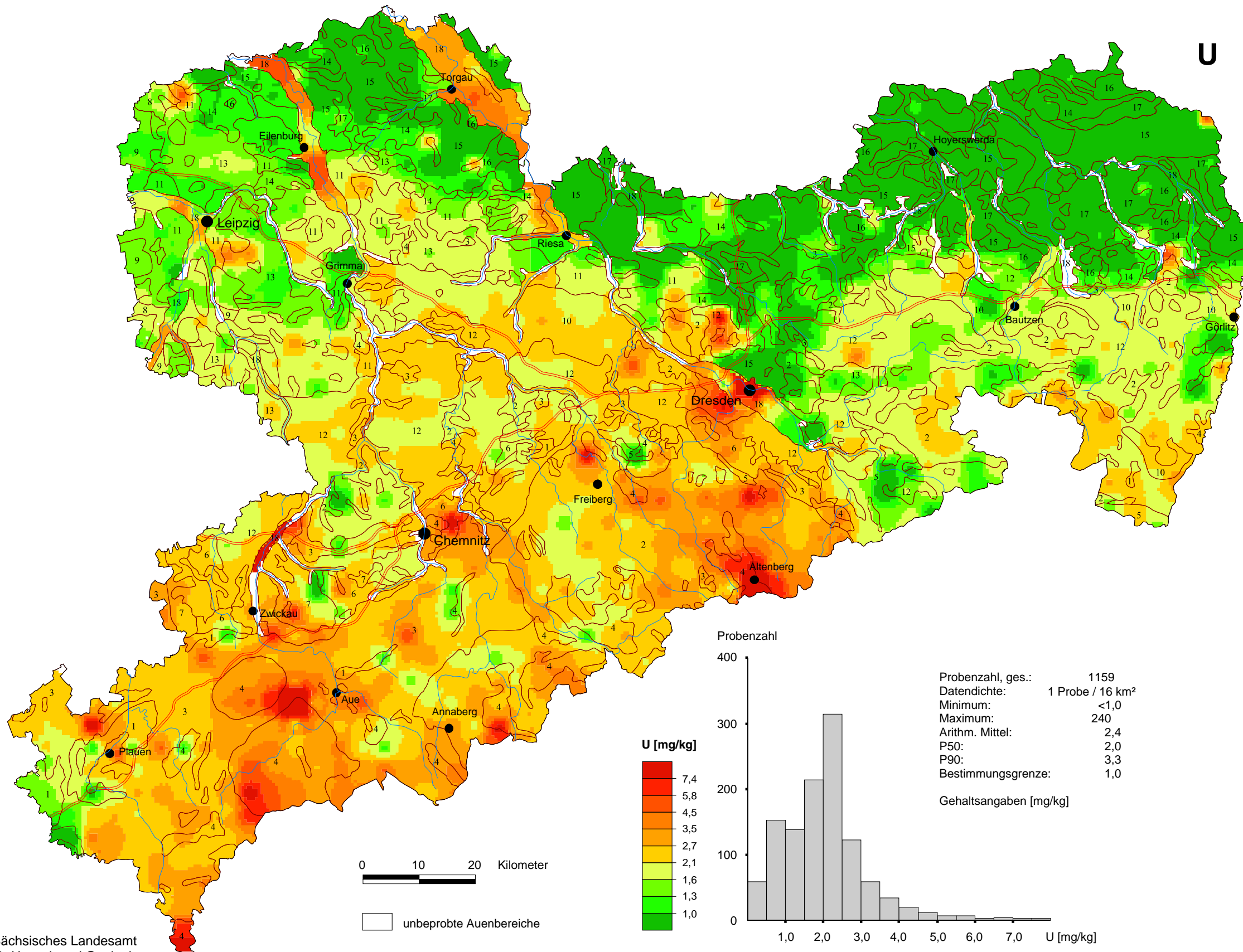




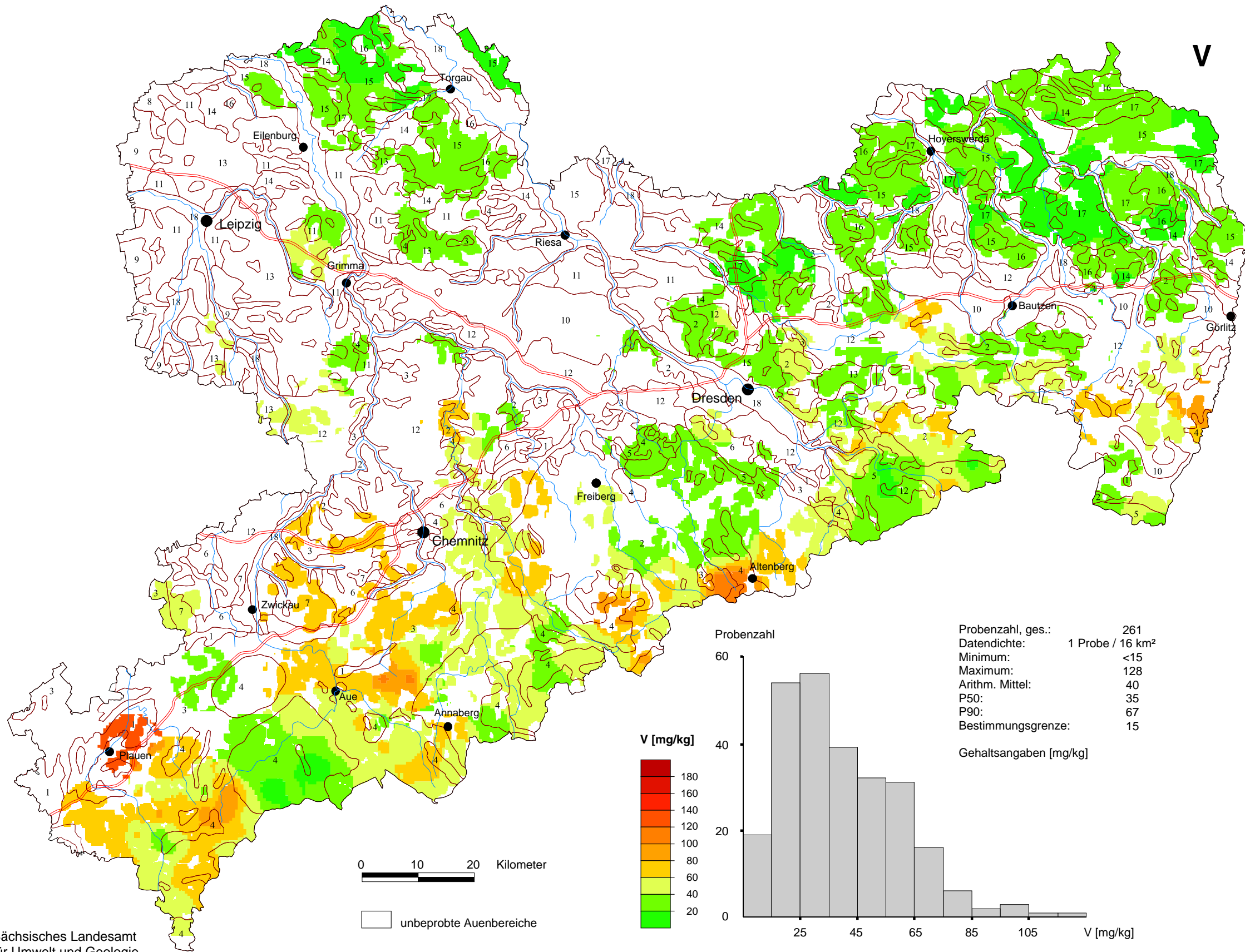
Probenzahl

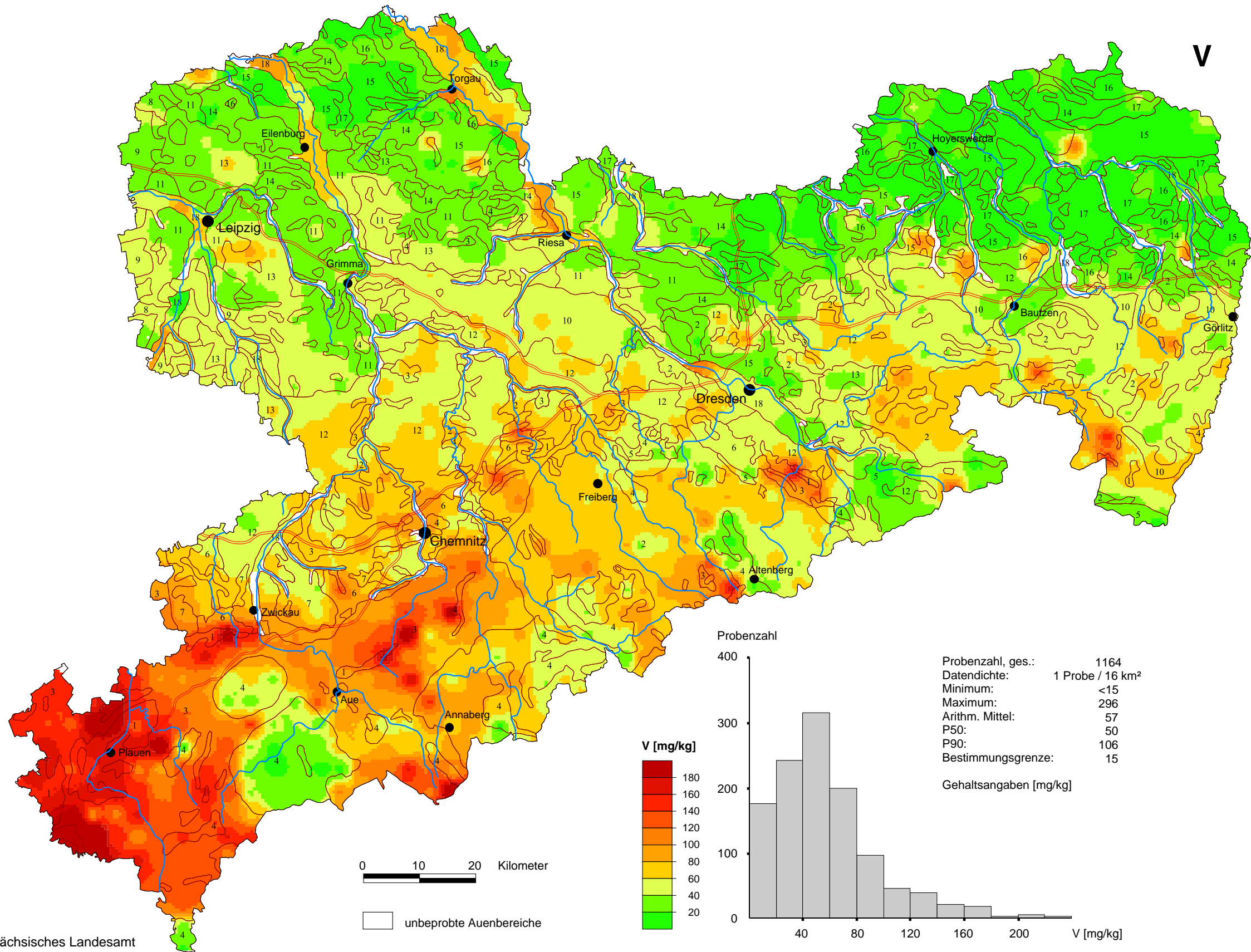


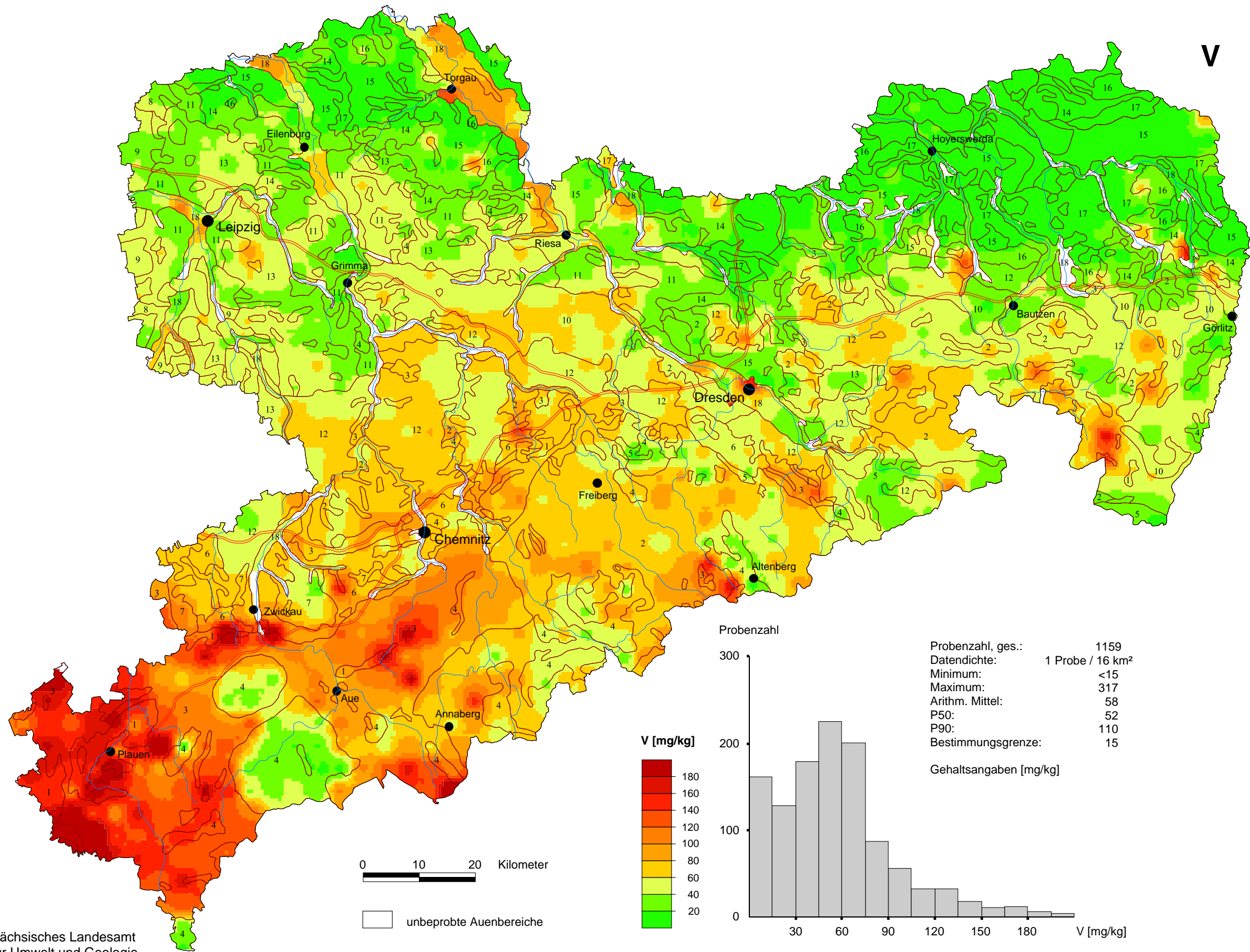
U

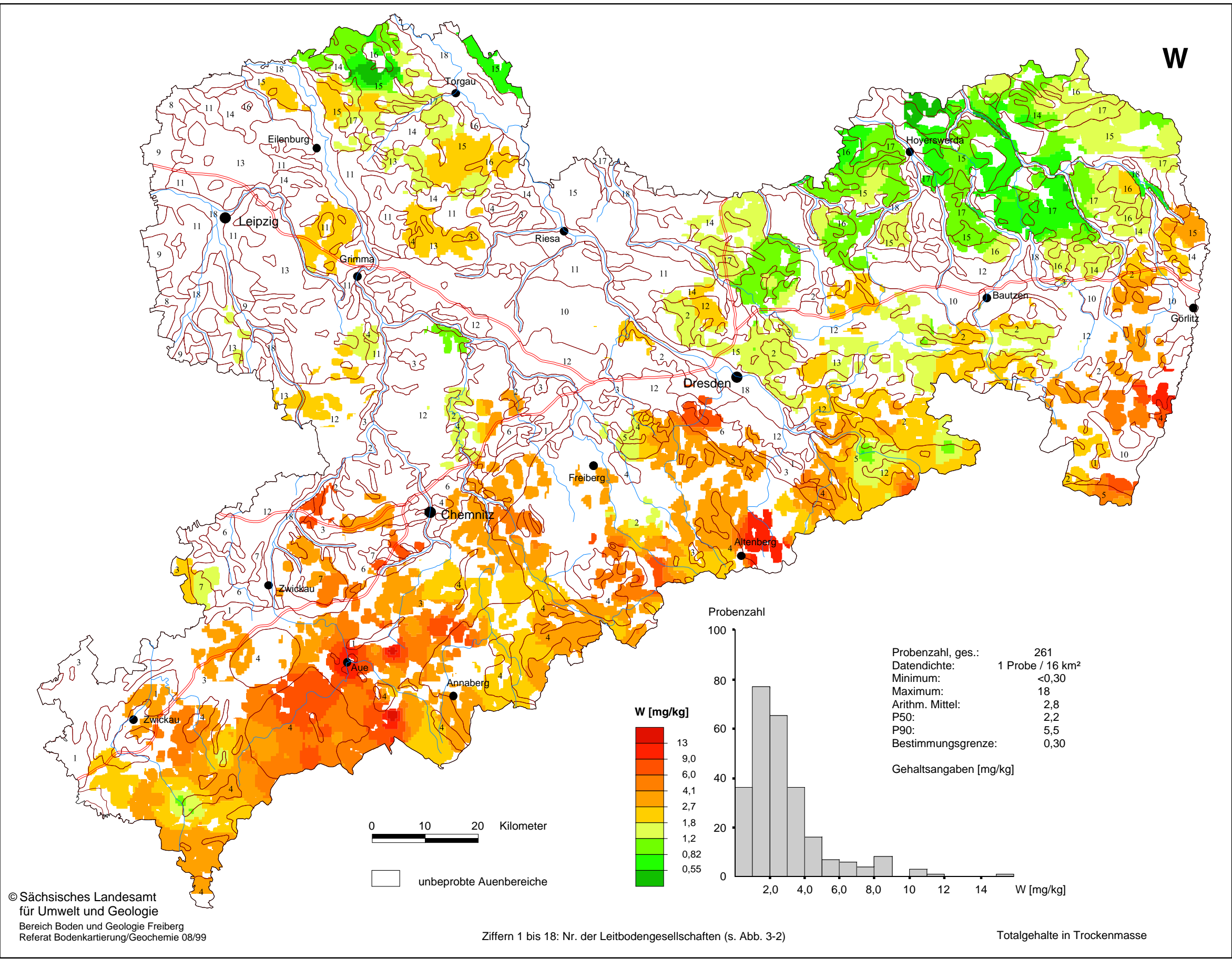


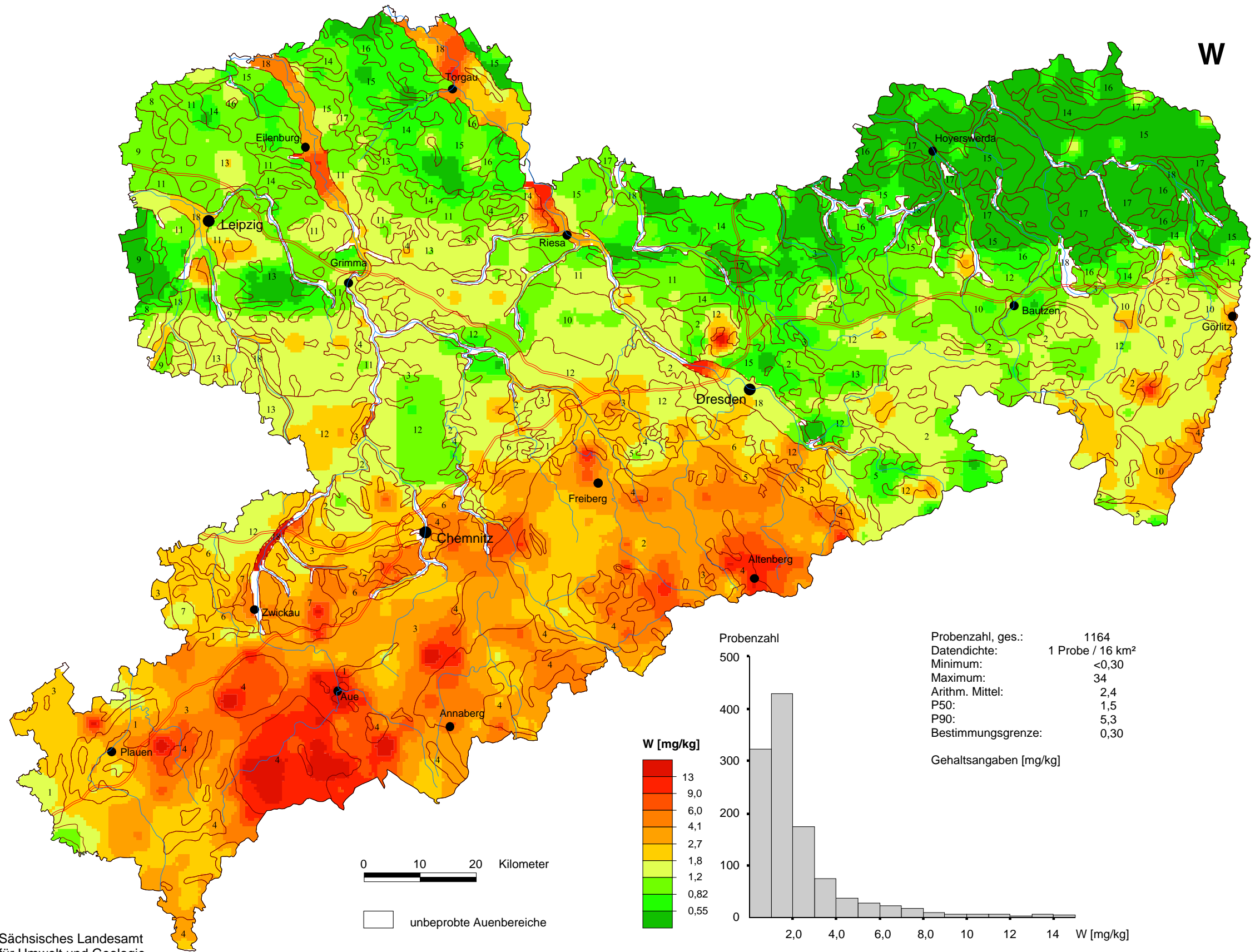
V

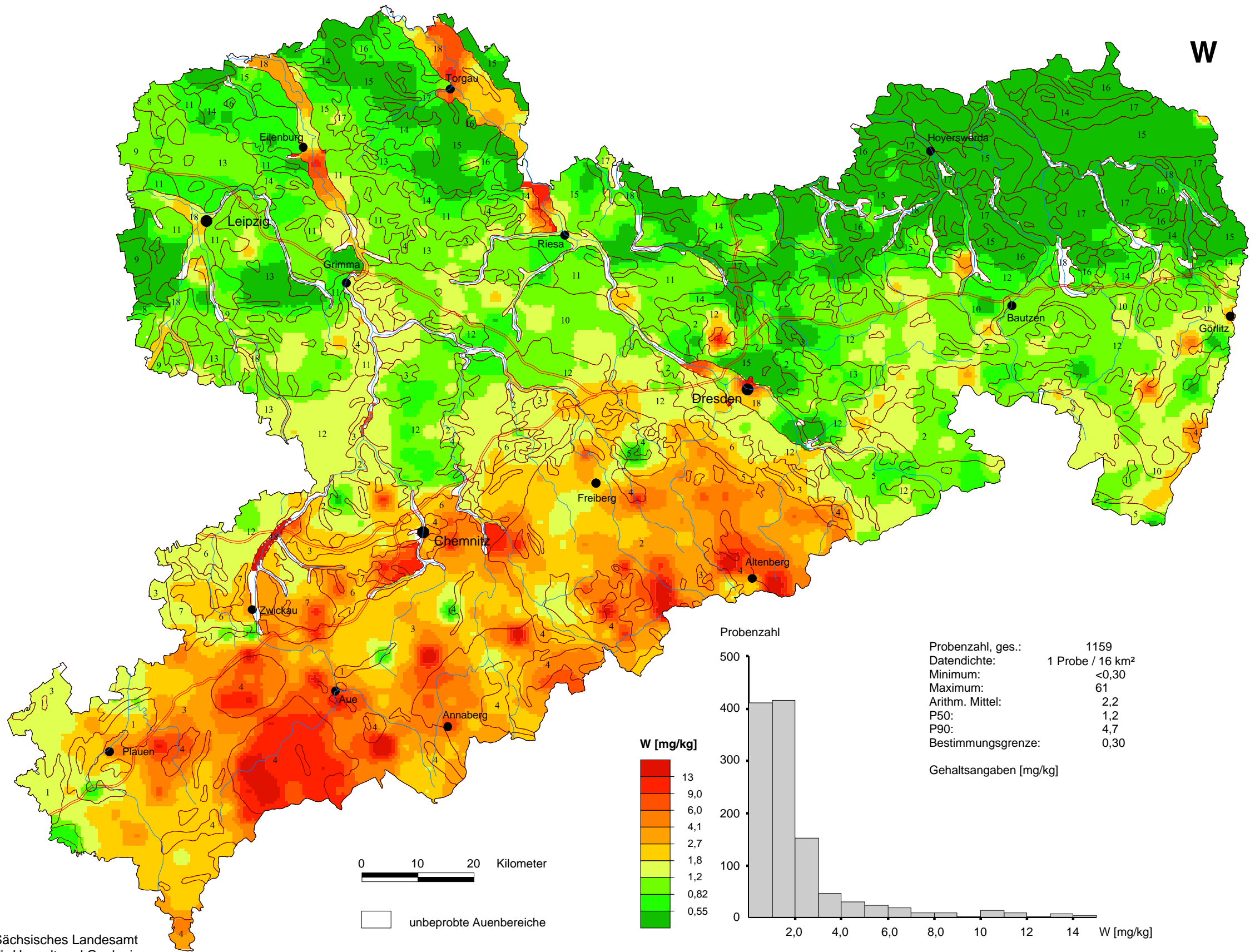




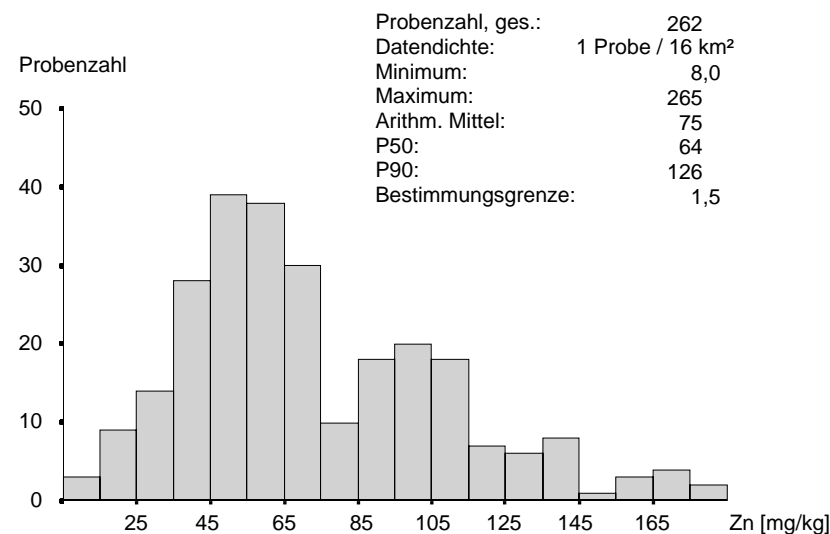
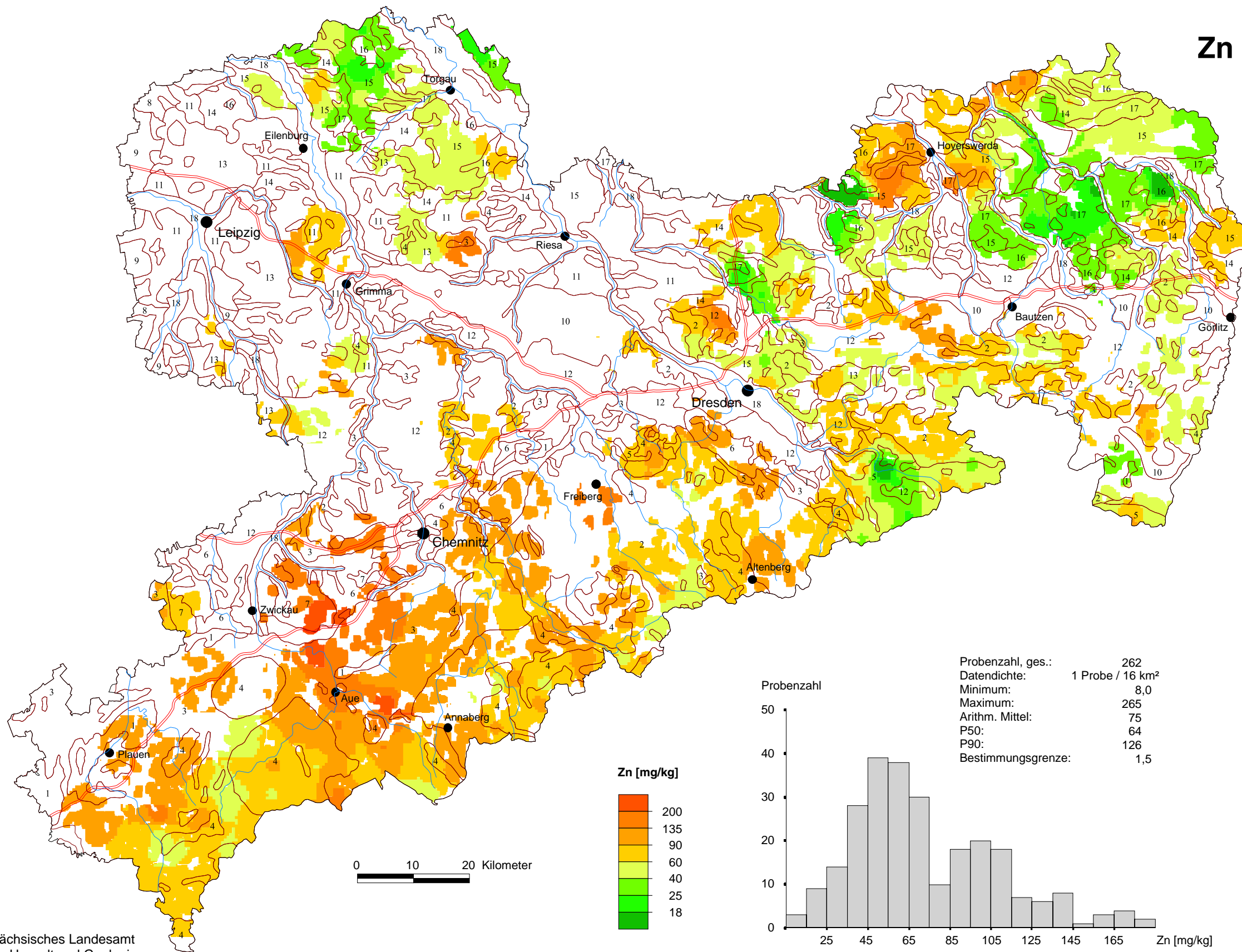




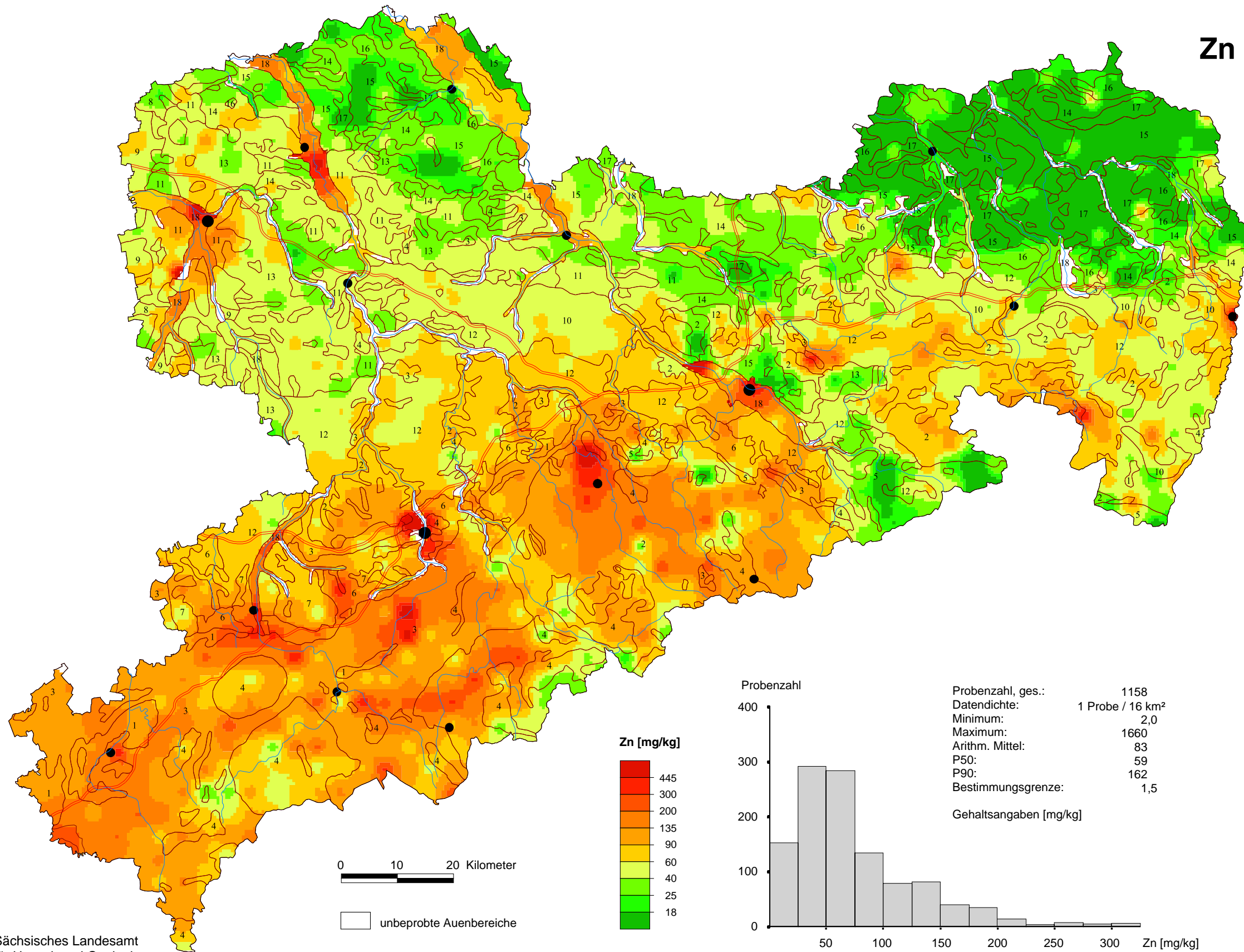




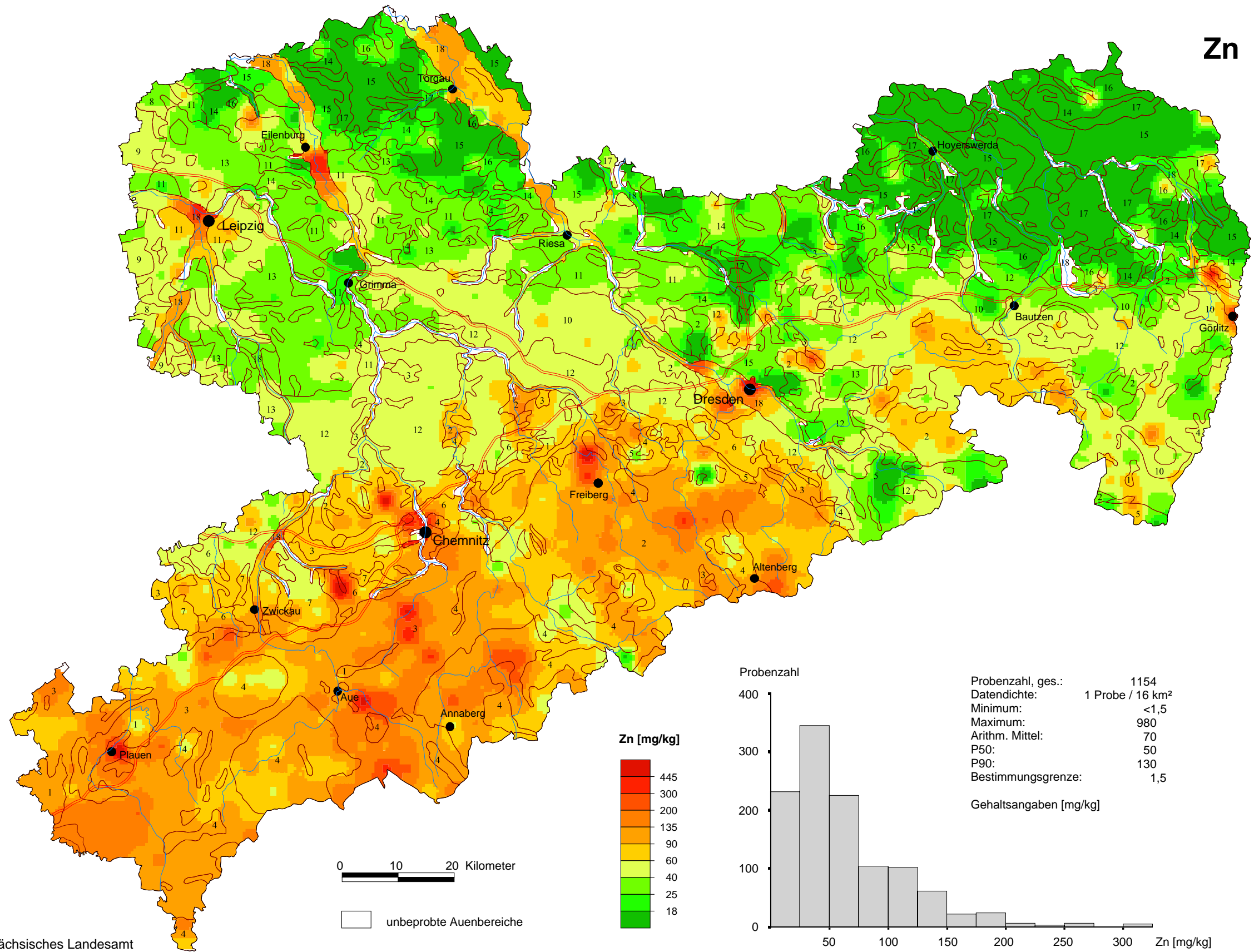
Zn



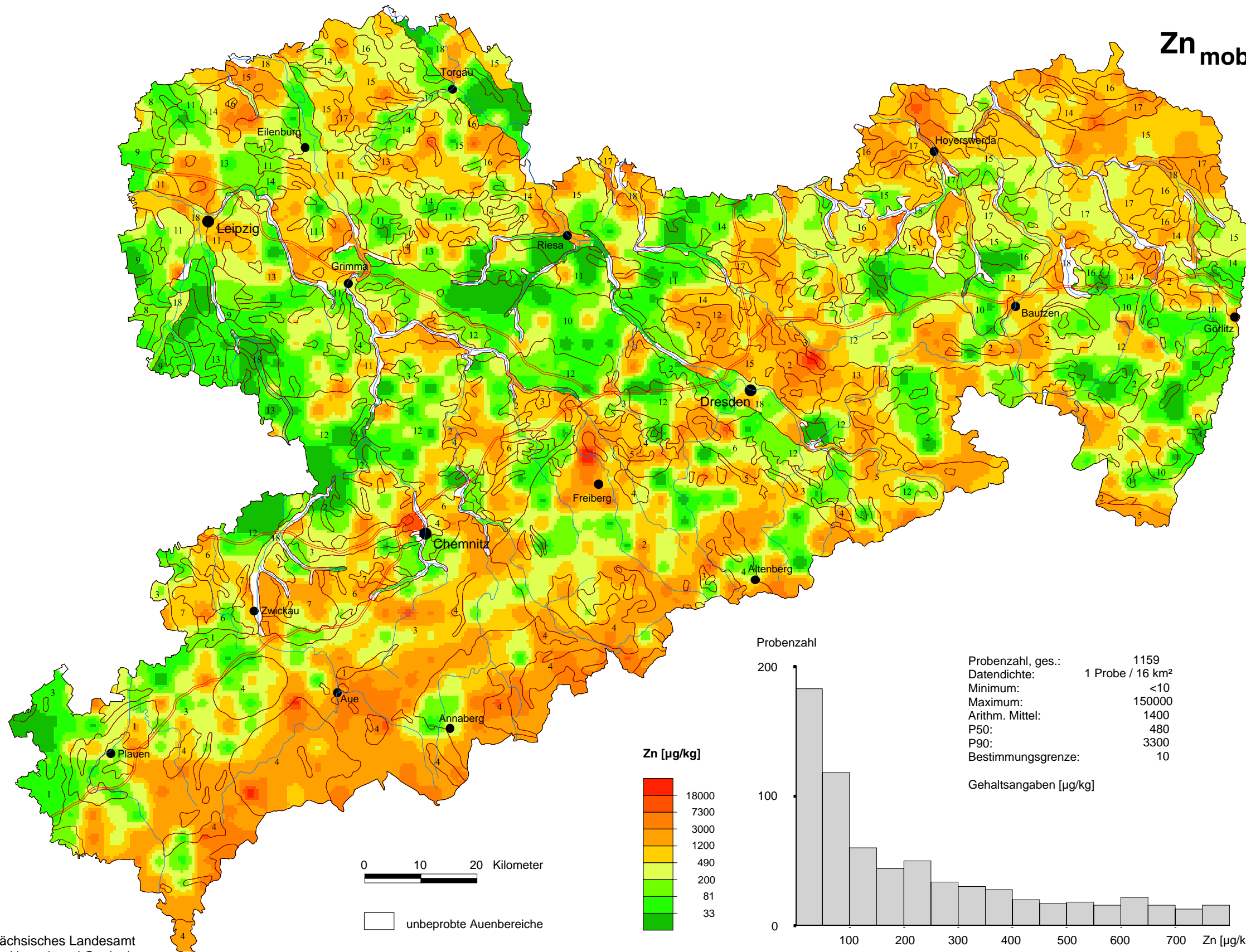
Zn



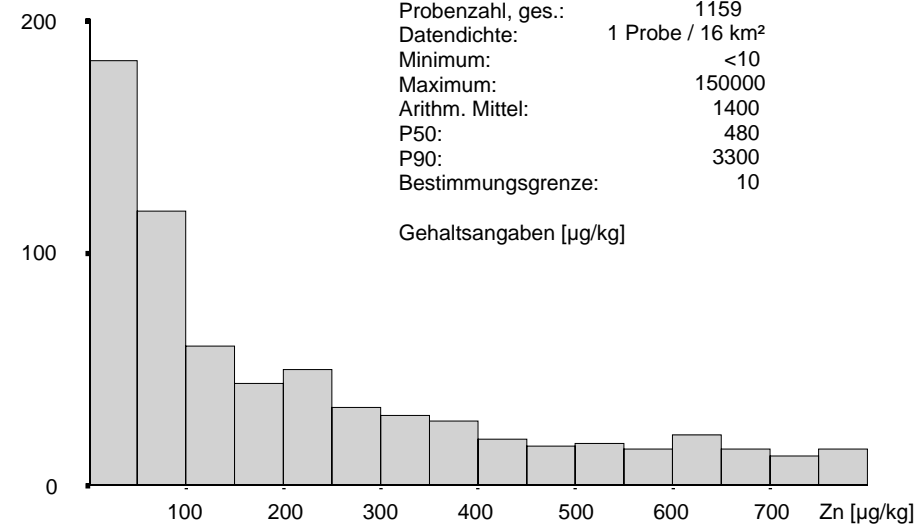
Zn



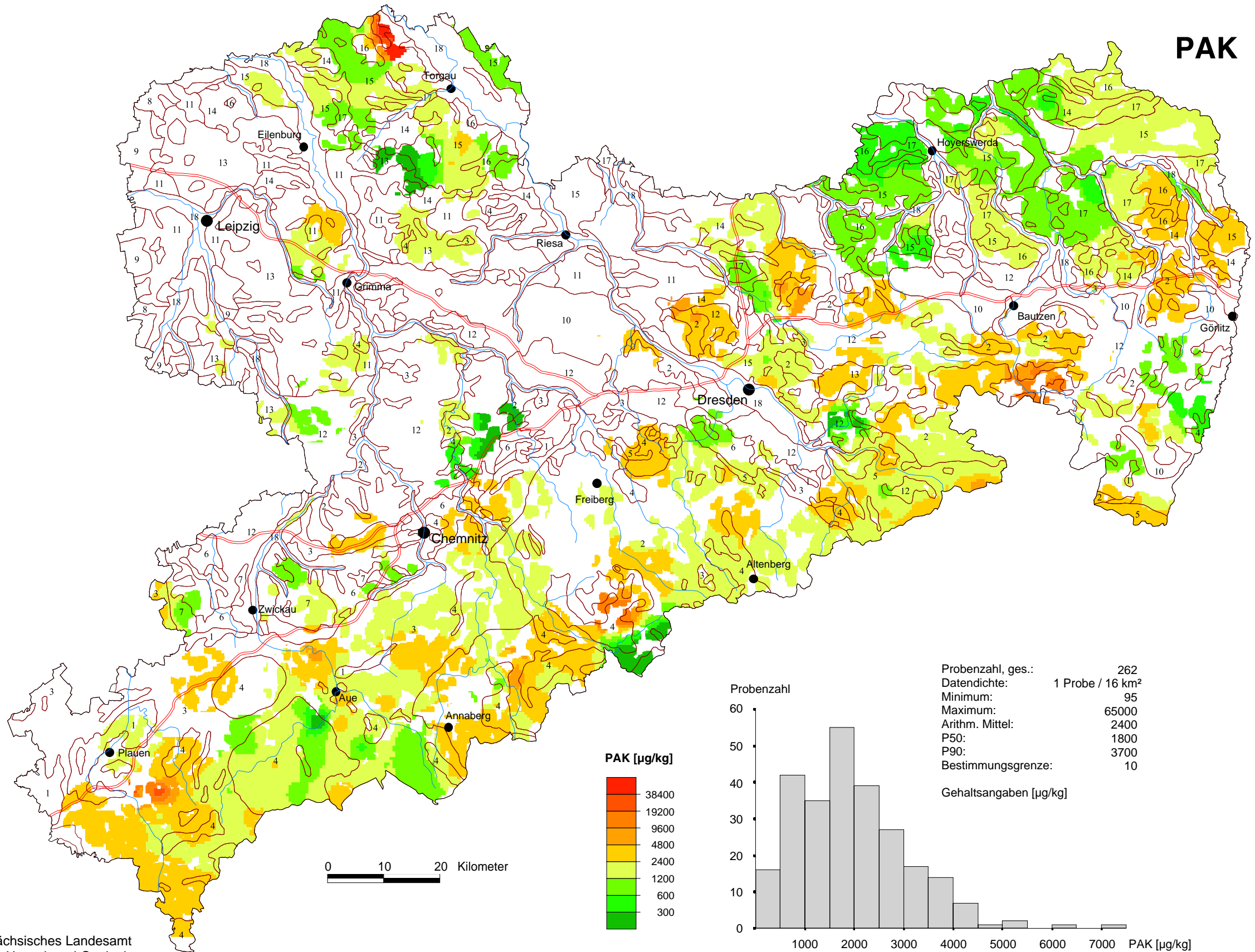
Zn_{mob}



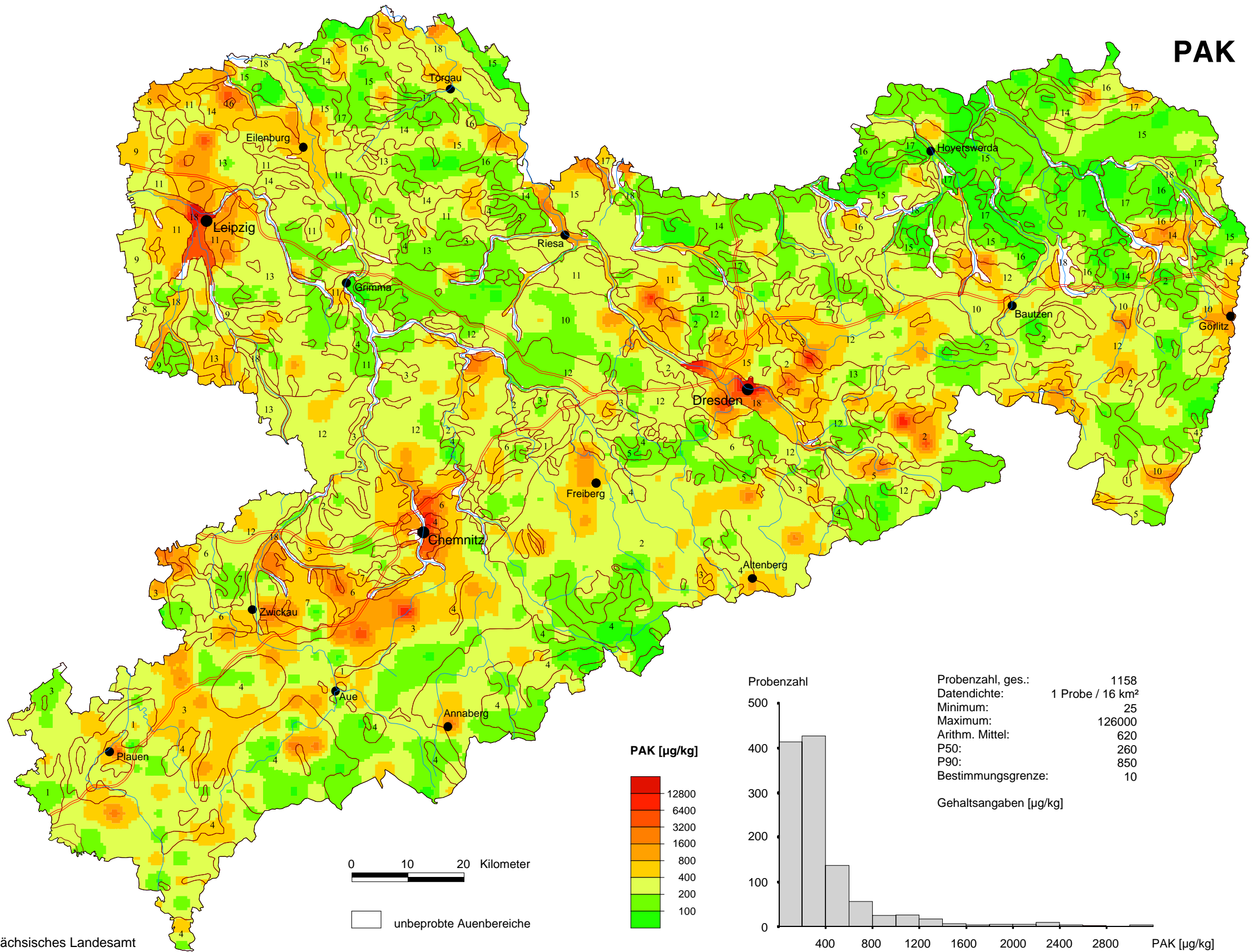
Probenzahl



PAK

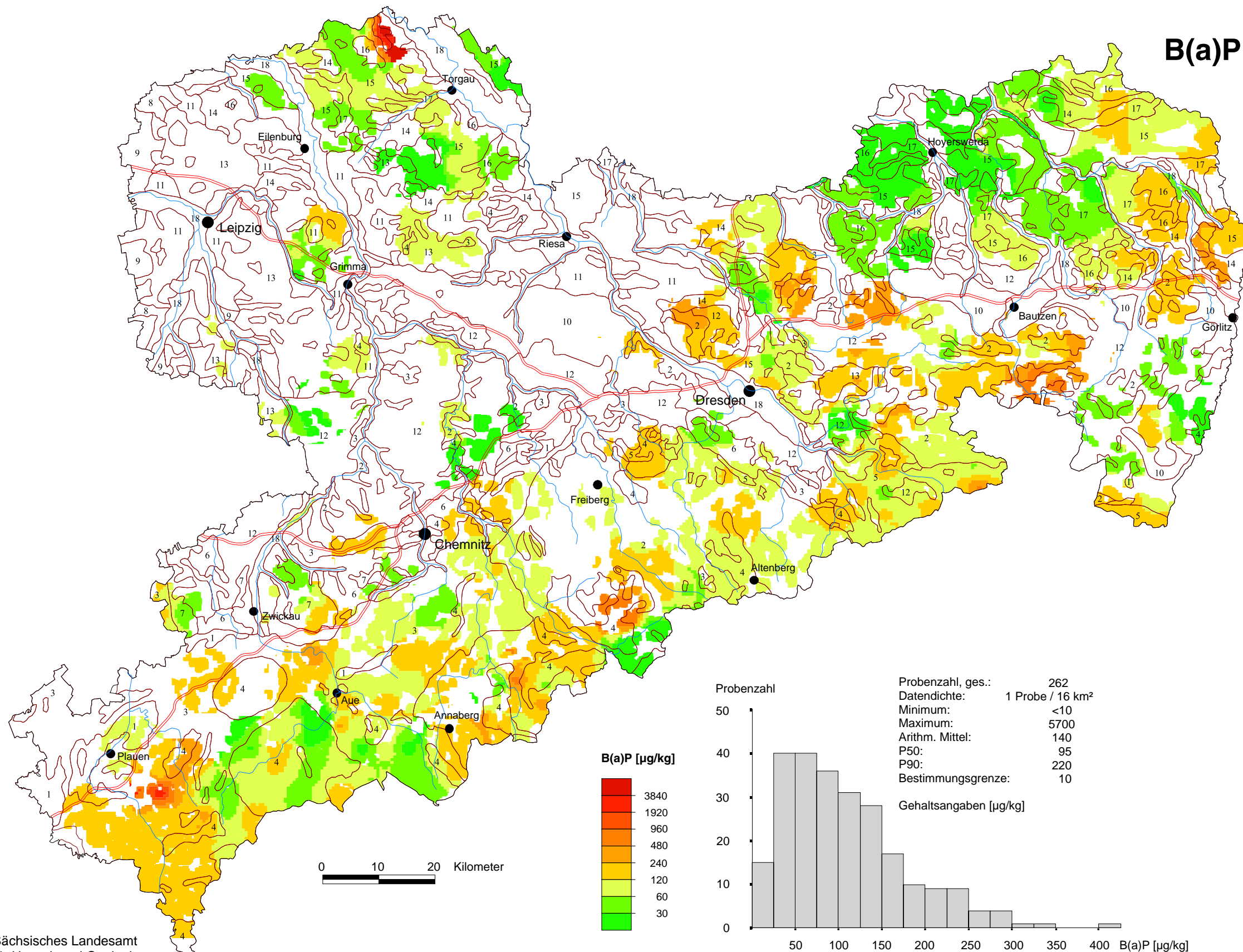


PAK

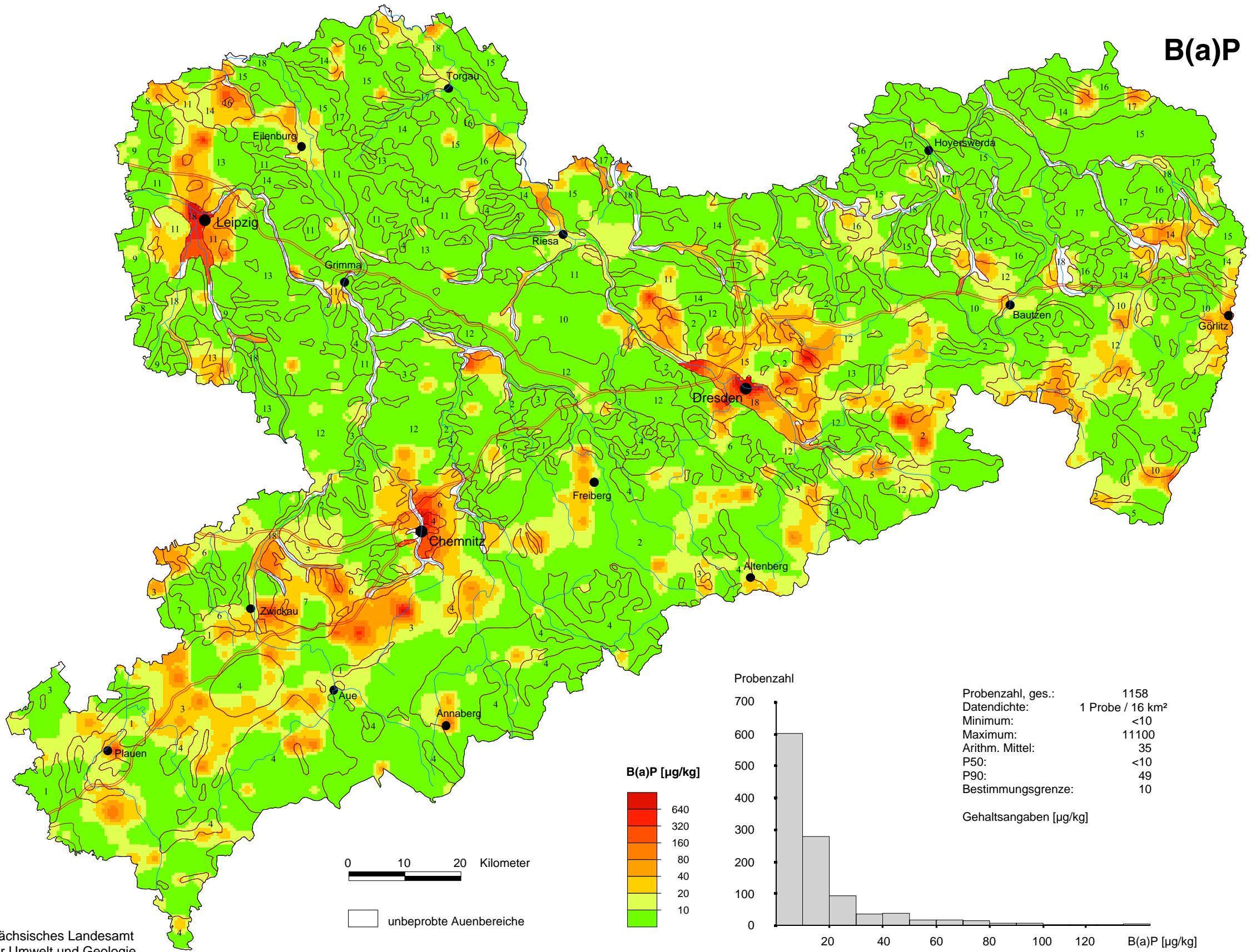


Probenzahl, ges.: 1158
 Datendichte: 1 Probe / 16 km²
 Minimum: 25
 Maximum: 126000
 Arithm. Mittel: 620
 P50: 260
 P90: 850
 Bestimmungsgrenze: 10

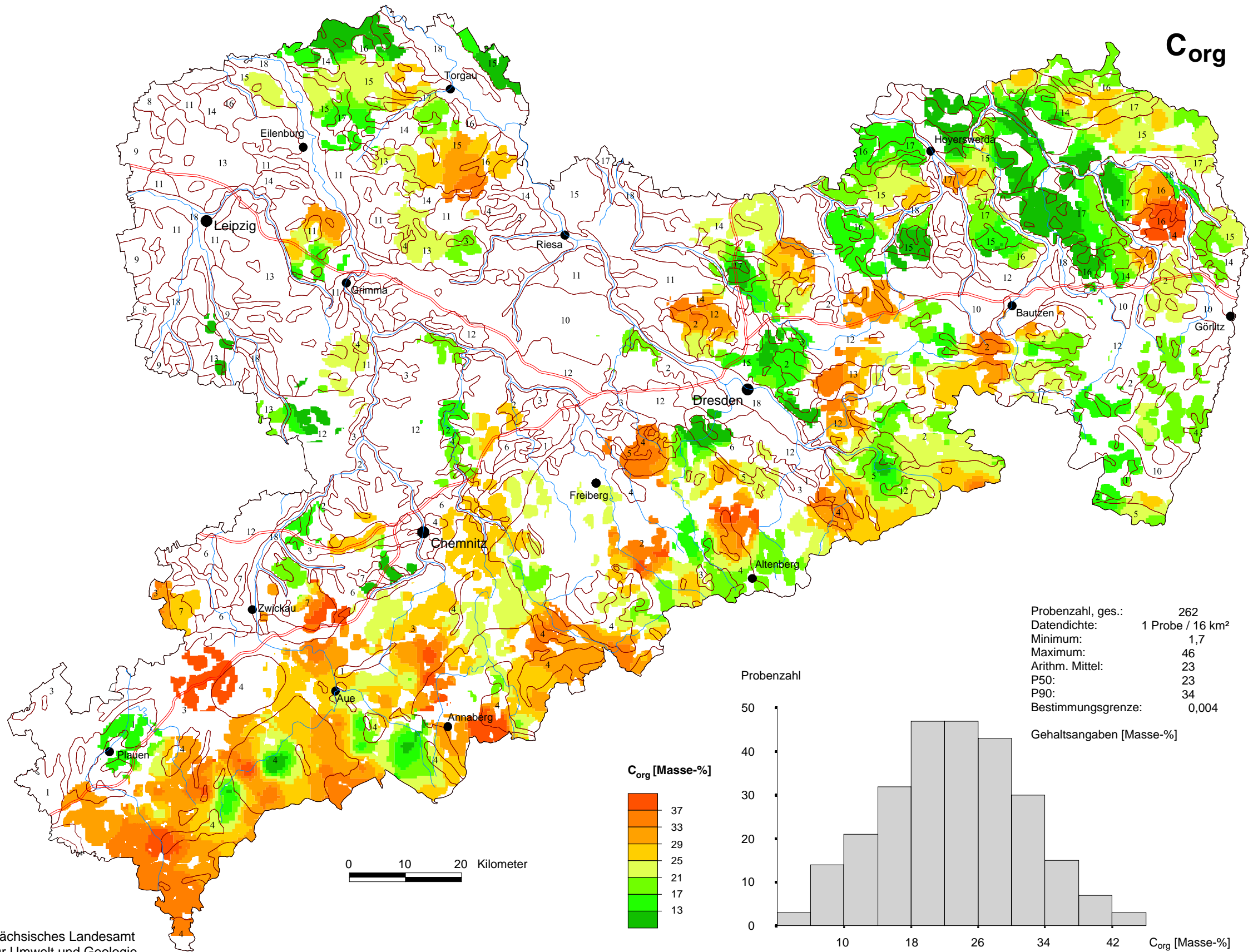
B(a)P



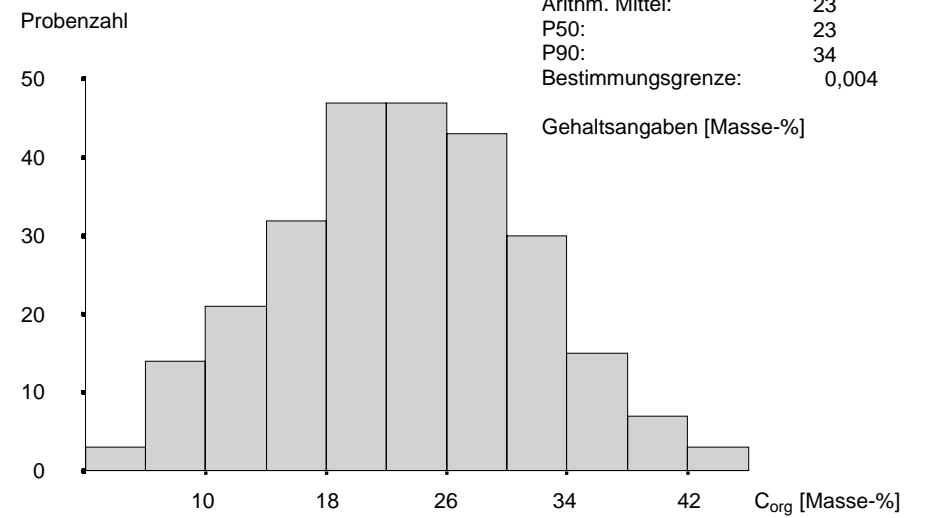
B(a)P



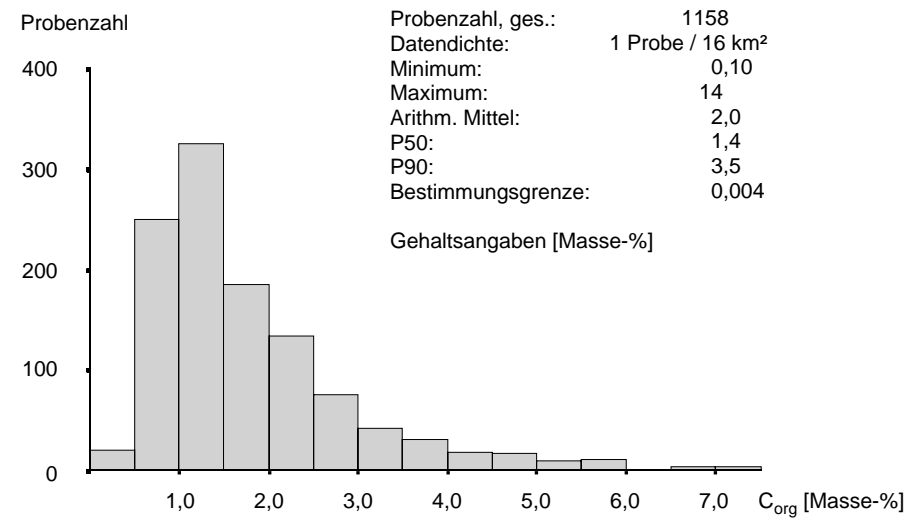
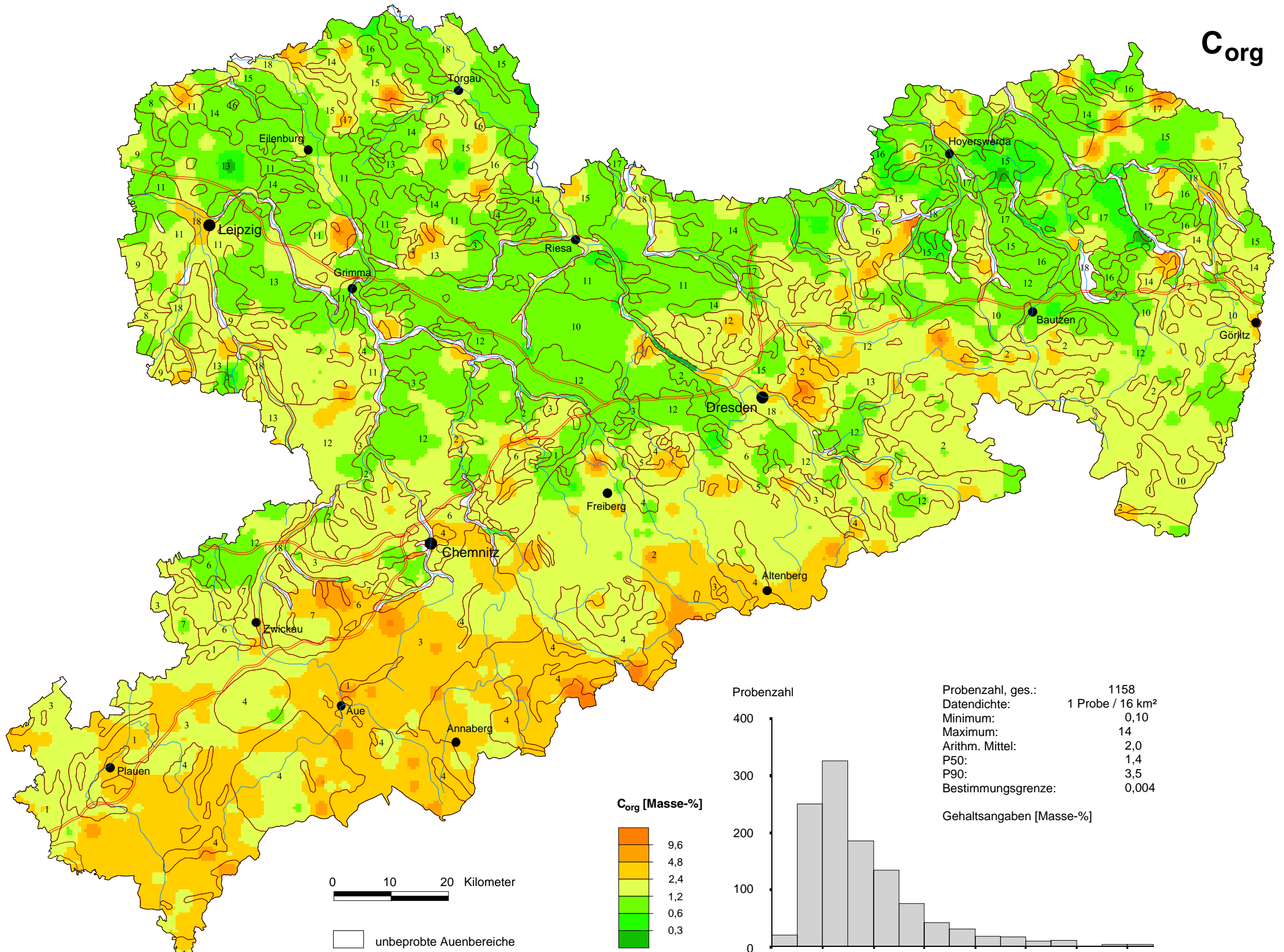
C_{org}



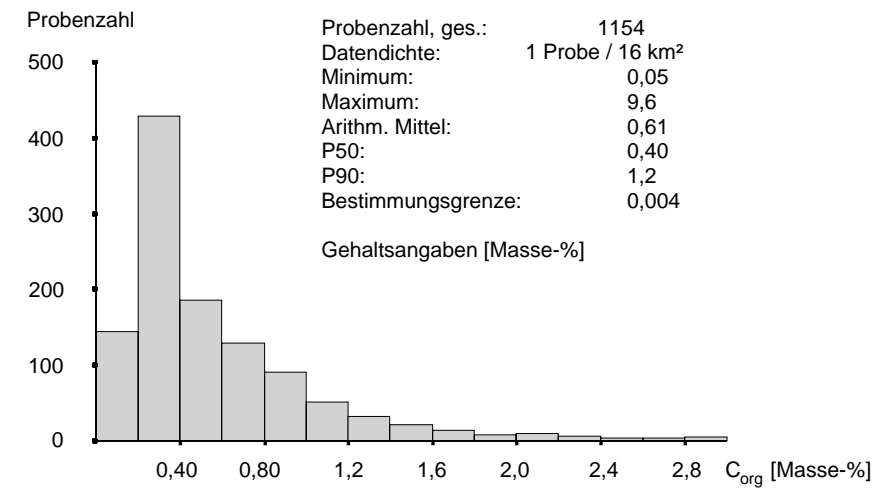
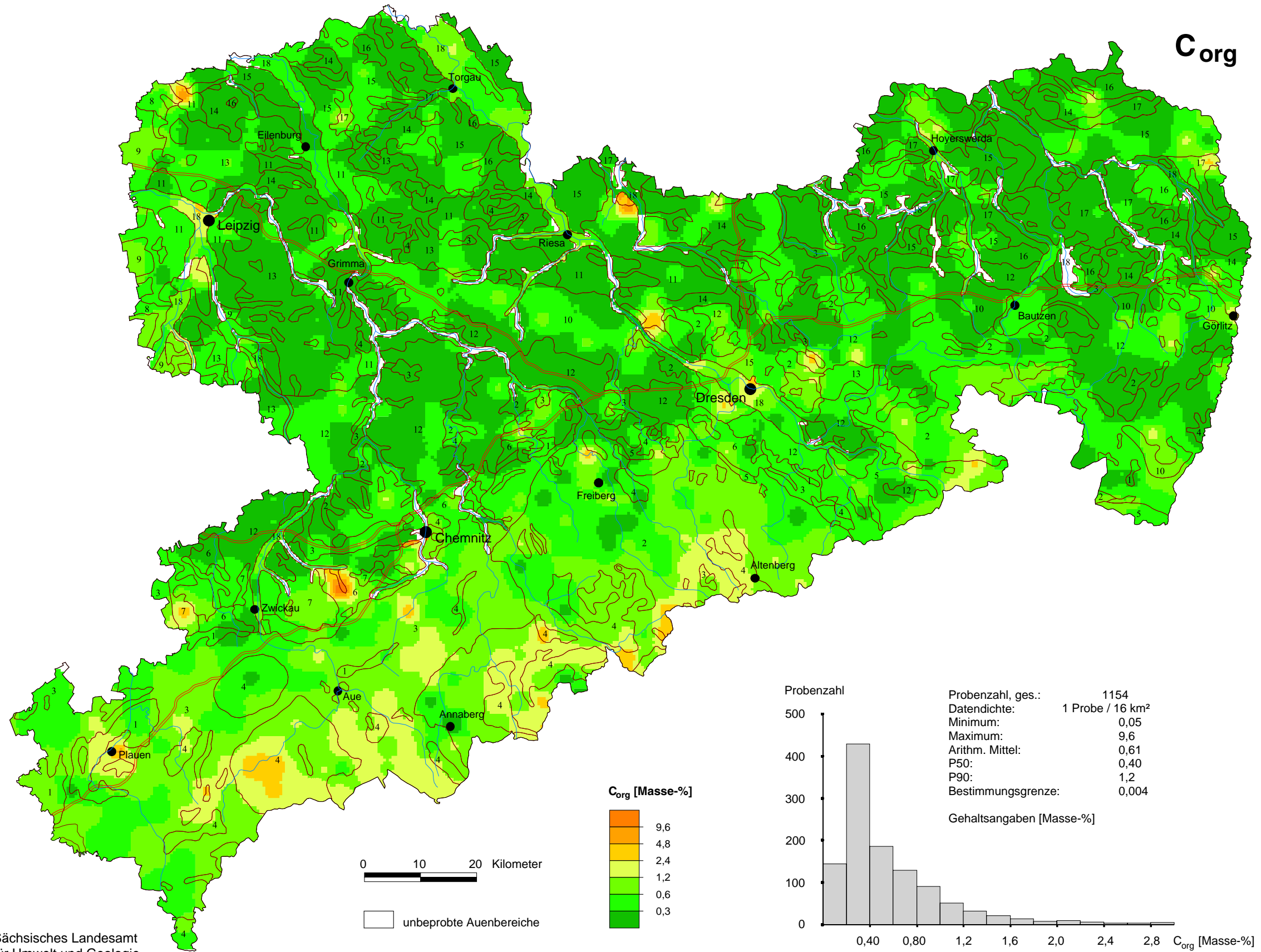
Probenzahl, ges.:	262
Datendichte:	1 Probe / 16 km²
Minimum:	1,7
Maximum:	46
Arithm. Mittel:	23
P50:	23
P90:	34
Bestimmungsgrenze:	0,004



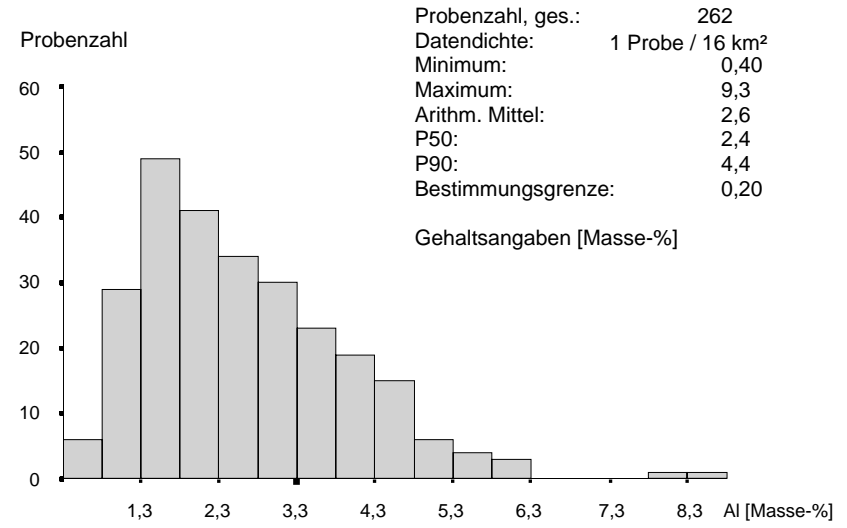
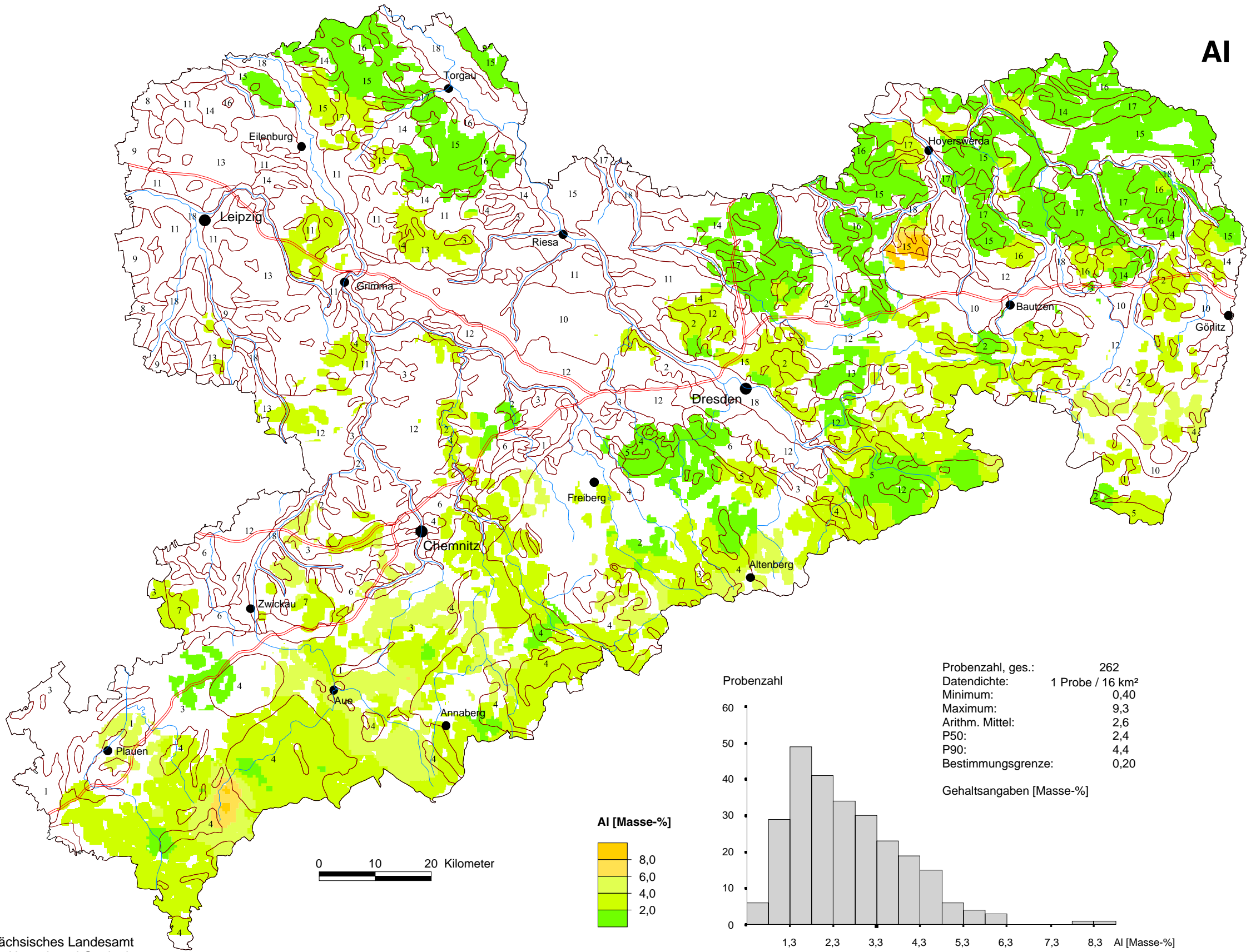
C_{org}

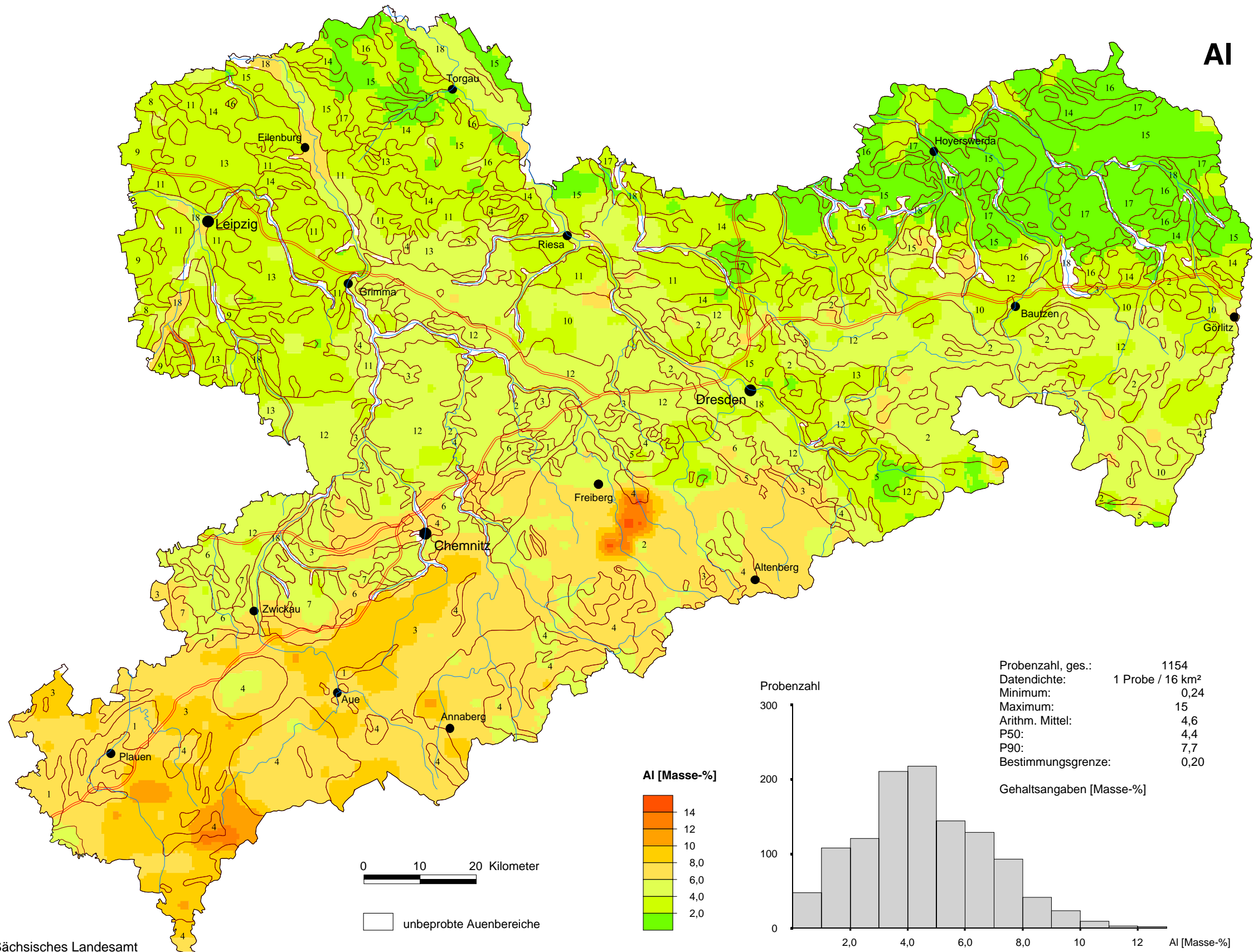


C_{org}

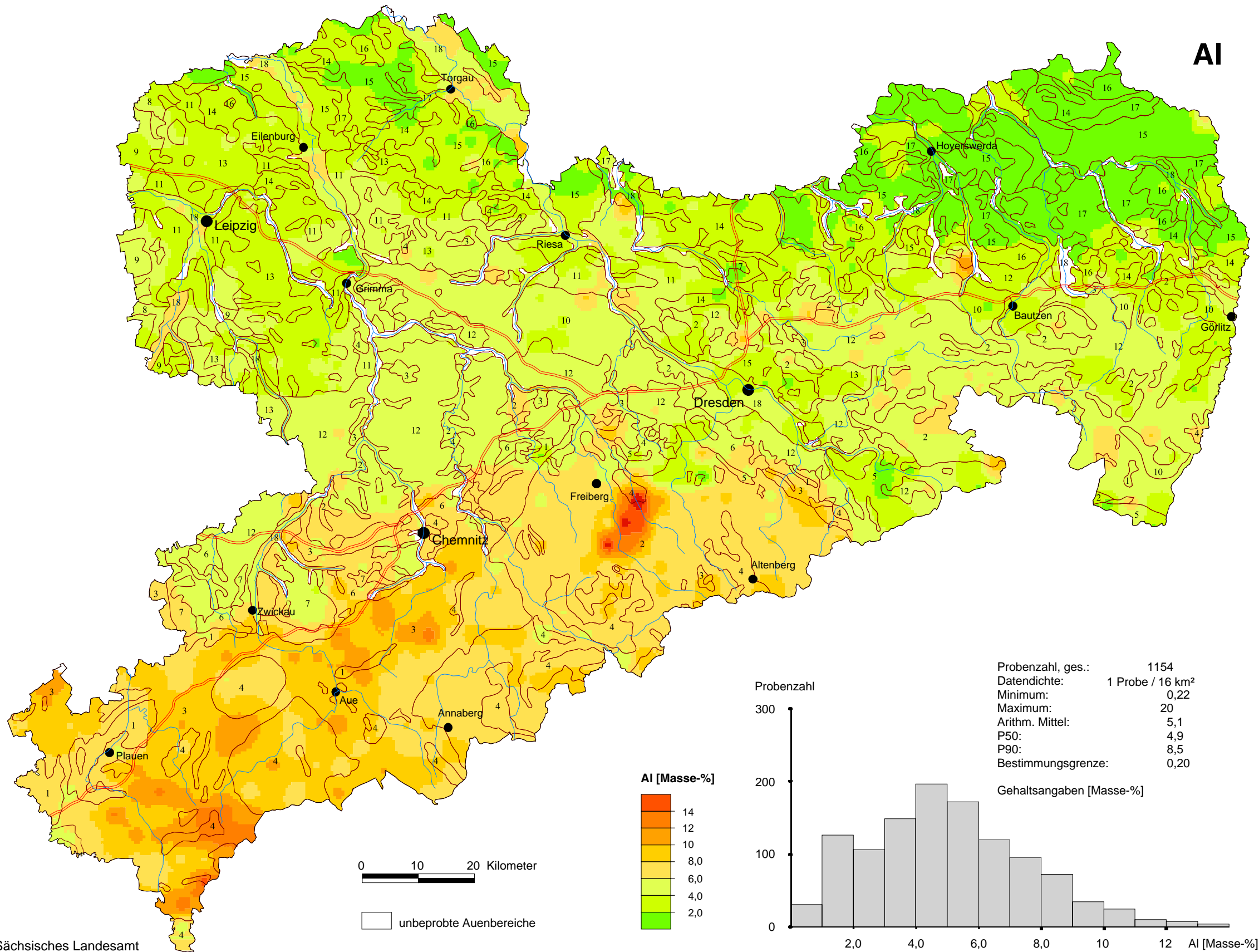


AI

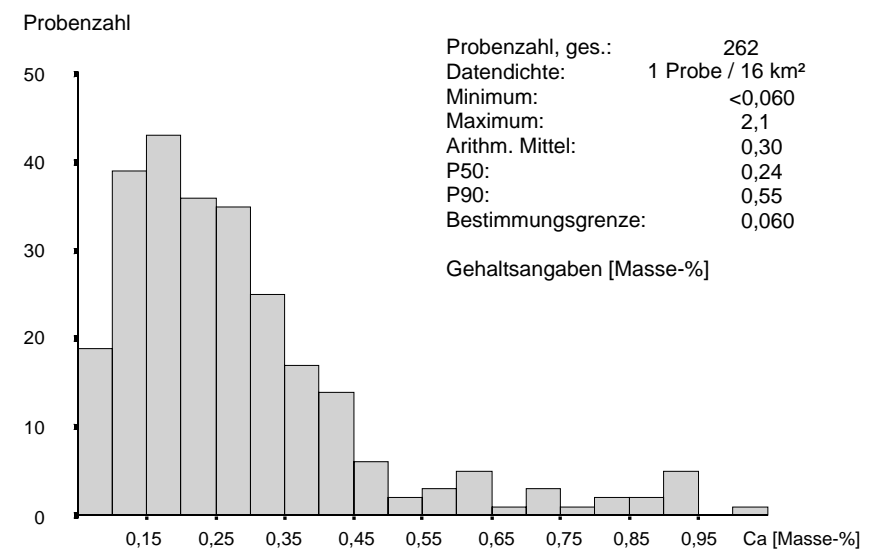
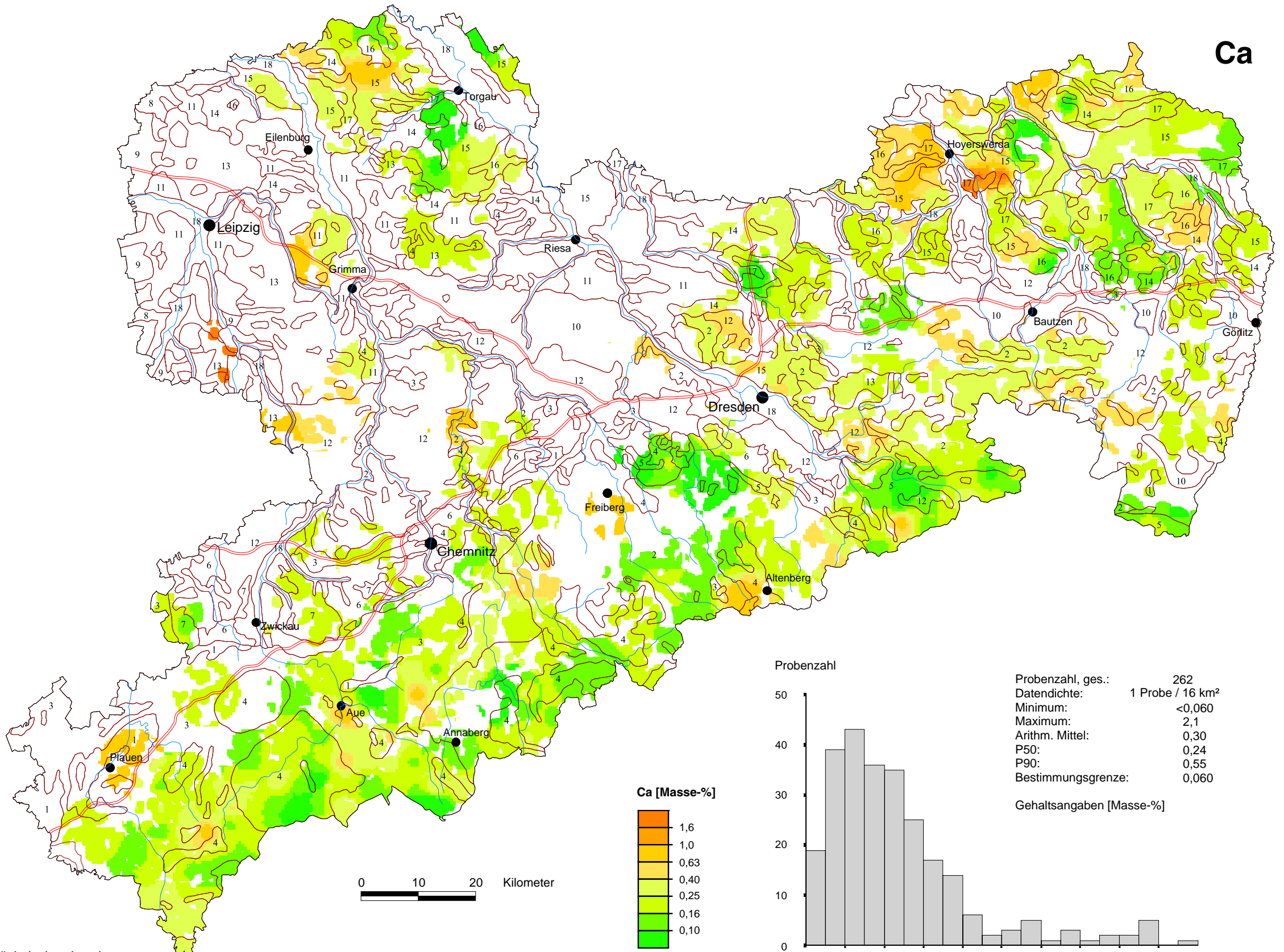




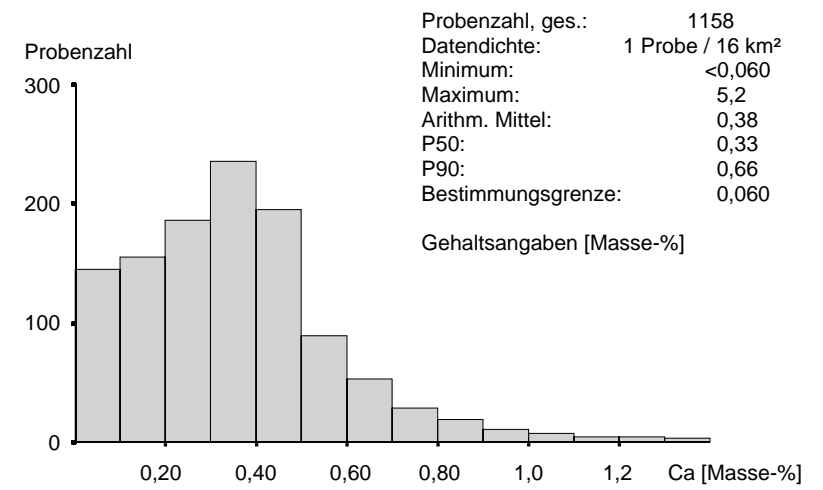
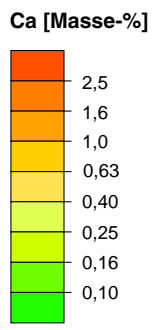
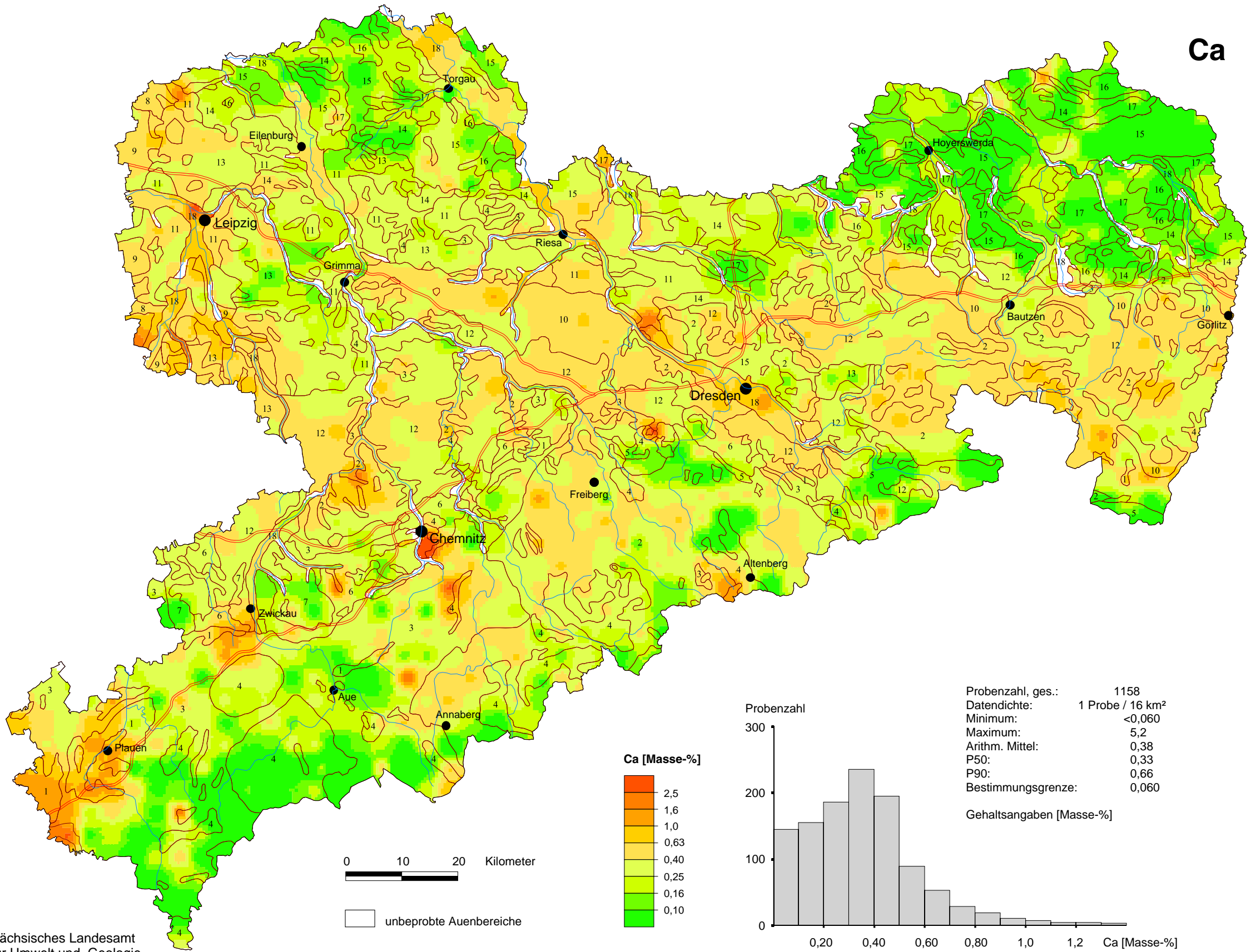
AI



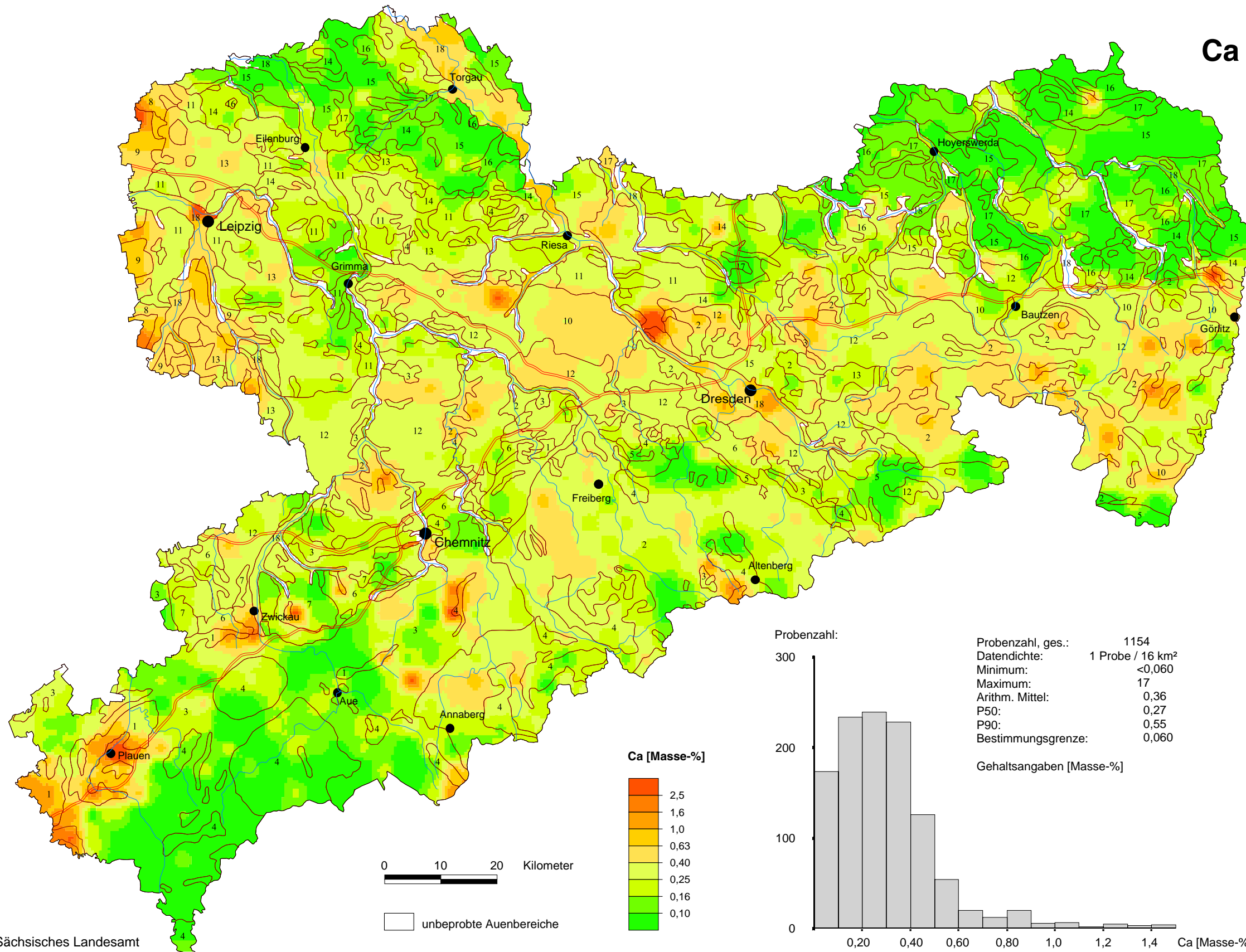
Ca



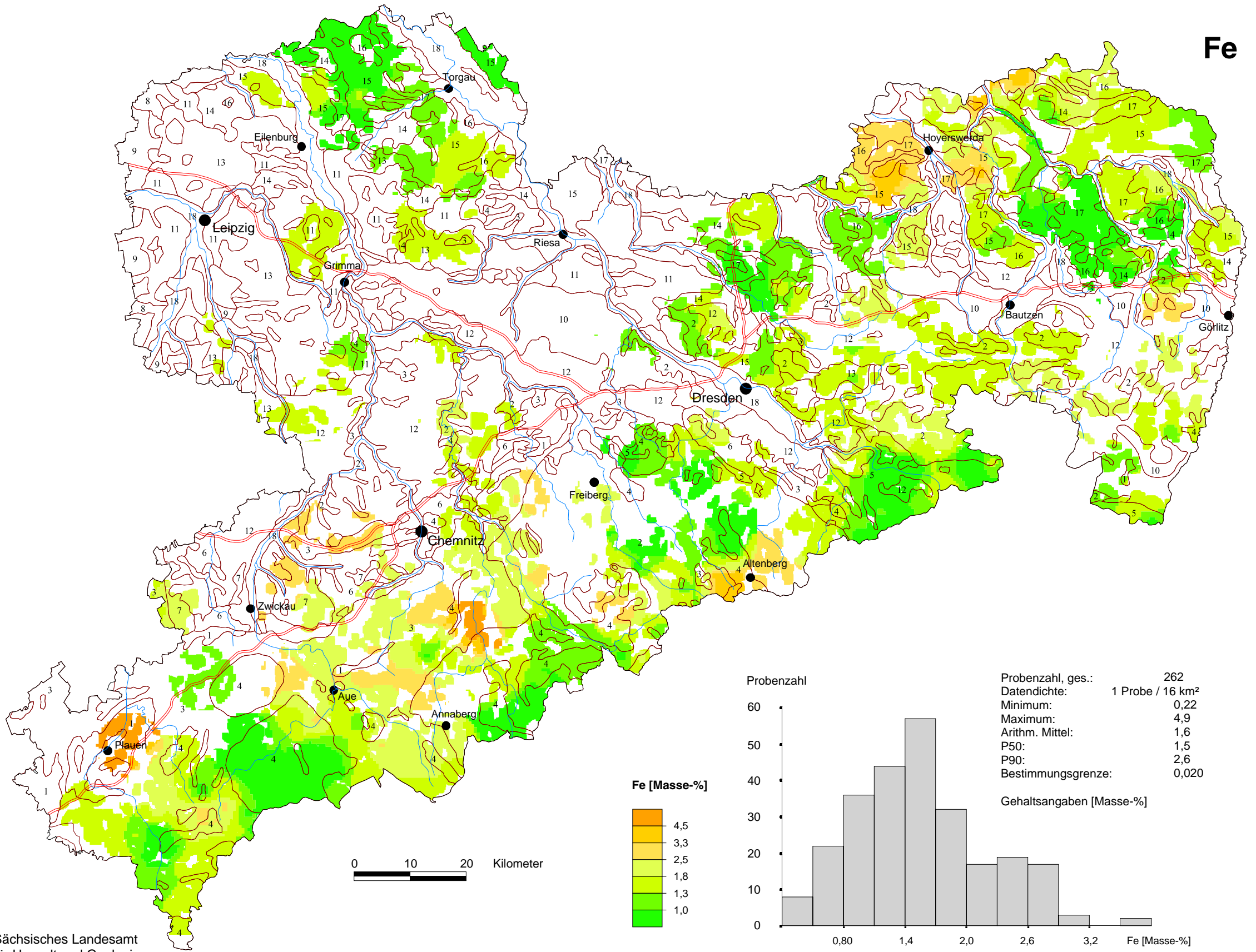
Ca



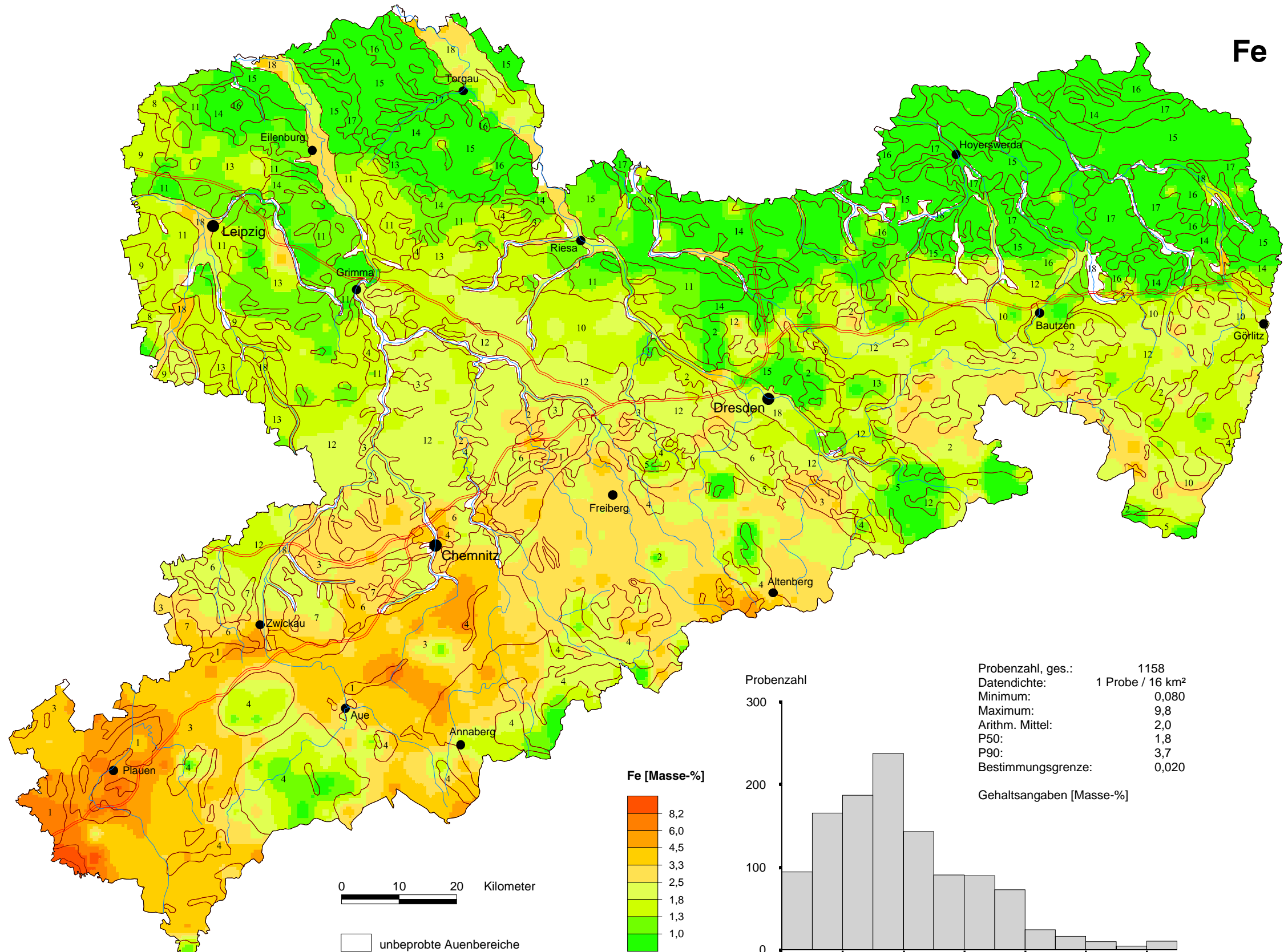
Ca



Fe



Fe



Probenzahl



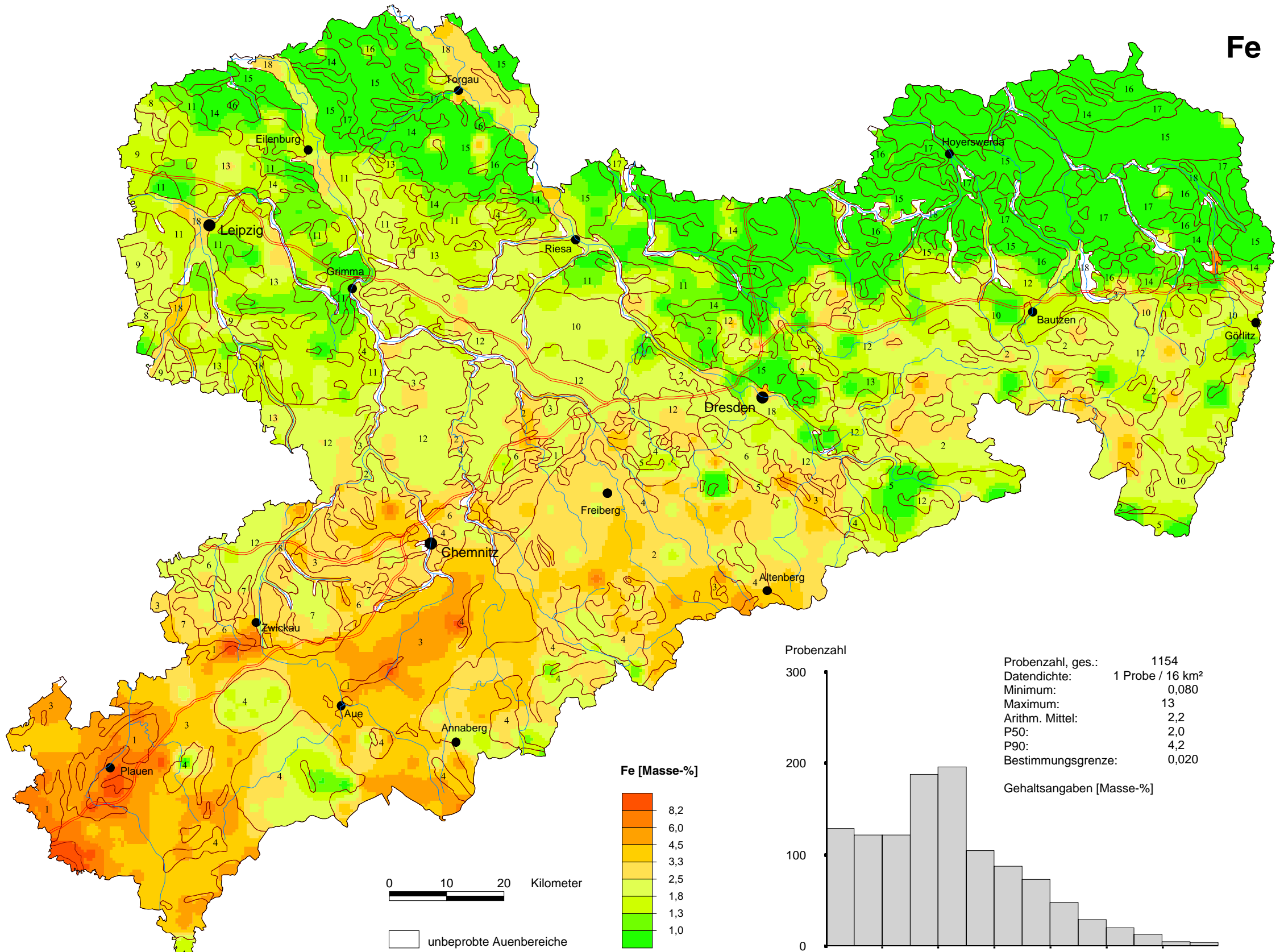
Probenzahl, ges.: 1158
Datendichte: 1 Probe / 16 km²
Minimum: 0,080
Maximum: 9,8
Arithm. Mittel: 2,0
P50: 1,8
P90: 3,7
Bestimmungsgrenze: 0,020

Gehaltsangaben [Masse-%]

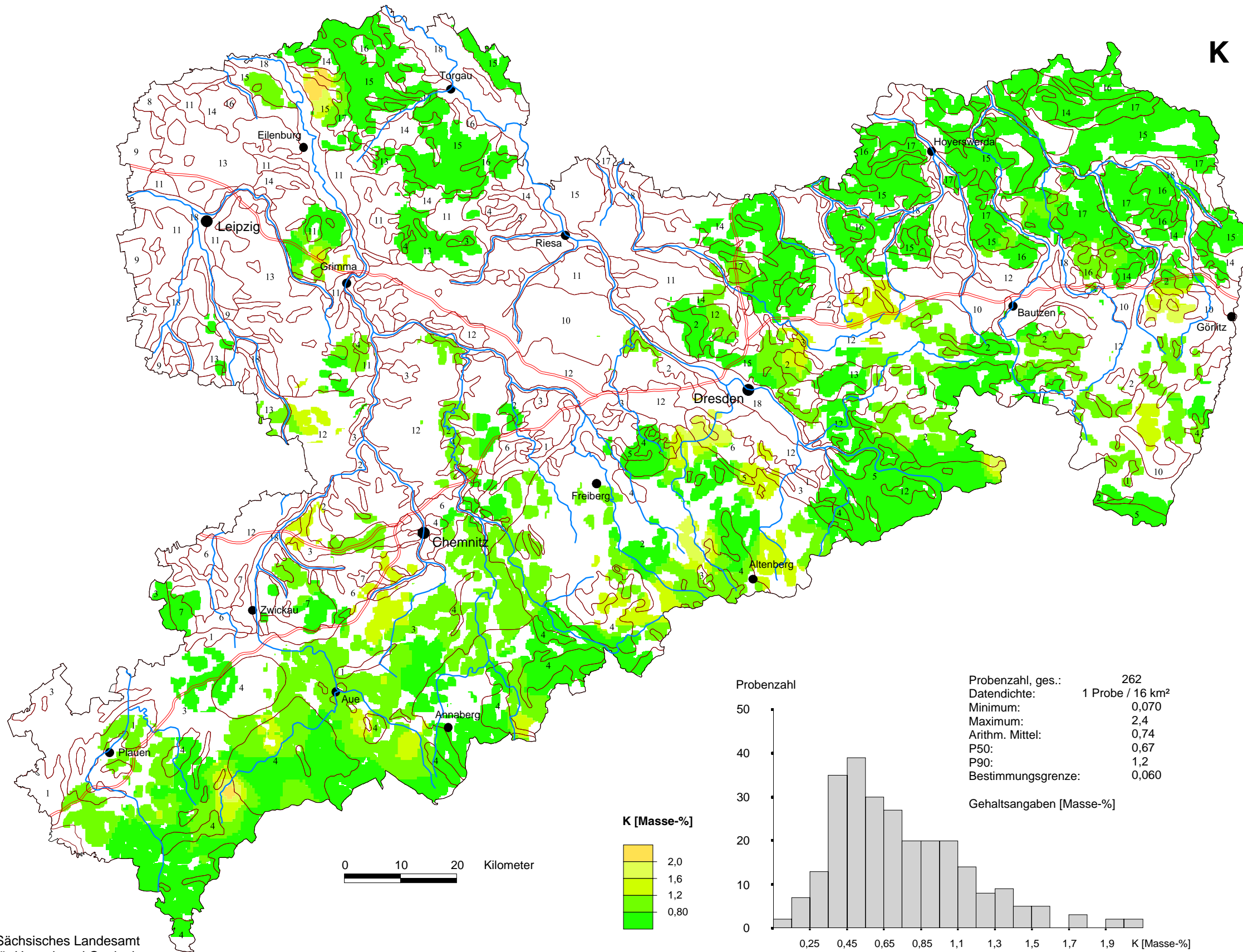
Fe [Masse-%]

Totalgehalte in Trockenmasse

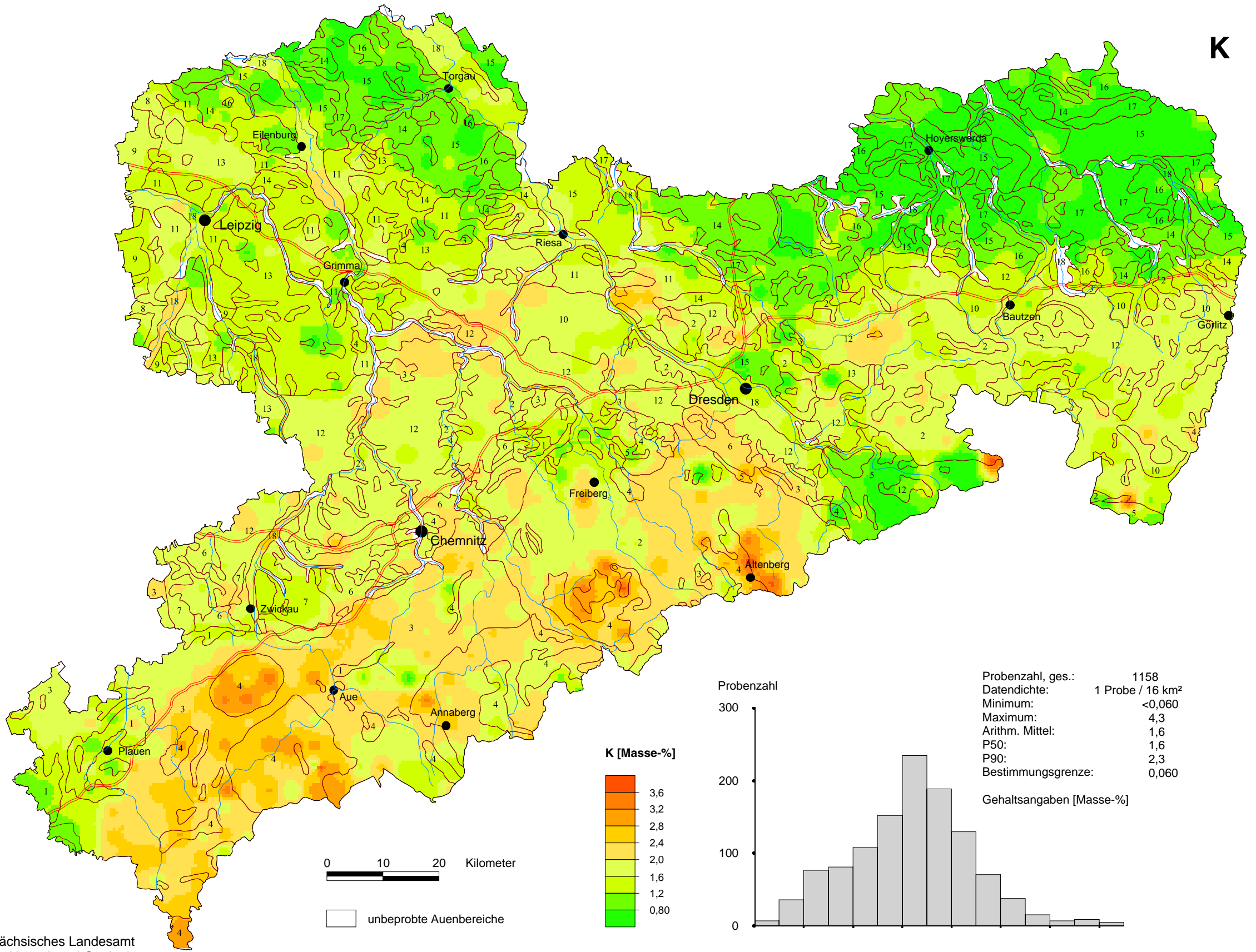
Fe



K

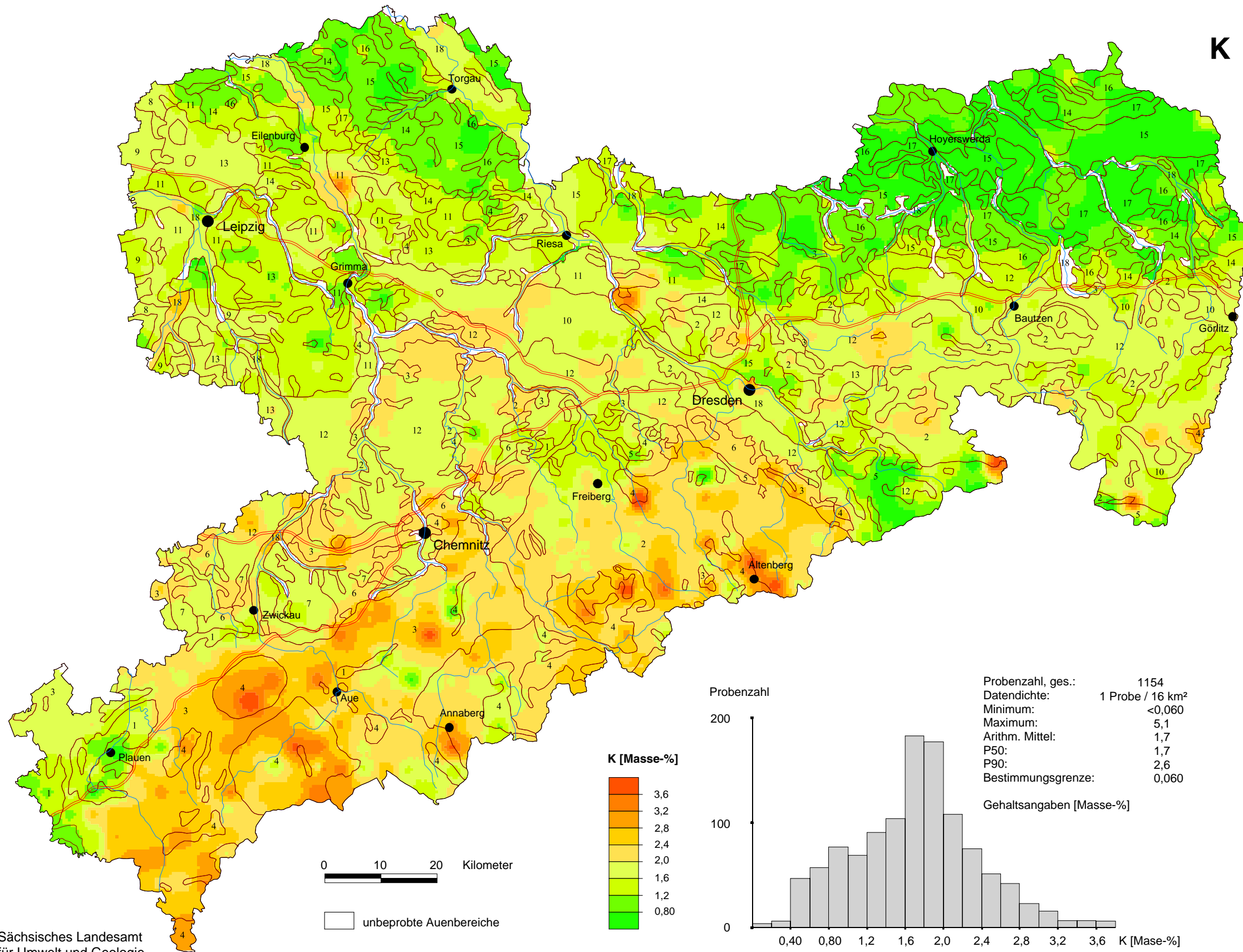


K

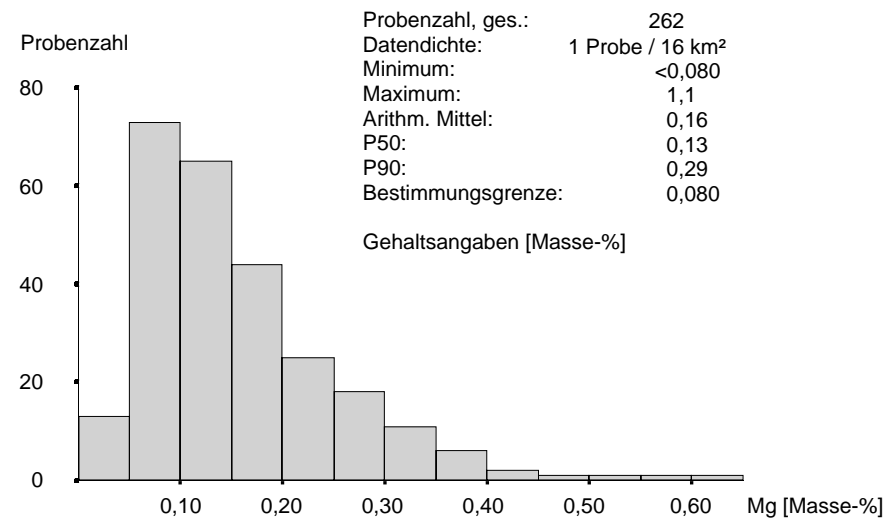
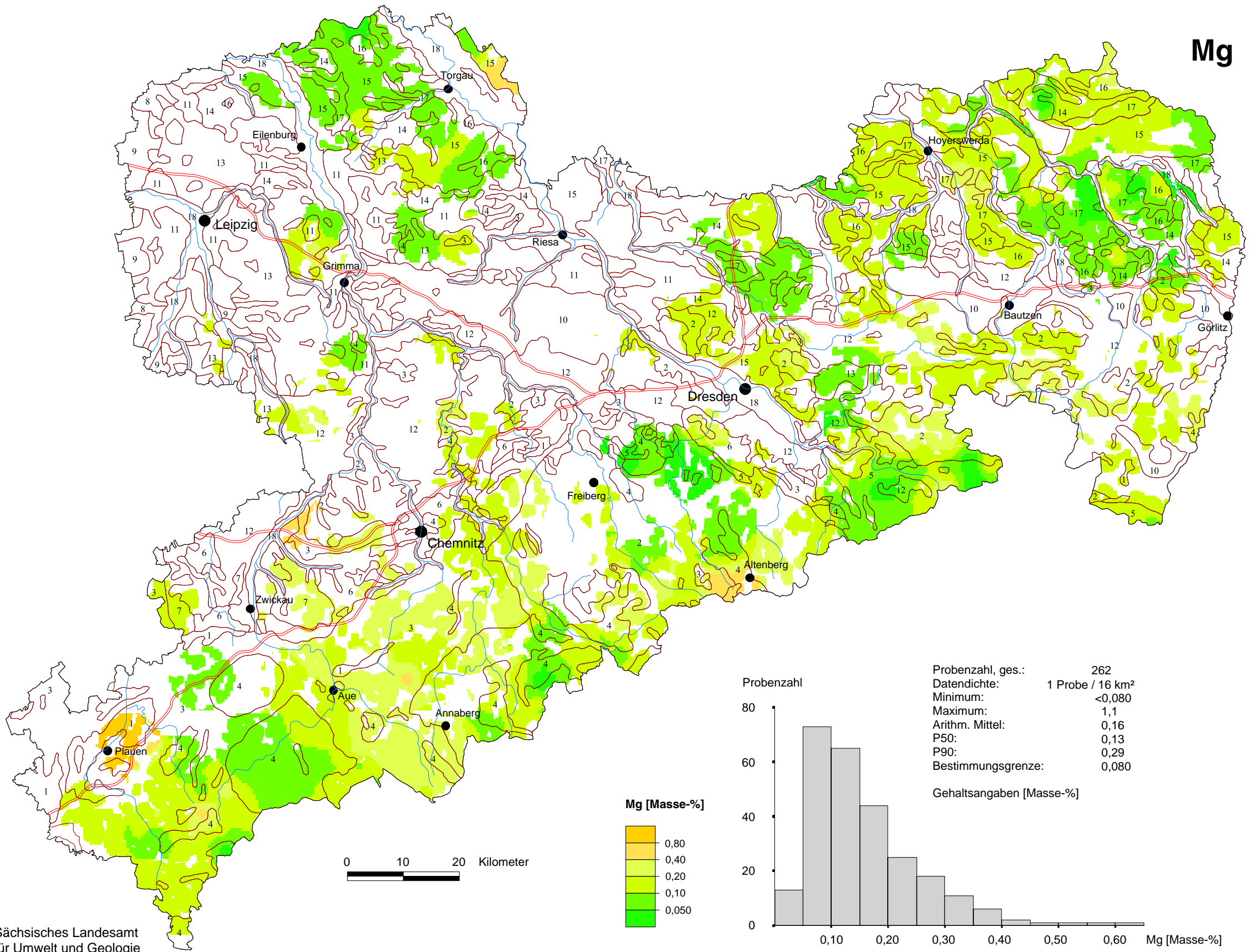


Probenzahl, ges.: 1158
 Datendichte: 1 Probe / 16 km²
 Minimum: <0,060
 Maximum: 4,3
 Arithm. Mittel: 1,6
 P50: 1,6
 P90: 2,3
 Bestimmungsgrenze: 0,060

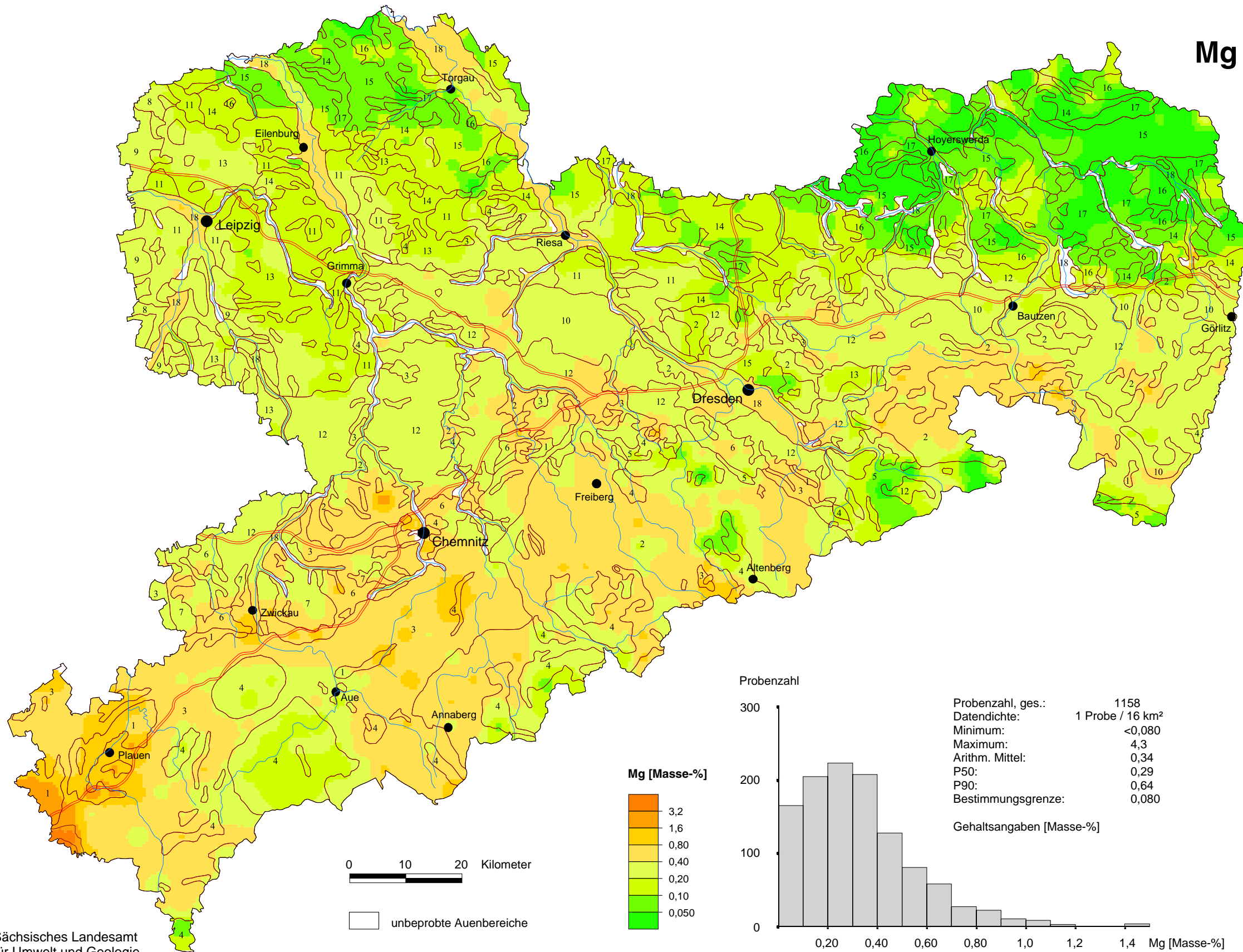
K



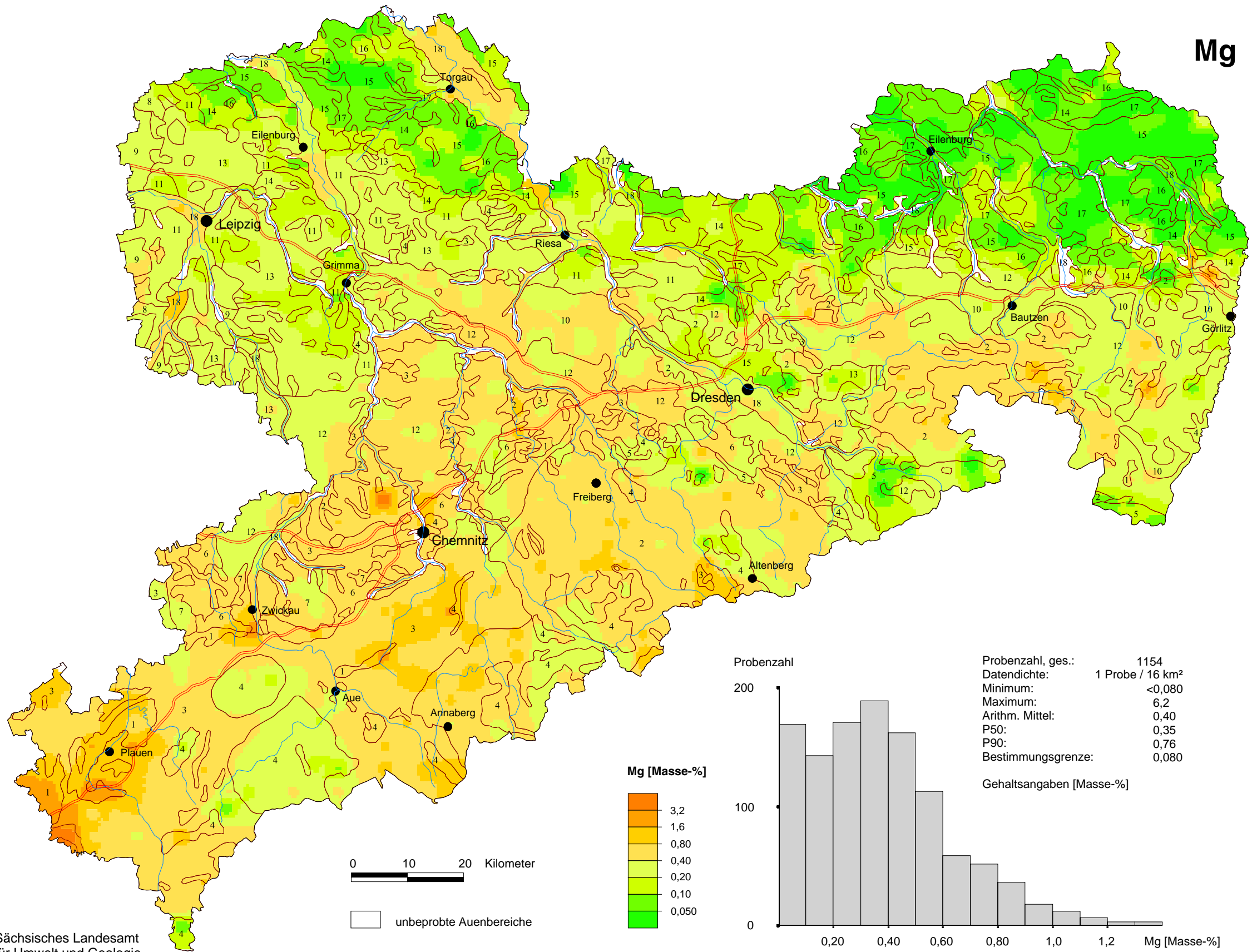
Mg



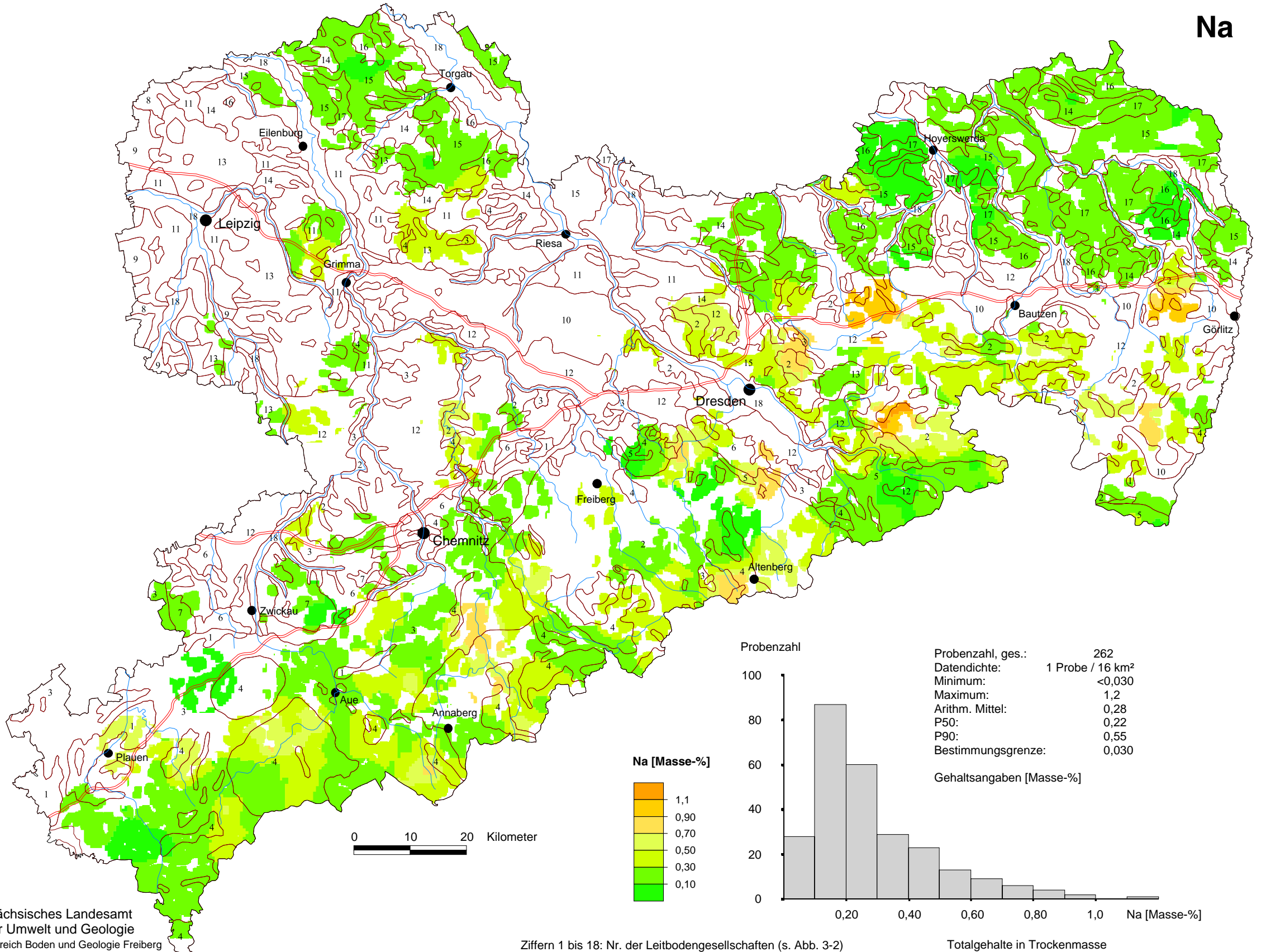
Mg



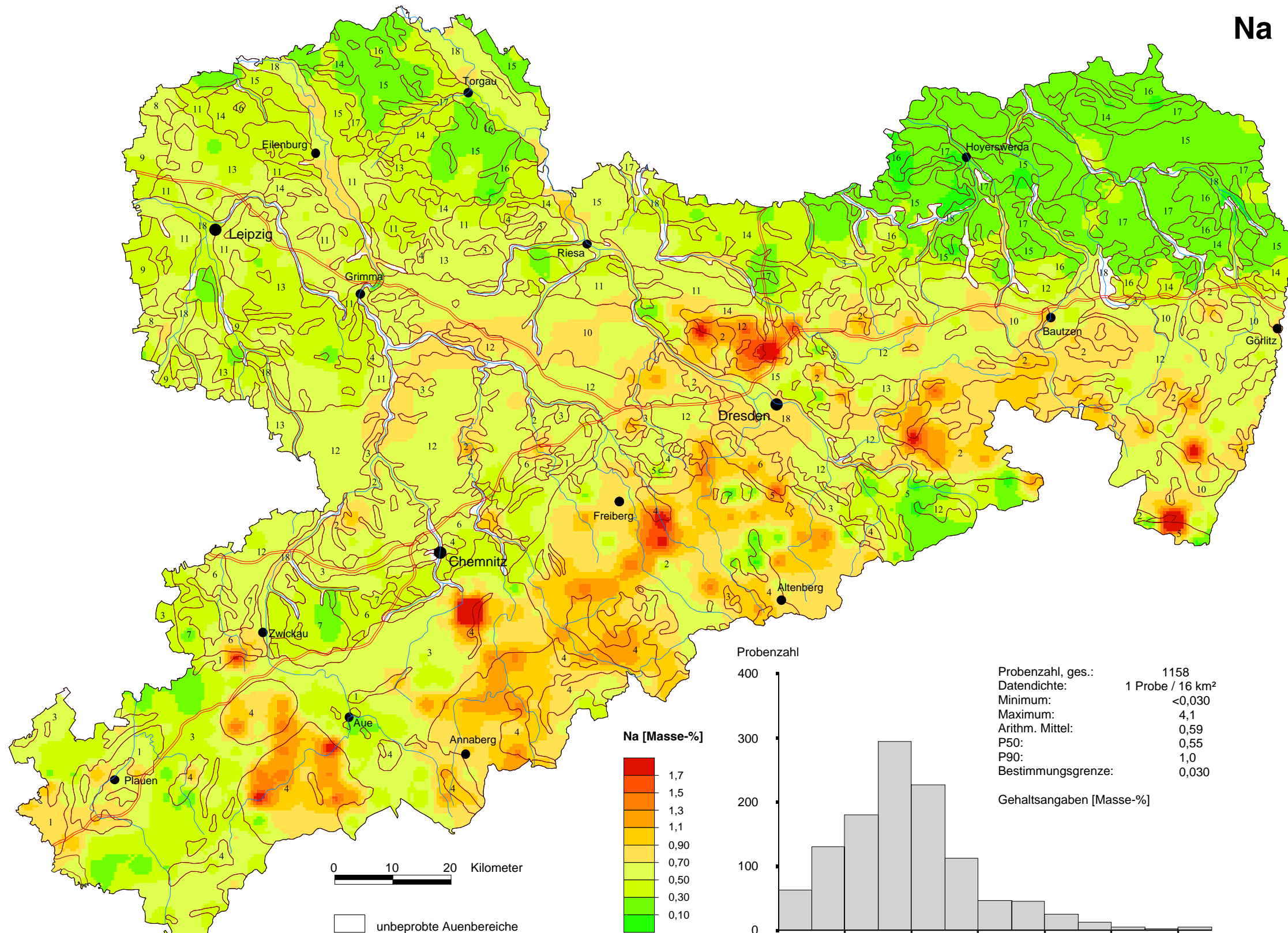
Mg



Na

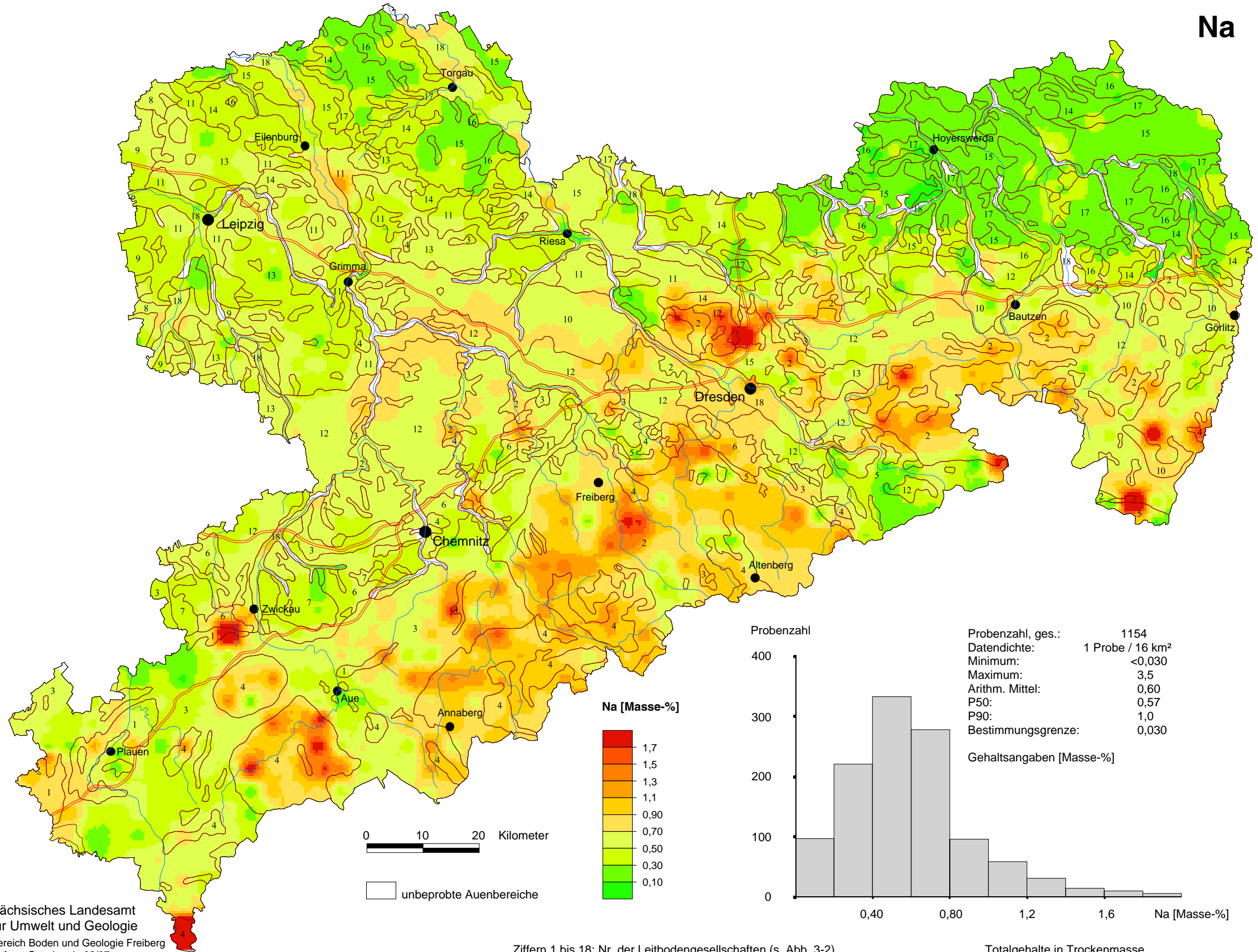


Na

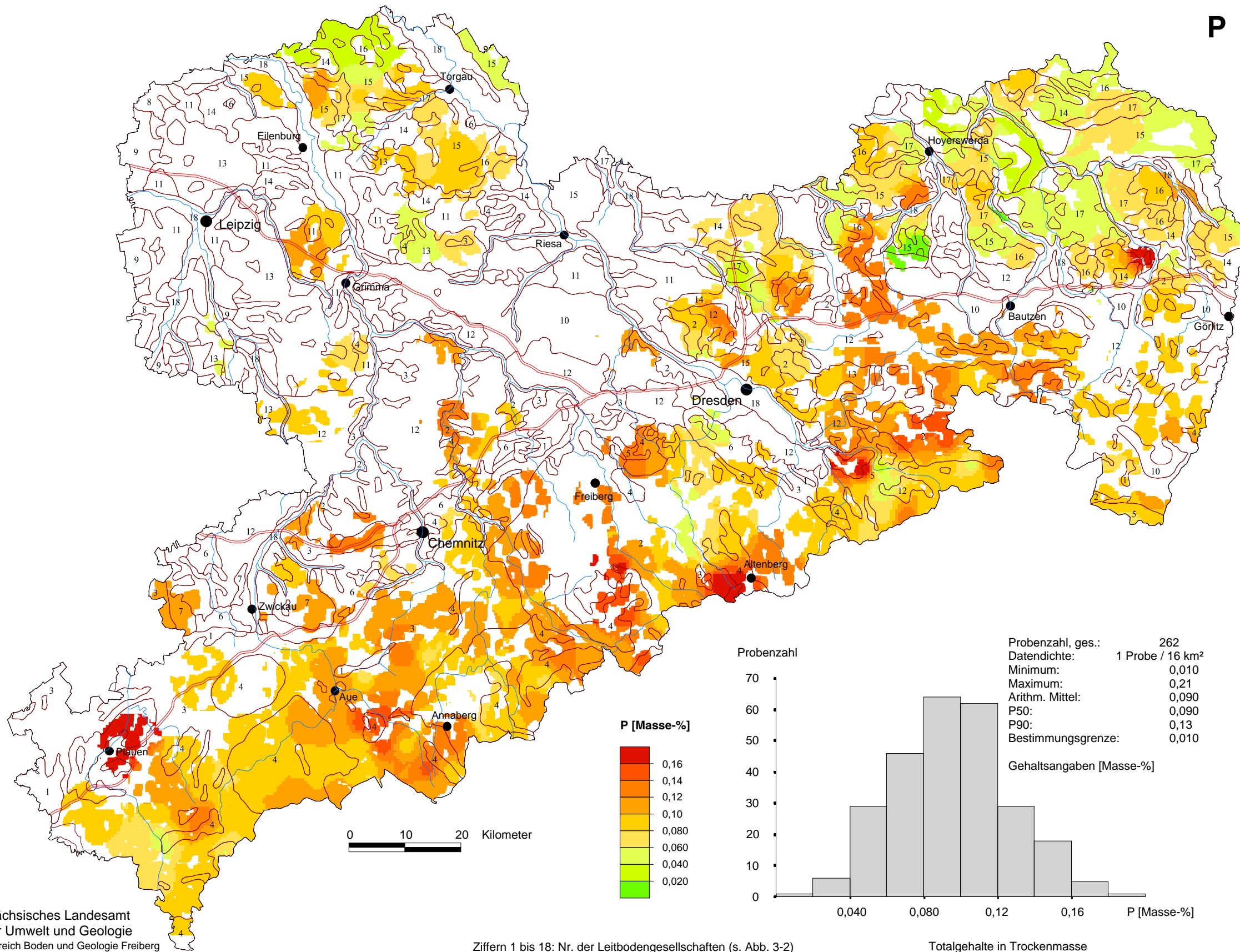


Probenzahl, ges.: 1158
 Datendichte: 1 Probe / 16 km²
 Minimum: <0,030
 Maximum: 4,1
 Arithm. Mittel: 0,59
 P50: 0,55
 P90: 1,0
 Bestimmungsgrenze: 0,030

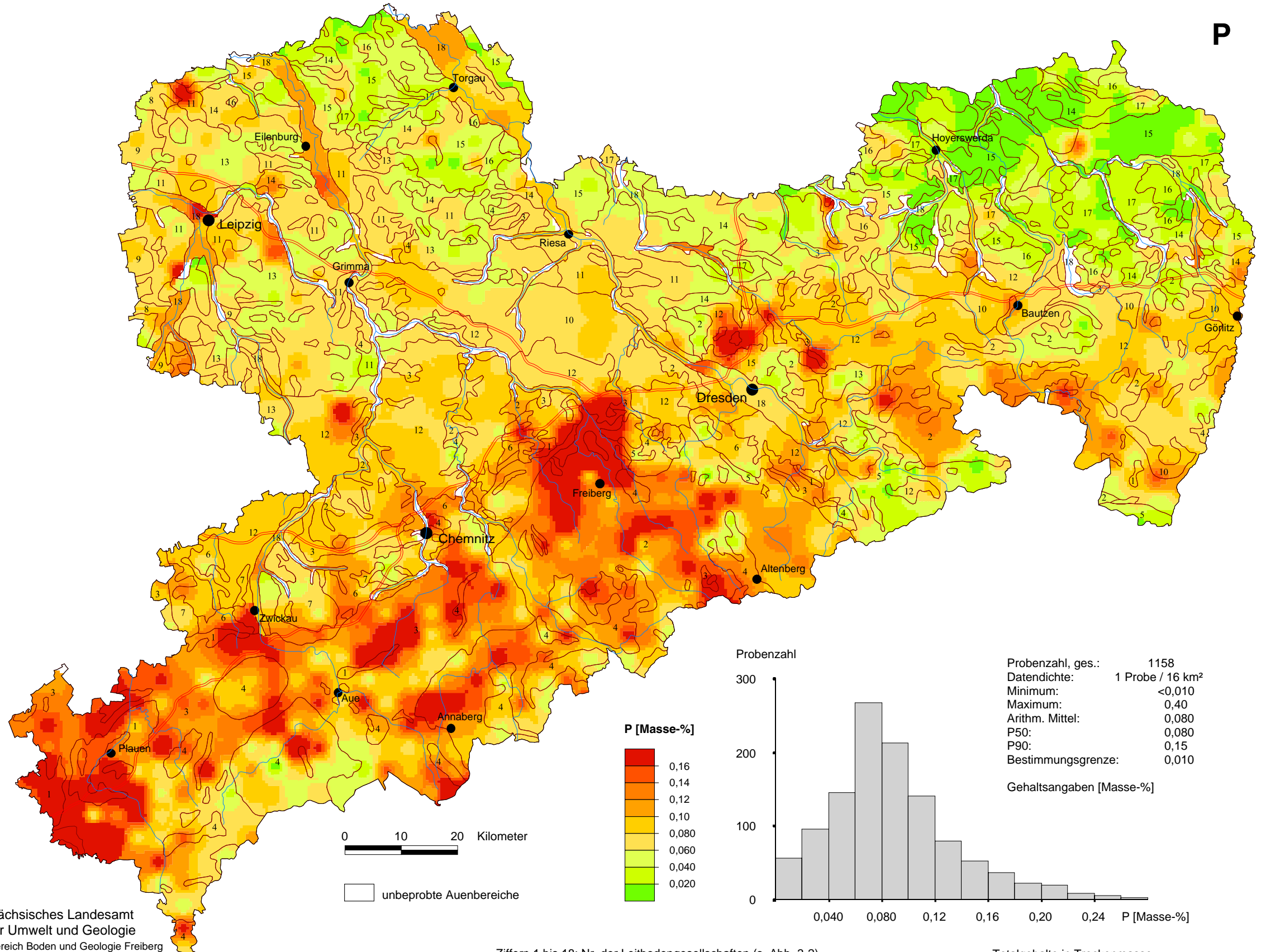
Na



P



P



P

